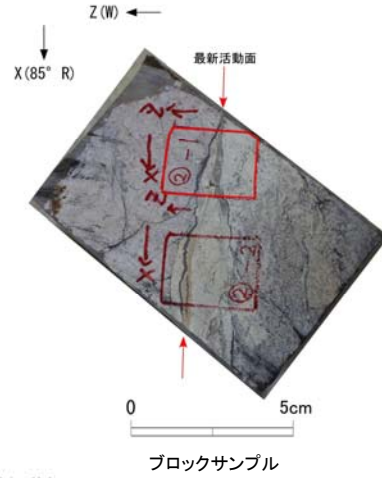
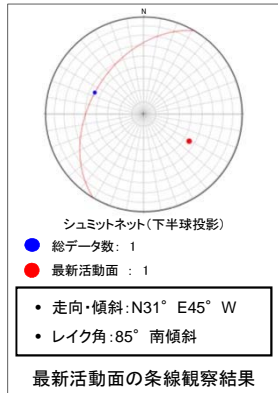
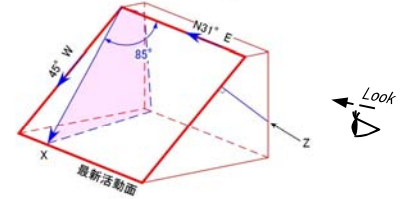


f-br-1-2 破碎帯 薄片試料観察 (H27-Br-1 深度59.27m)

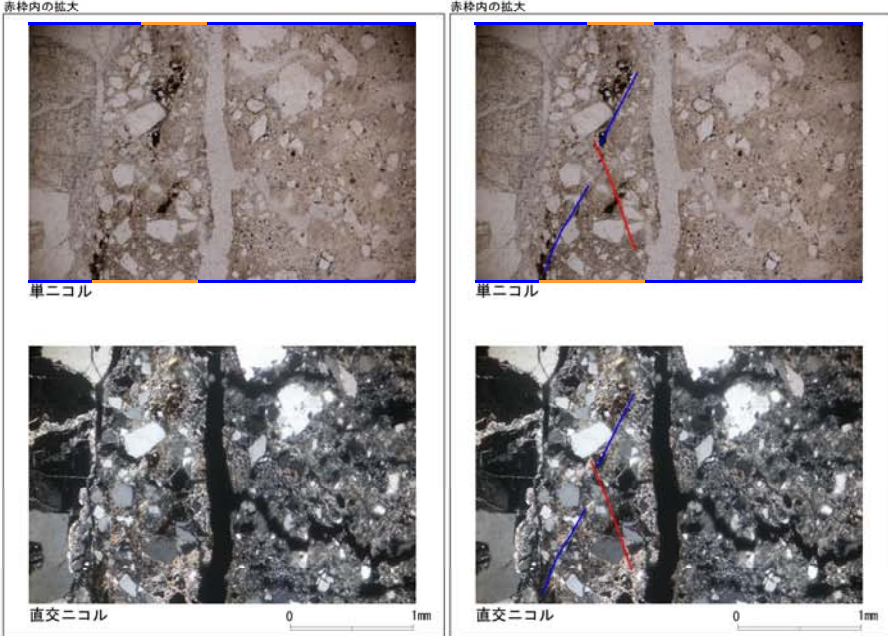
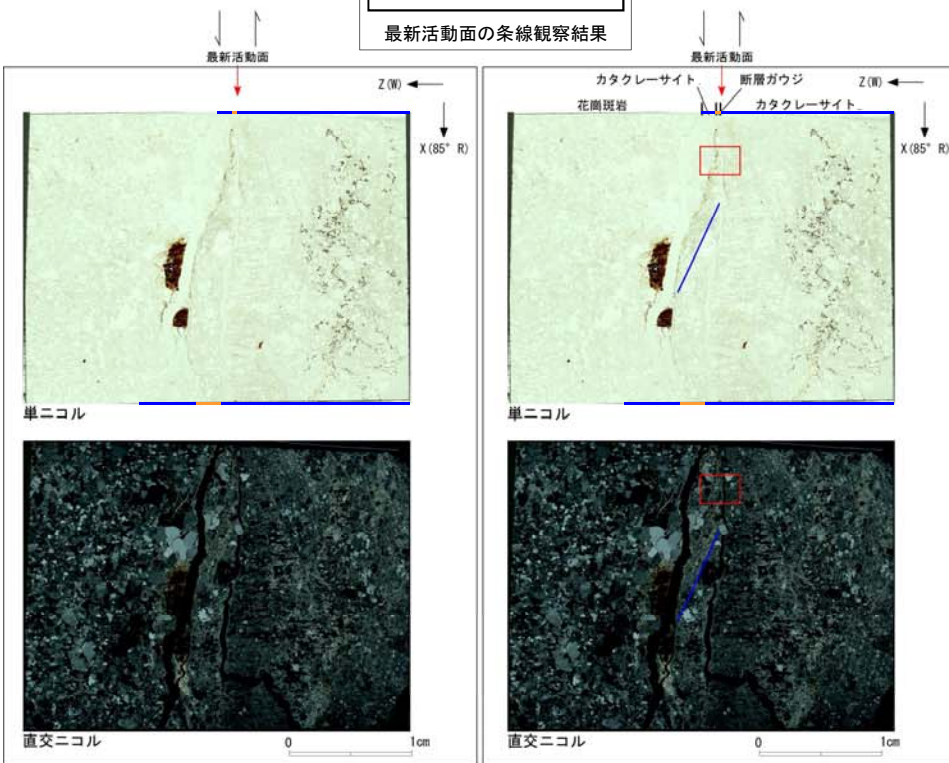
H27-Br-1のボーリングコア(深度59.27m)から採取した薄片試料の観察結果によれば最新活動面の変位センスは、正断層成分が卓越する。



薄片の作成方向は最新活動面に
直交方向かつ条線方向に平行方向



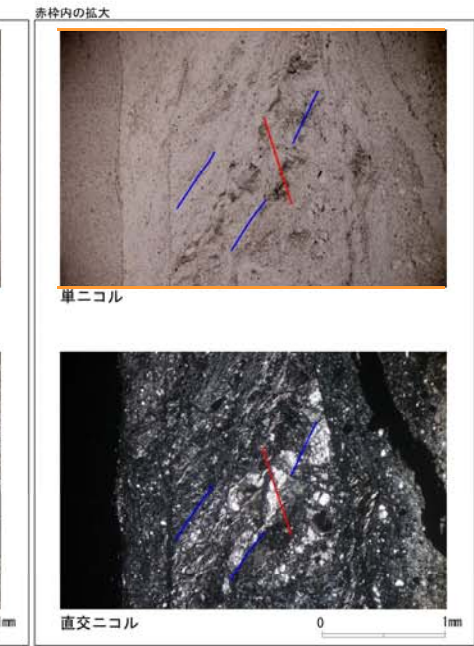
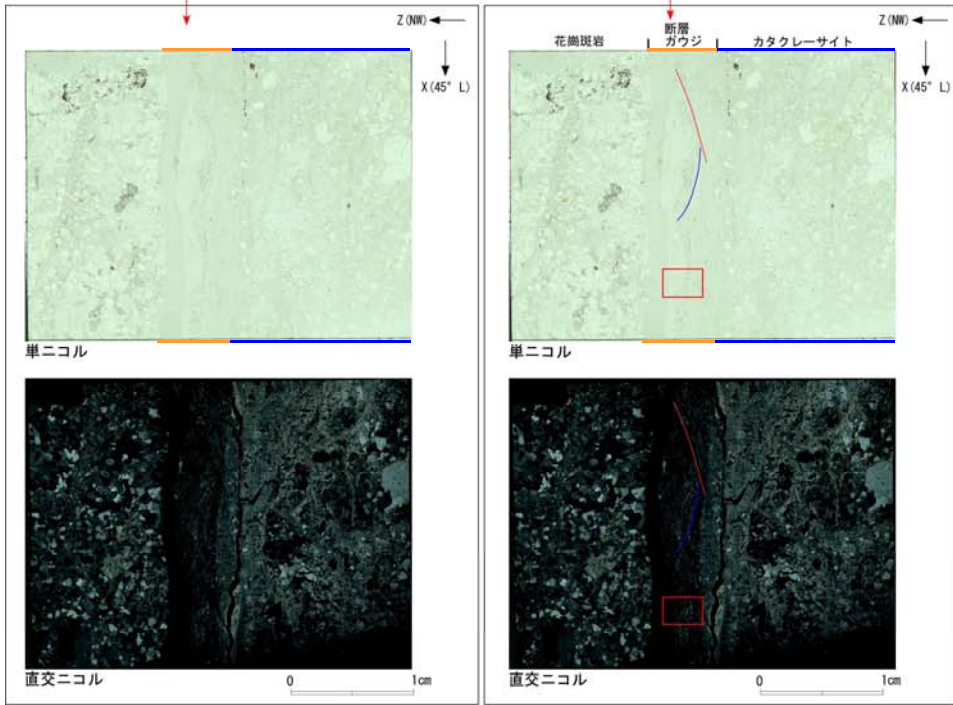
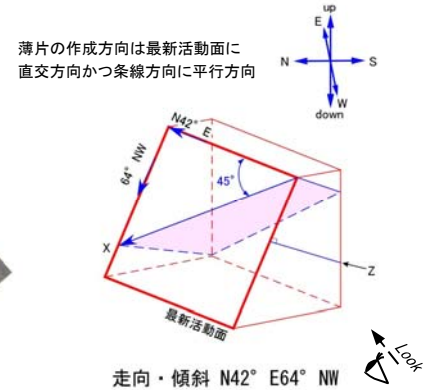
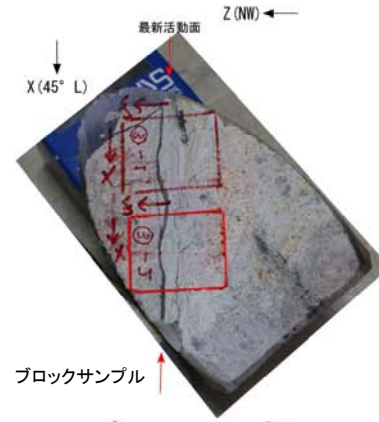
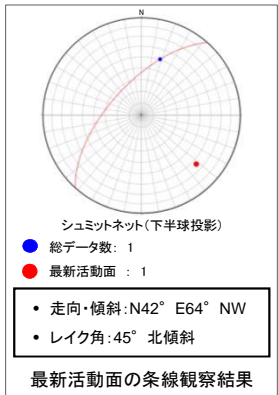
走向・傾斜 N31° E45° W
 X: 条線方向(下向きを正とする)
 Z: 断層面の法線方向(上盤側を正とする)



- 凡例
- 断層ガウジ
 - カタクレーサイト
 - R1面
 - P面

f-br-1-3 破碎帯 薄片試料観察 (H27-Br-1 深度69.27m)

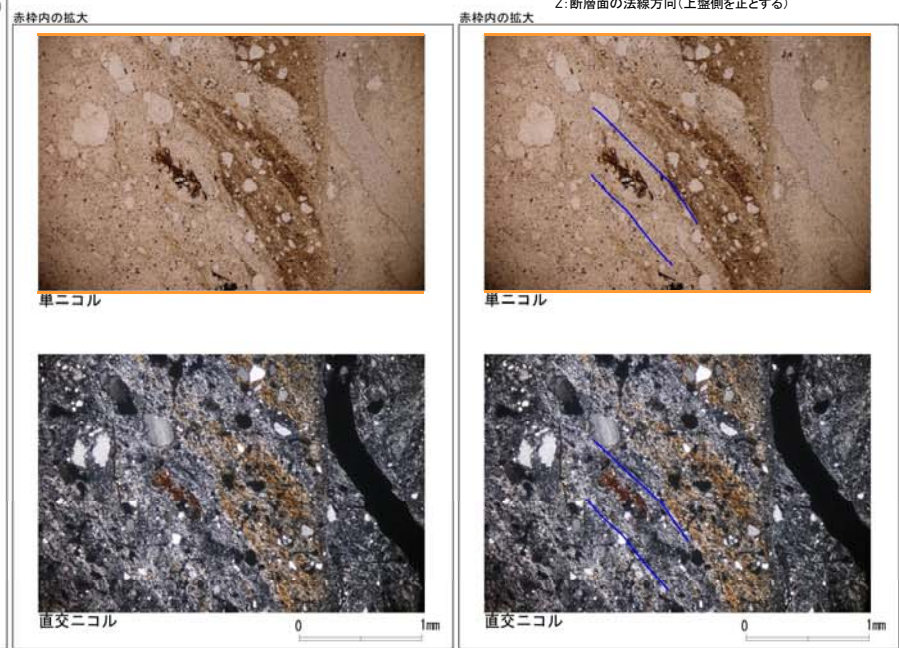
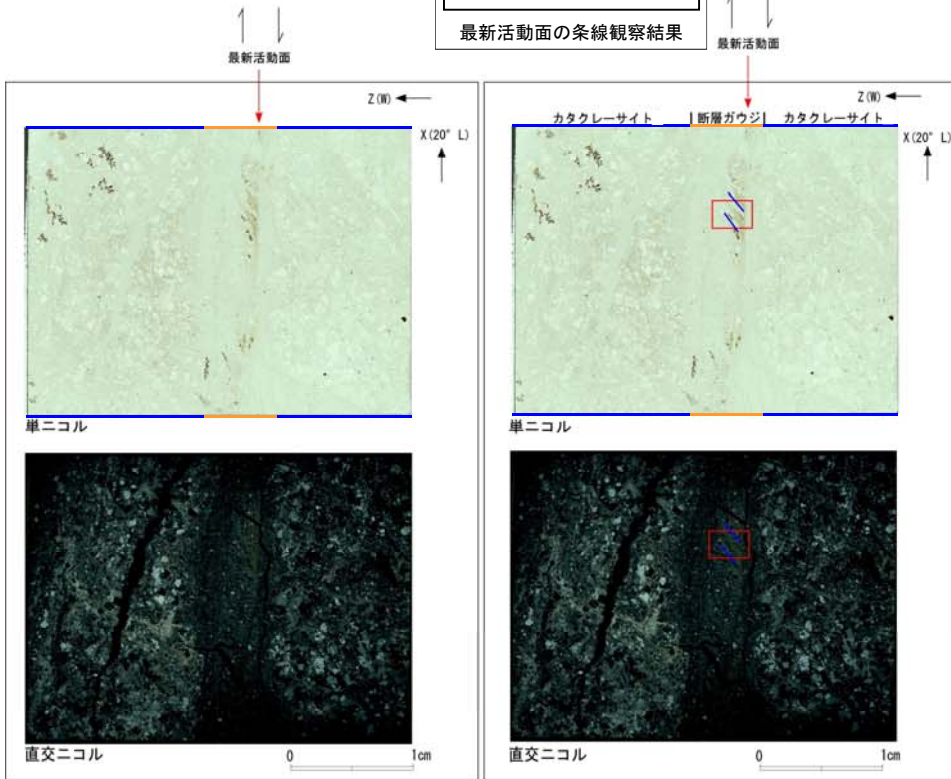
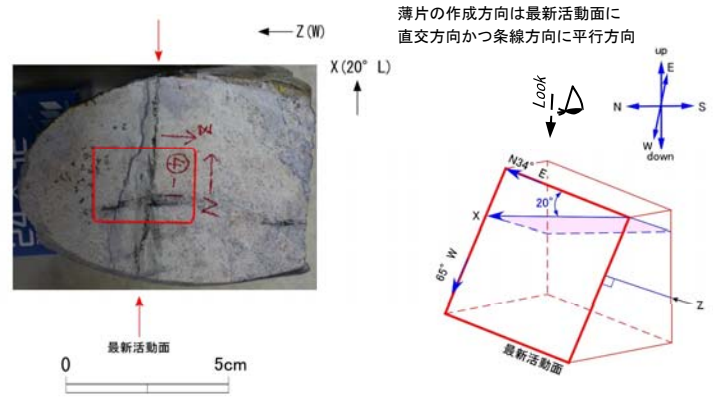
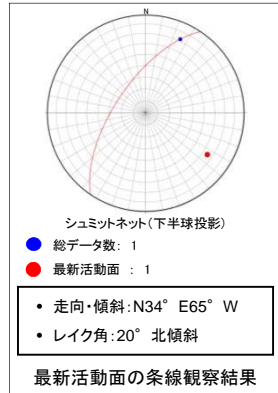
H27-Br-1のボーリングコア(深度69.27m)から採取した薄片試料の観察結果によれば最新活動面の変位センスは、右ずれを伴う正断層である。



- 凡例
- 断層ガウジ
 - カタクレーサイト
 - R1面
 - P面

f-br-1-4 破碎帯 薄片試料観察 (H27-Br-1 深度86.21m)

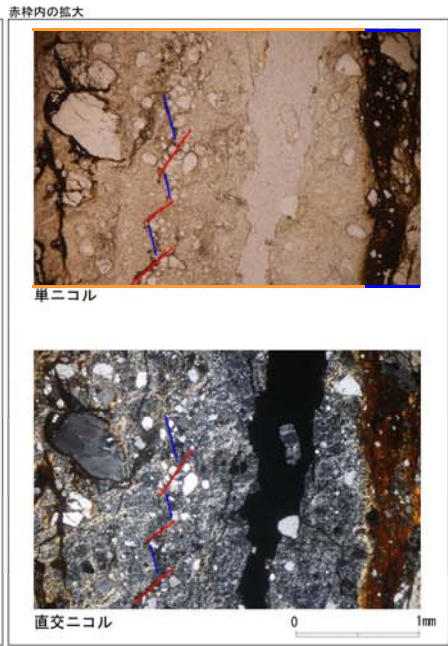
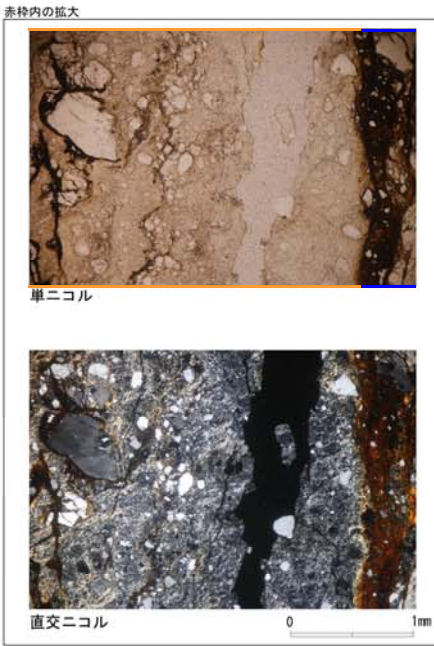
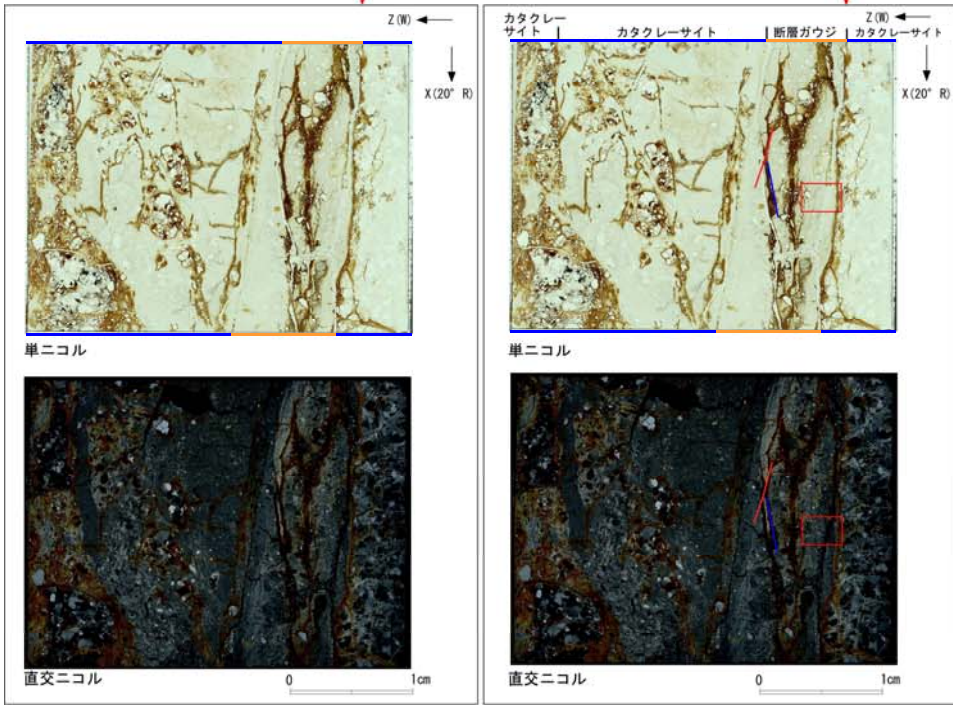
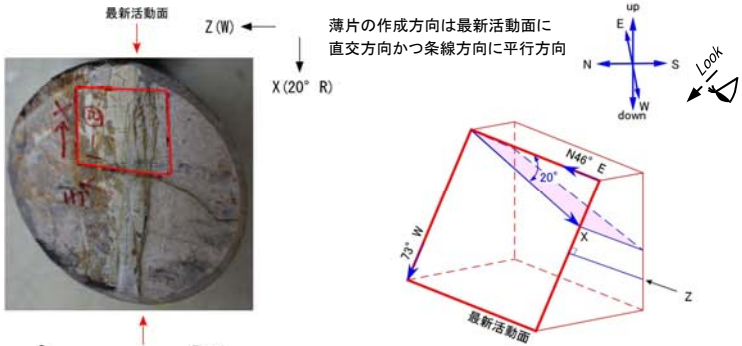
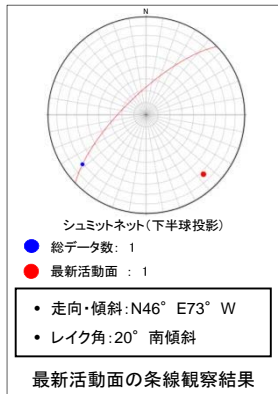
H27-Br-1のボーリングコア (深度86.21m) から採取した薄片試料の観察結果によれば最新活動面の変位センスは、右ずれ成分が卓越する。



- 凡例
- 断層ガウジ
 - カタクレーサイト
 - R1面
 - P面

f-br-1-5破碎帯 薄片試料観察(H27-Br-1 深度93.42m)

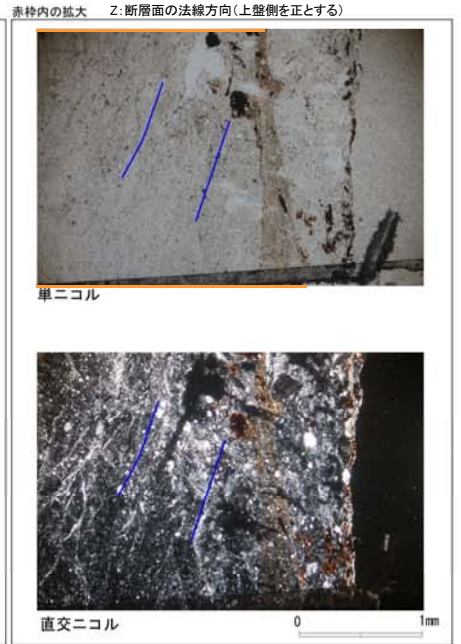
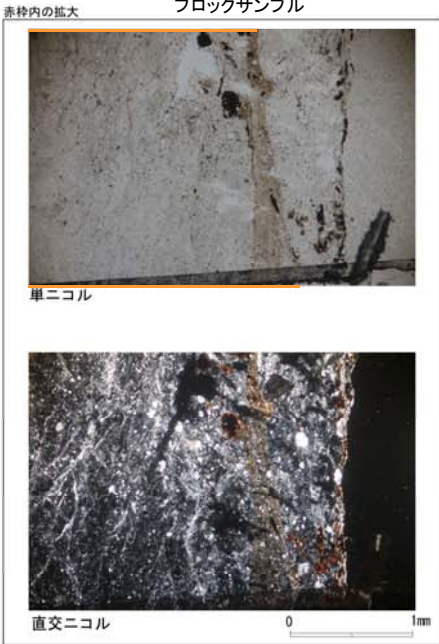
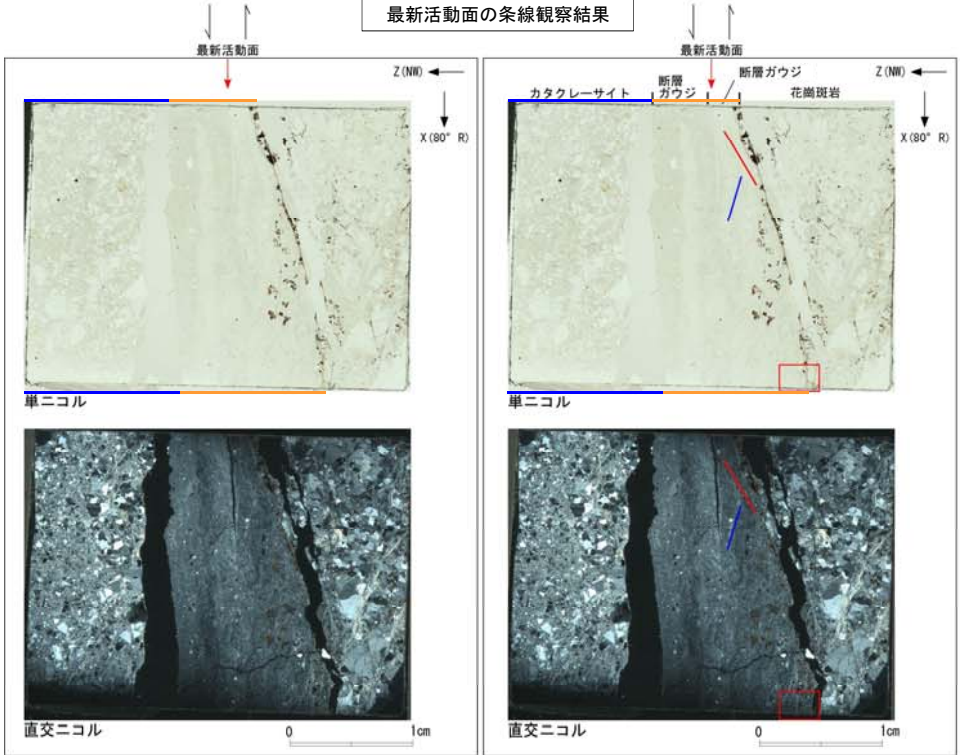
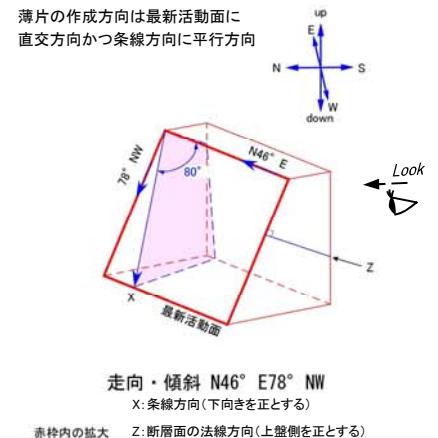
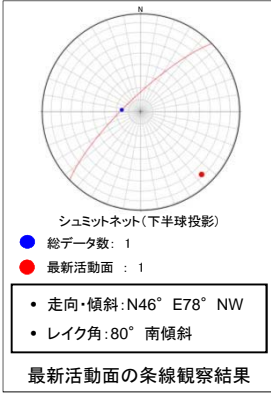
H27-Br-1のボーリングコア(深度93.42m)から採取した薄片試料の観察結果によれば最新活動面の変位センスは、右ずれ成分が卓越する。



- 凡例
- 断層ガウジ
 - カタクレーサイト
 - R1面
 - P面

f-br-5-1 破碎帯 薄片試料観察 (H27-Br-5 深度50.48m)

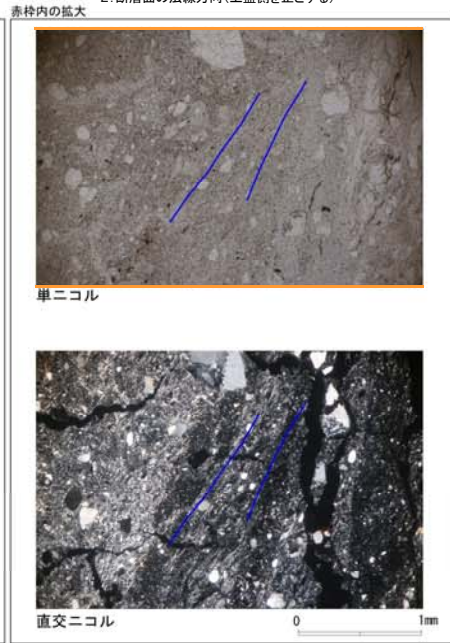
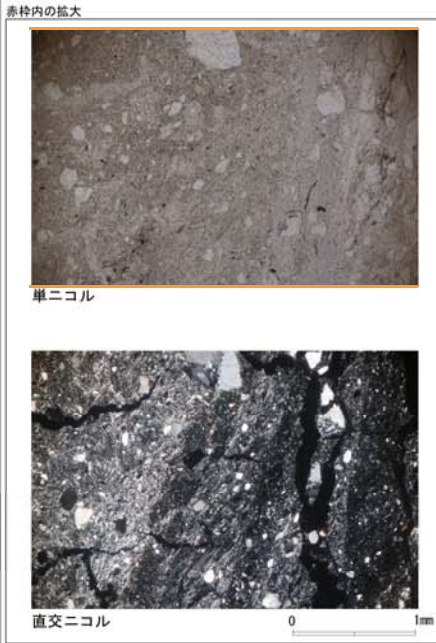
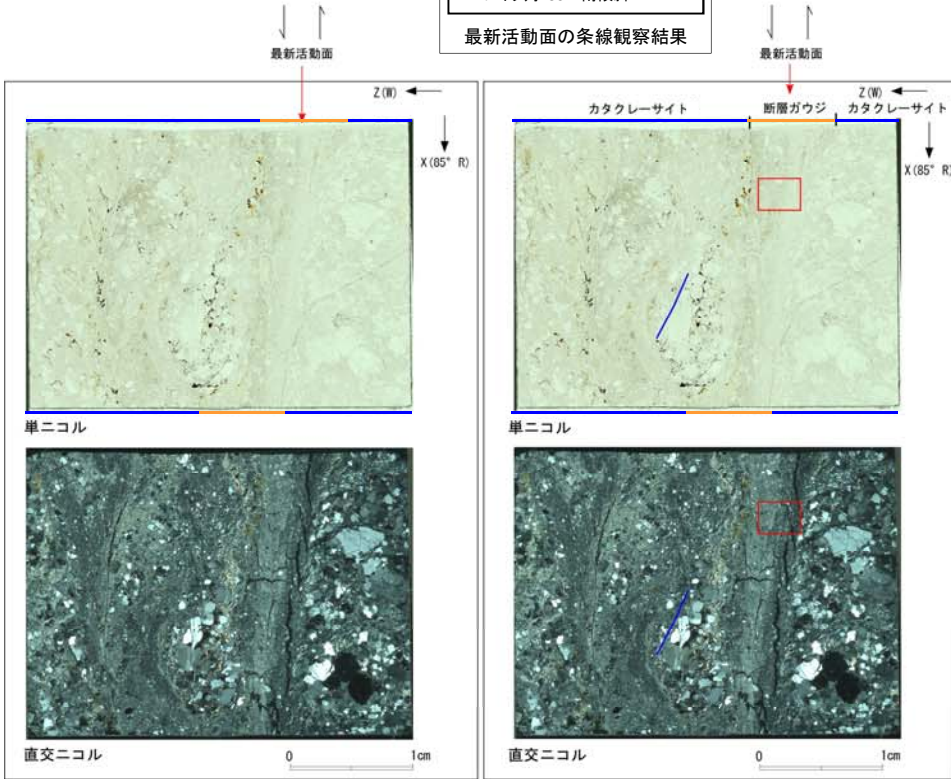
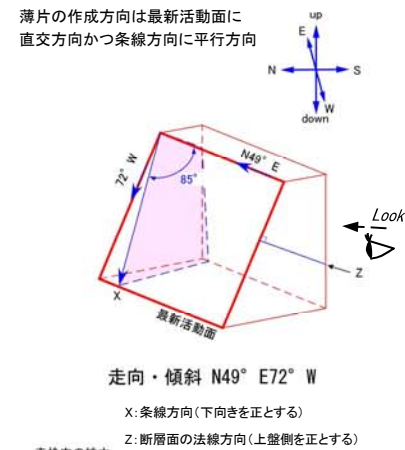
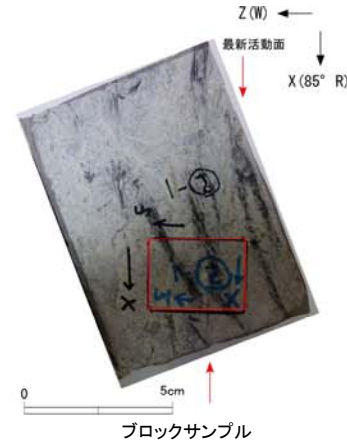
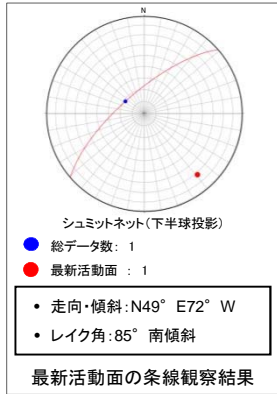
H27-Br-5のボーリングコア (深度50.48m) から採取した薄片試料の観察結果によれば最新活動面の変位センスは、正断層成分が卓越する。



- 凡例
- 断層ガウジ
 - カタクレーサイト
 - R1面
 - P面

f-br-6-1 破碎帯 薄片試料観察 (H27-Br-6 深度34.00m)

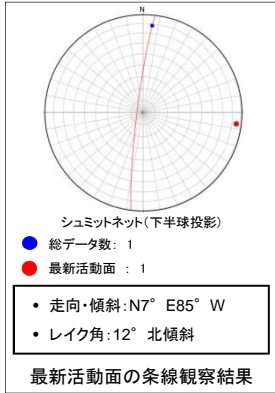
H27-Br-6のボーリングコア (深度34.00m) から採取した薄片試料の観察結果によれば最新活動面の変位センスは、正断層成分が卓越する。



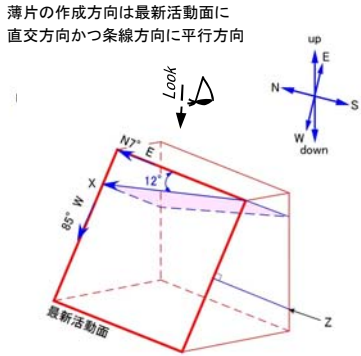
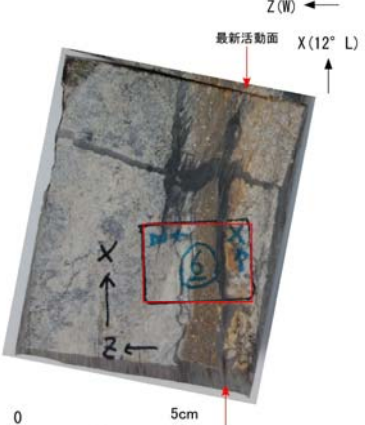
- 凡例
- 断層ガウジ
 - カタクレーサイト
 - R1面
 - P面

f-br-12-1 破碎帯 薄片試料観察 (H27-Br-12 深度59.38m)

H27-Br-12のボーリングコア(深度59.38m)から採取した薄片試料の観察結果によれば最新活動面の変位センスは、右ずれ成分が卓越する。

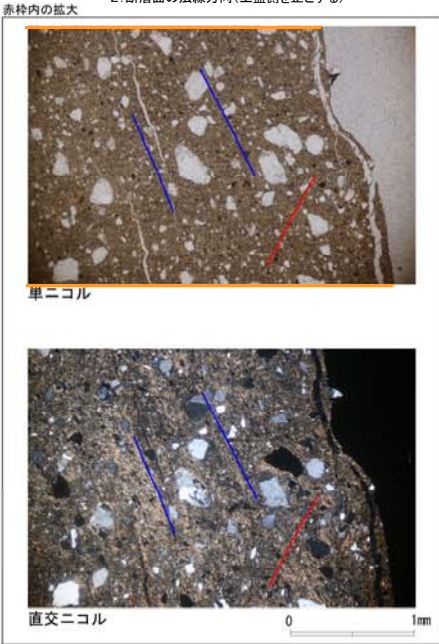
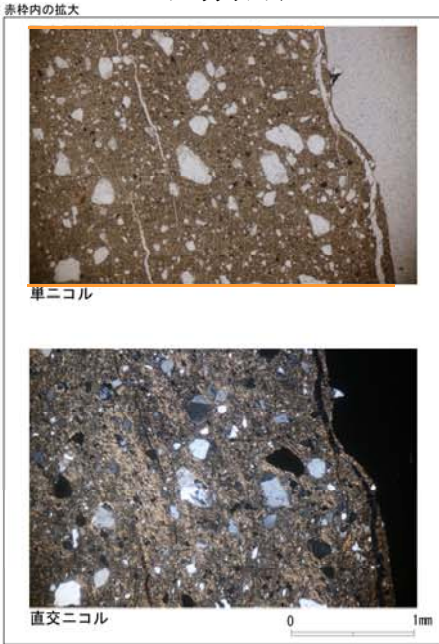
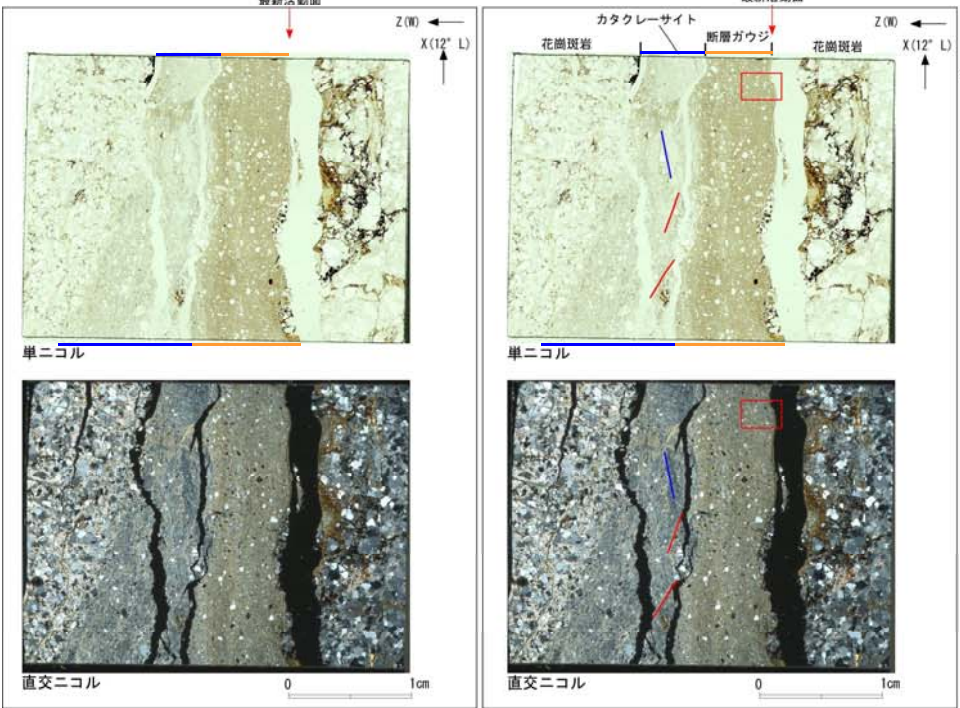


最新活動面の条線観察結果



走向・傾斜 N7° E85° W

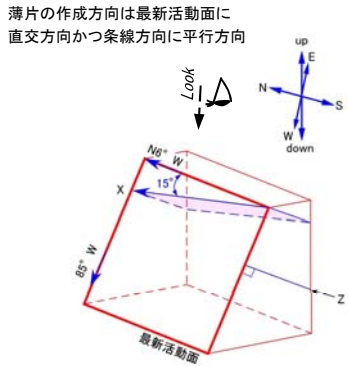
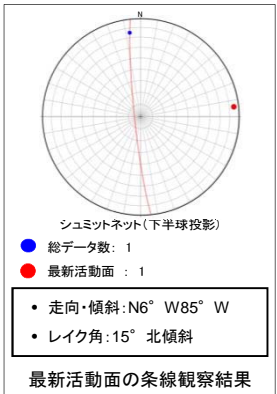
X: 条線方向(下向きを正とする)
 Z: 断層面の法線方向(上盤側を正とする)



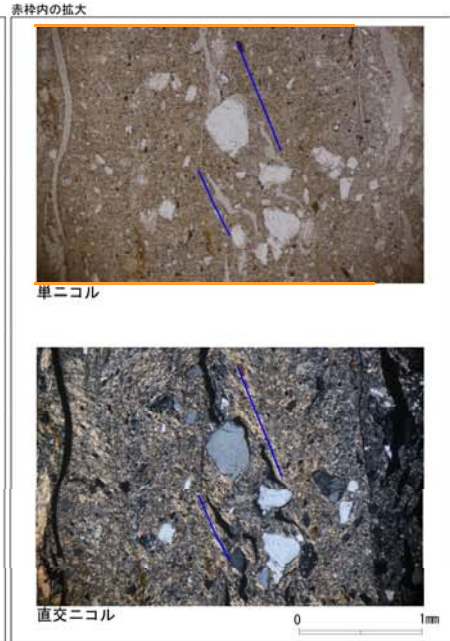
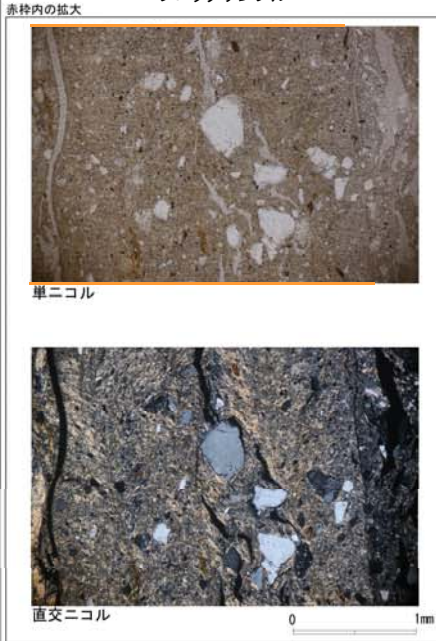
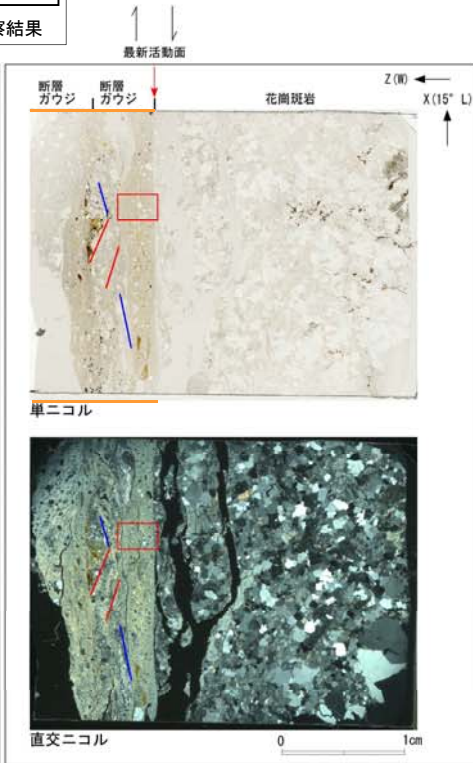
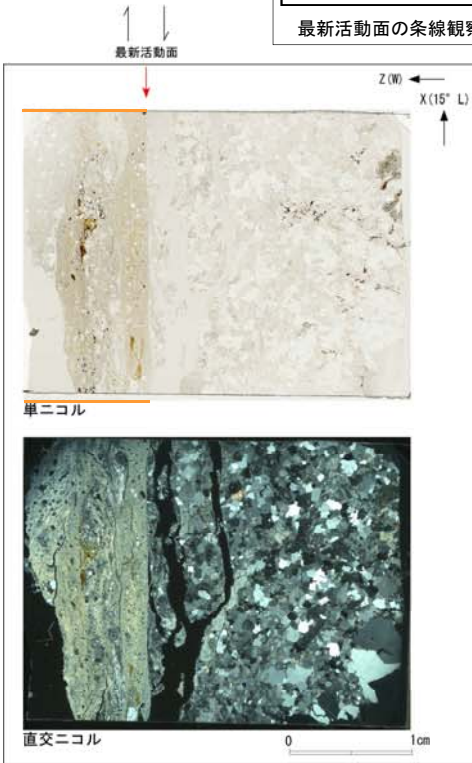
- 凡例
- 断層ガウジ
 - カタクレーサイト
 - R1面
 - P面

f-br-12-2破碎帯 薄片試料観察(H27-Br-12 深度72.72m)

H27-Br-12のボーリングコア(深度72.72m)から採取した薄片試料の観察結果によれば最新活動面の変位センスは、右ずれ成分が卓越する。



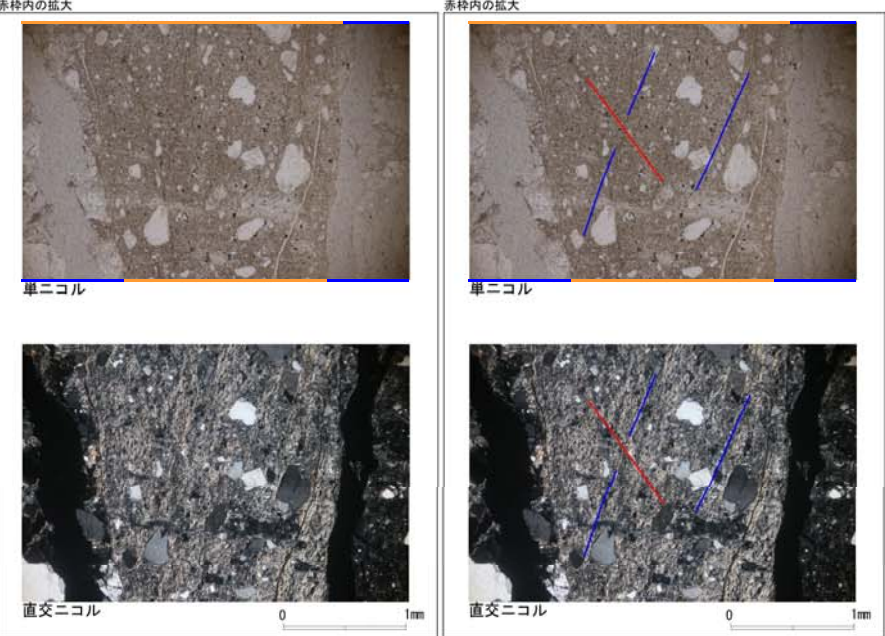
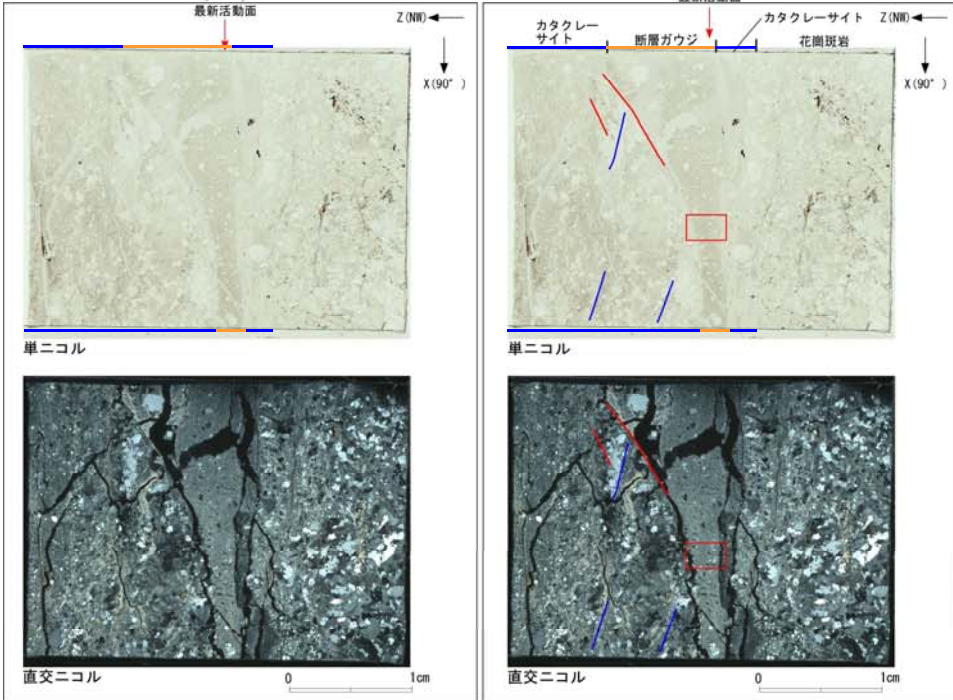
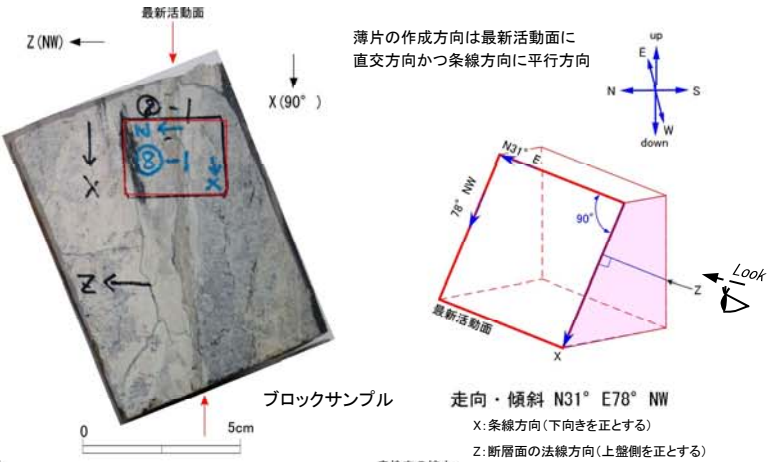
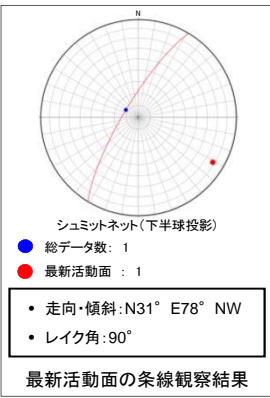
走向・傾斜 N6° W85° W
 X: 条線方向(下向きを正とする)
 Z: 断層面の法線方向(上盤側を正とする)



- 凡例
- 断層ガウジ
 - カタクレーサイト
 - R1面
 - P面

f-br-12-3破砕帯 薄片試料観察(H27-Br-12 深度90.27m)

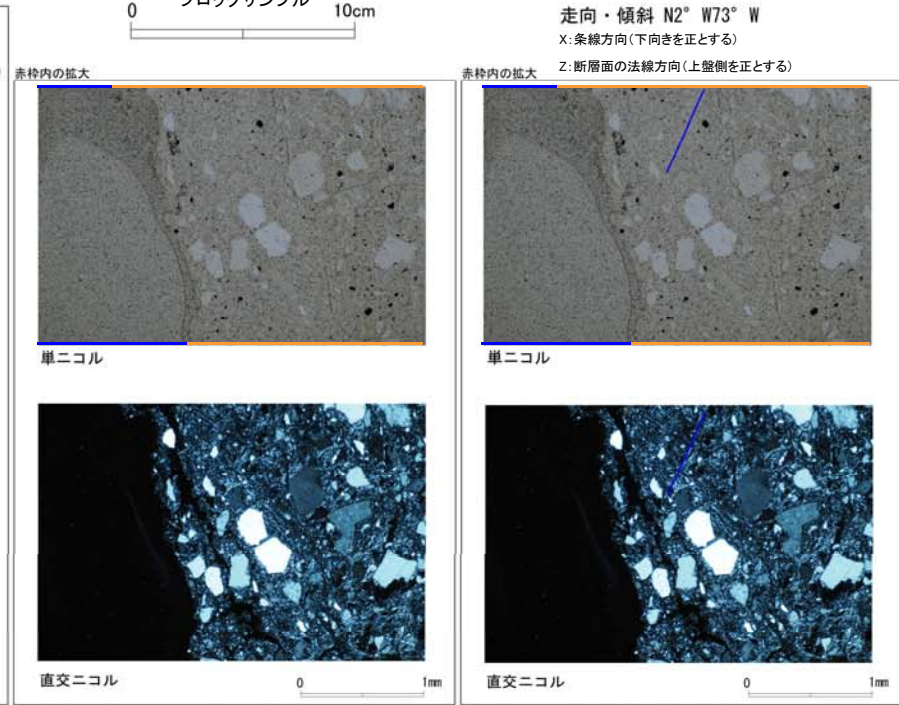
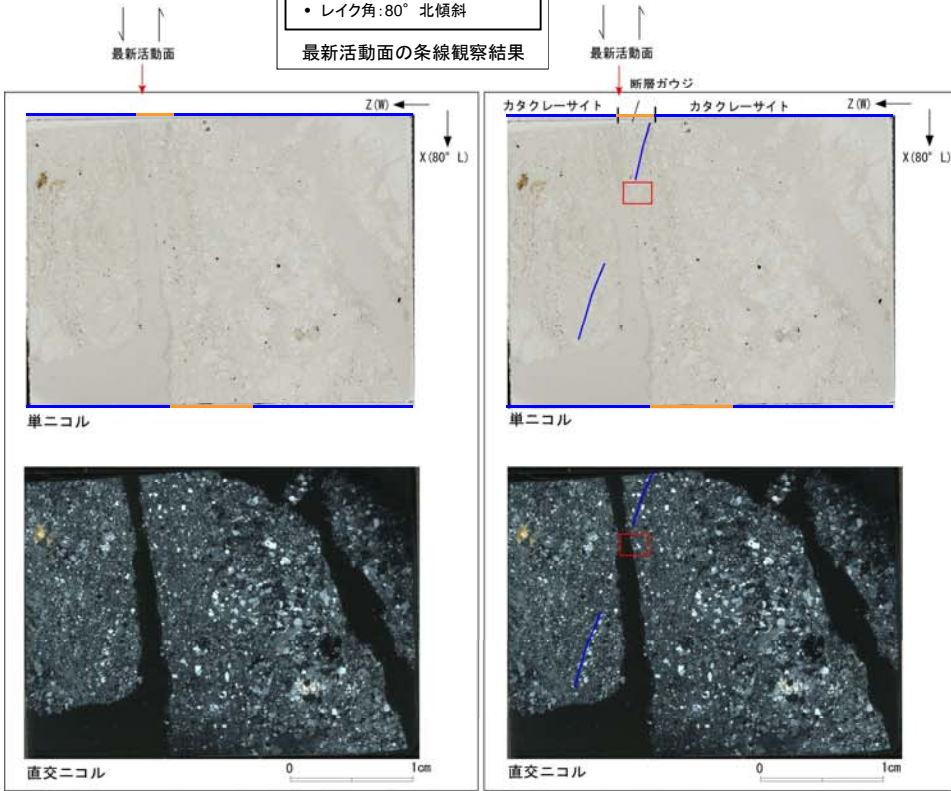
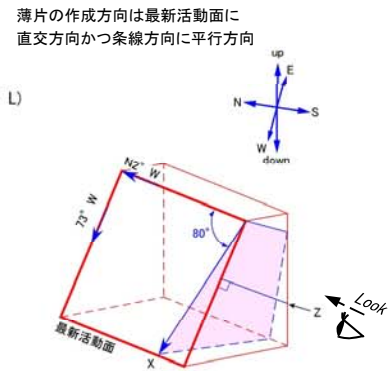
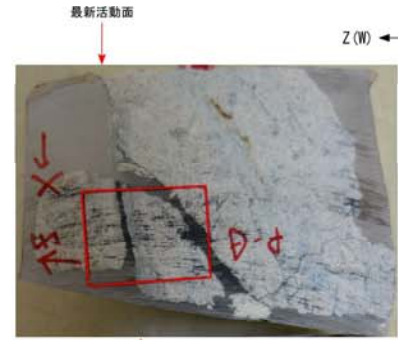
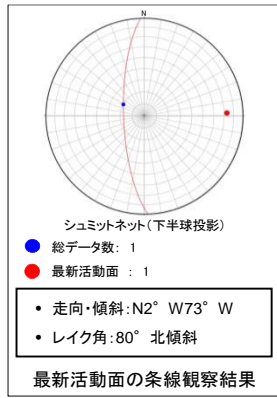
H27-Br-12のボーリングコア(深度90.27m)から採取した薄片試料の観察結果によれば最新活動面の変位センスは、正断層成分が卓越する。



- 凡例
- 断層ガウジ
 - カタクレーサイト
 - R1面
 - P面

f-d5-1-4 破碎帯 薄片試料観察 (H27-D5-1 深度35.48m)

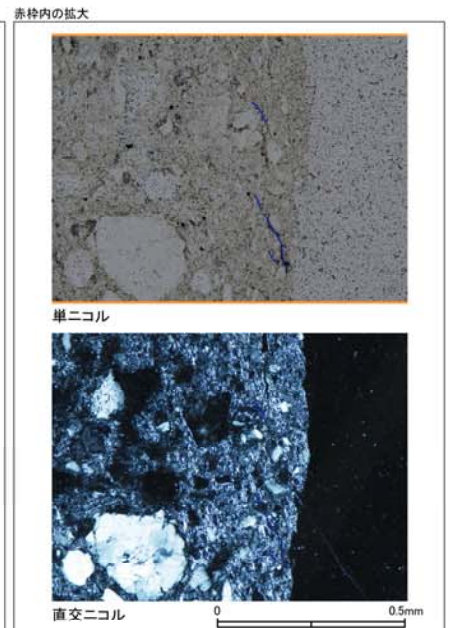
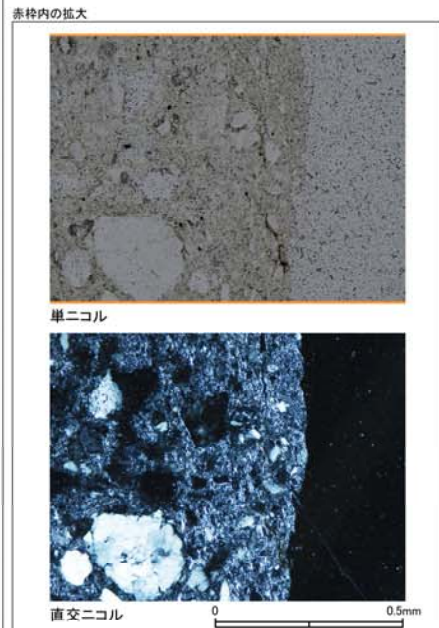
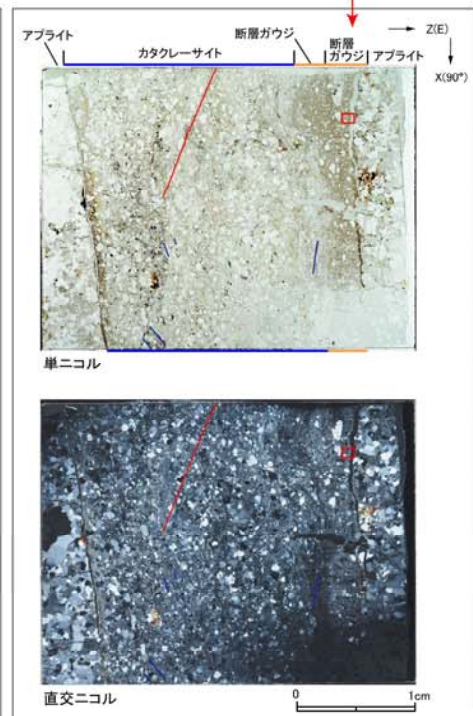
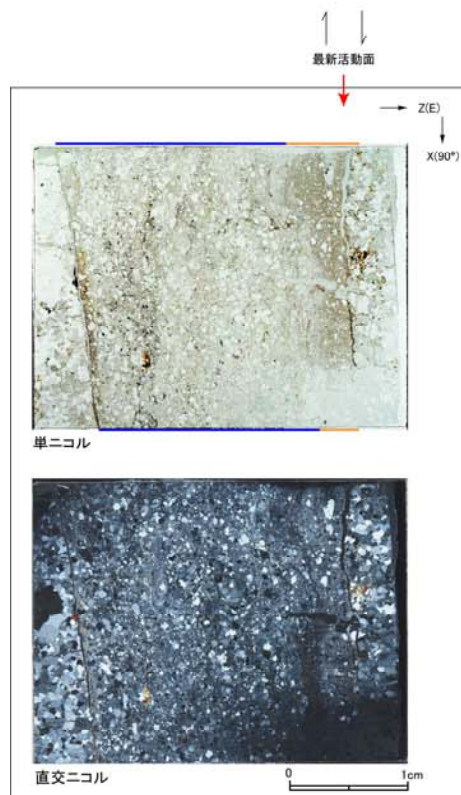
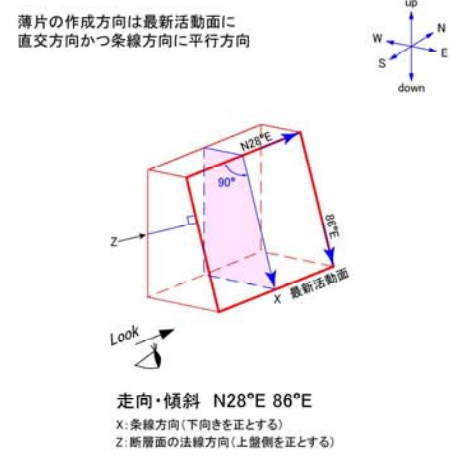
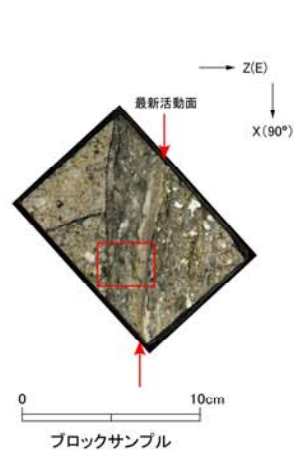
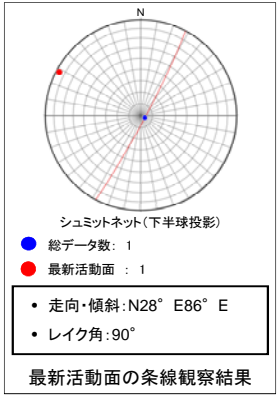
H27-D5-1のボーリングコア(深度35.48m)から採取した薄片試料の観察結果によれば最新活動面の変位センスは、正断層成分が卓越する。



- 凡例
- 断層ガウジ
 - カタクレーサイト
 - R1面
 - P面

f-b-1-16 破碎帯 薄片試料観察 (H27-B-1 深度85.41m)

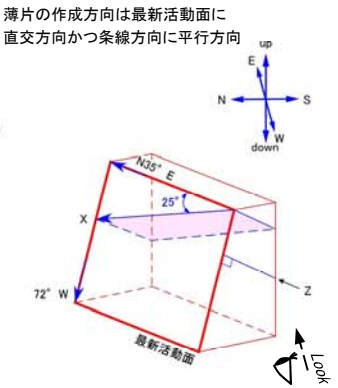
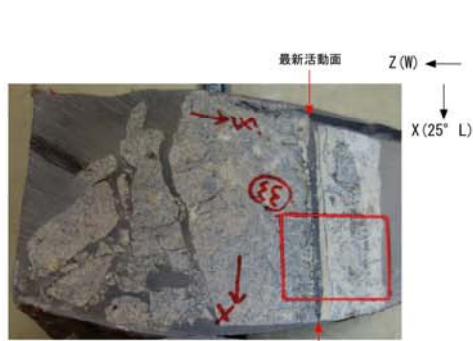
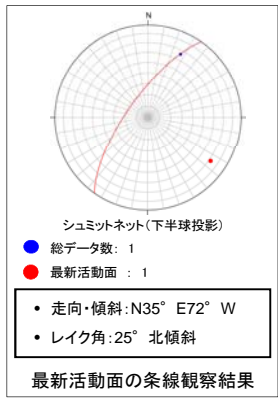
H27-B-1のボーリングコア(深度85.41m)から採取した薄片試料の観察結果によれば最新活動面の変位センスは、正断層成分が卓越する。



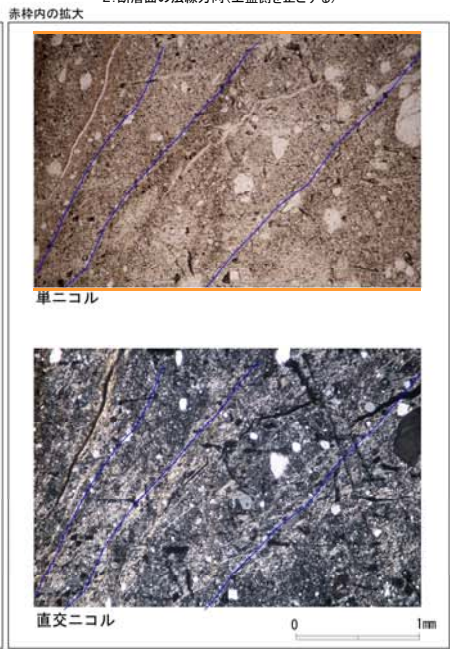
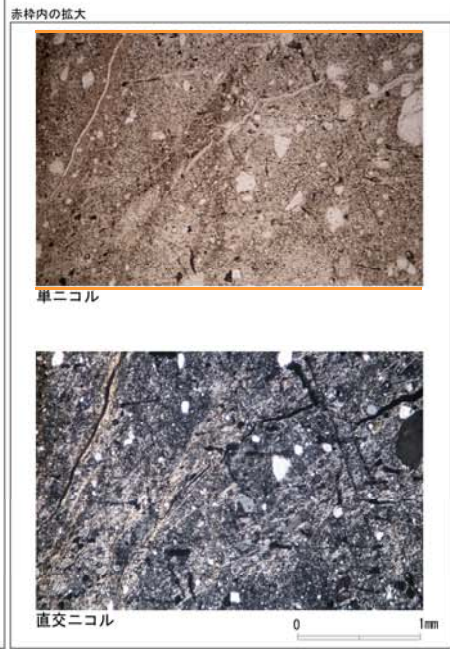
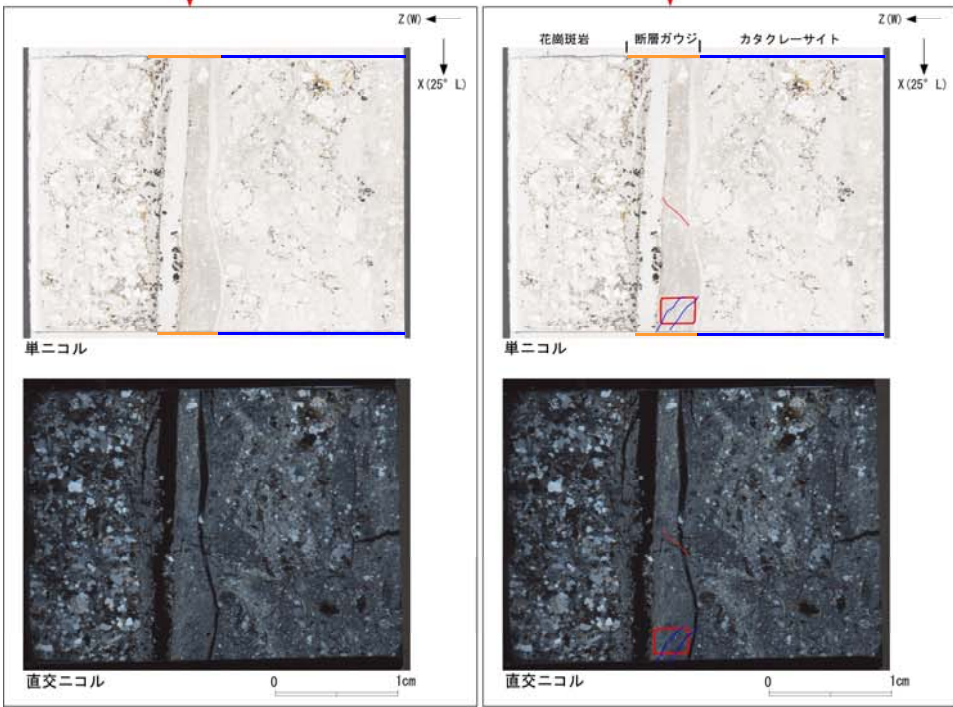
- 凡例
- 断層ガウジ
 - カタクレーサイト
 - R1面
 - P面

f-b-2-14 破碎帯 薄片試料観察 (H27-B-2 深度88.94m)

H27-B-2のボーリングコア(深度88.94m)から採取した薄片試料の観察結果によれば最新活動面の変位センスは、右ずれを伴う正断層である。



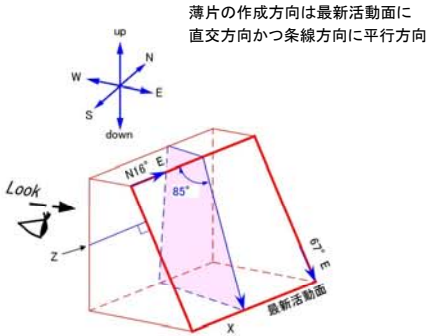
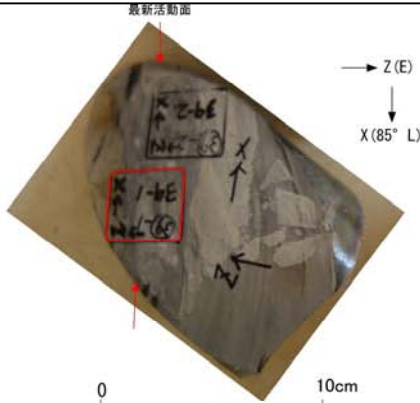
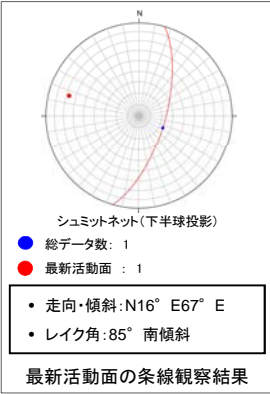
※切断面に記載されているZ方向は誤り
 ブロックサンプル



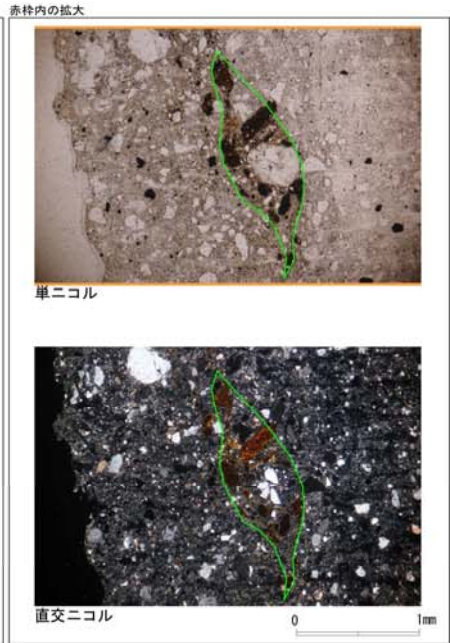
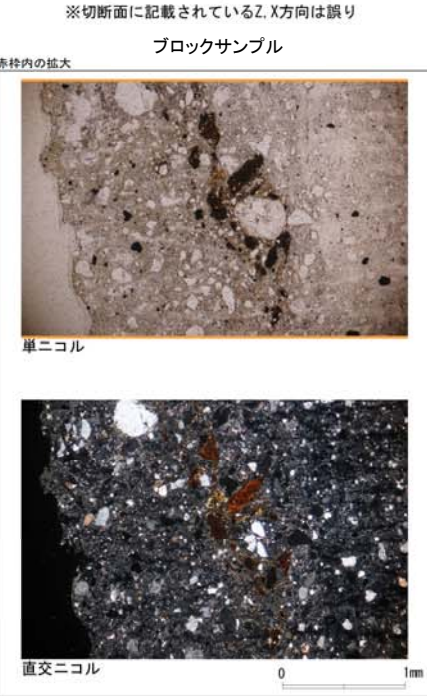
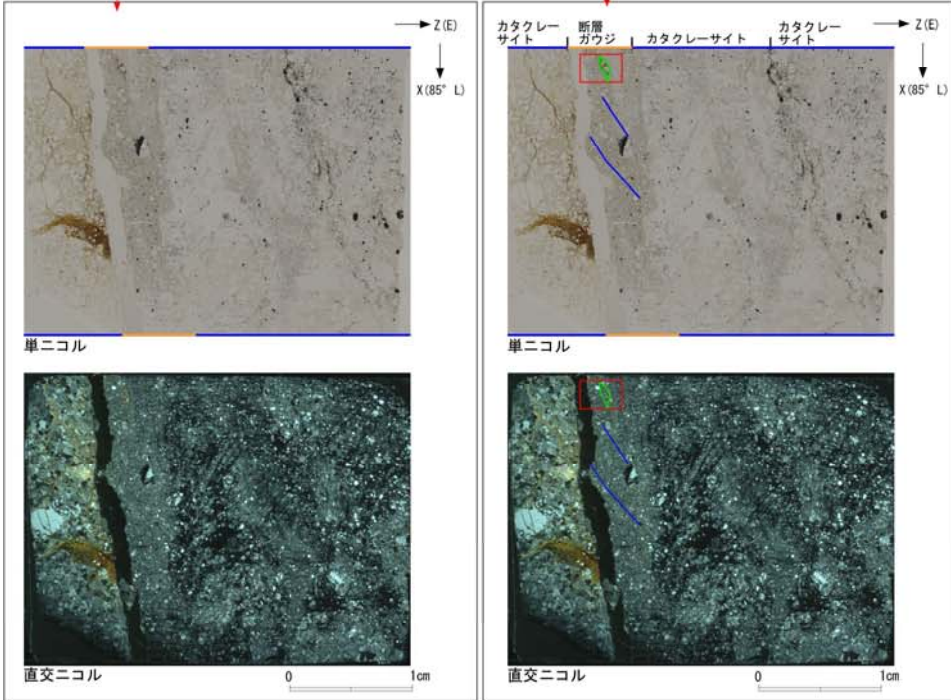
- 凡例
- 断層ガウジ
 - カタクレーサイト
 - R1面
 - P面

f-b-2-20破砕帯 薄片試料観察(H27-B-2 深度134.15m)

H27-B-2のボーリングコア(深度134.15m)から採取した薄片試料の観察結果によれば最新活動面の変位センスは、正断層成分が卓越する。



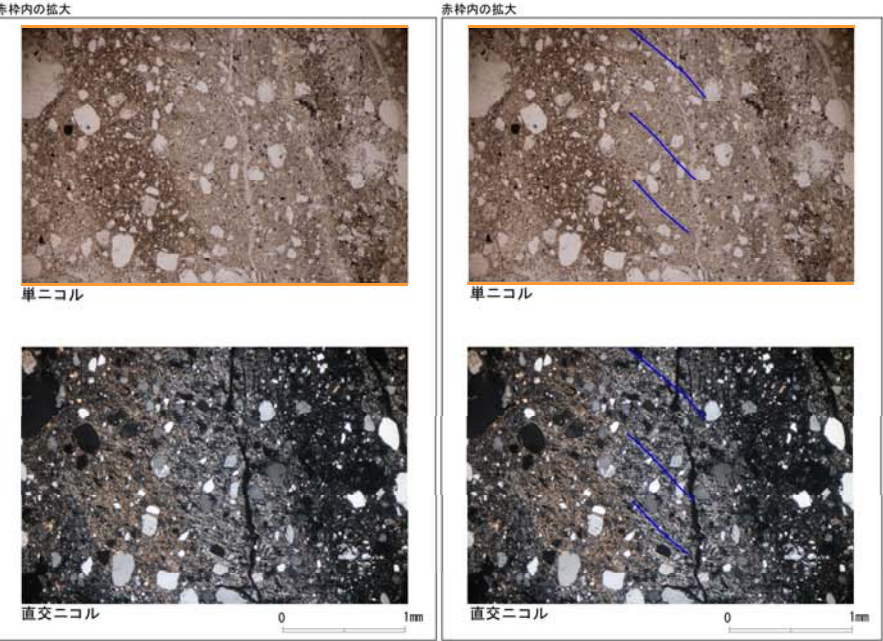
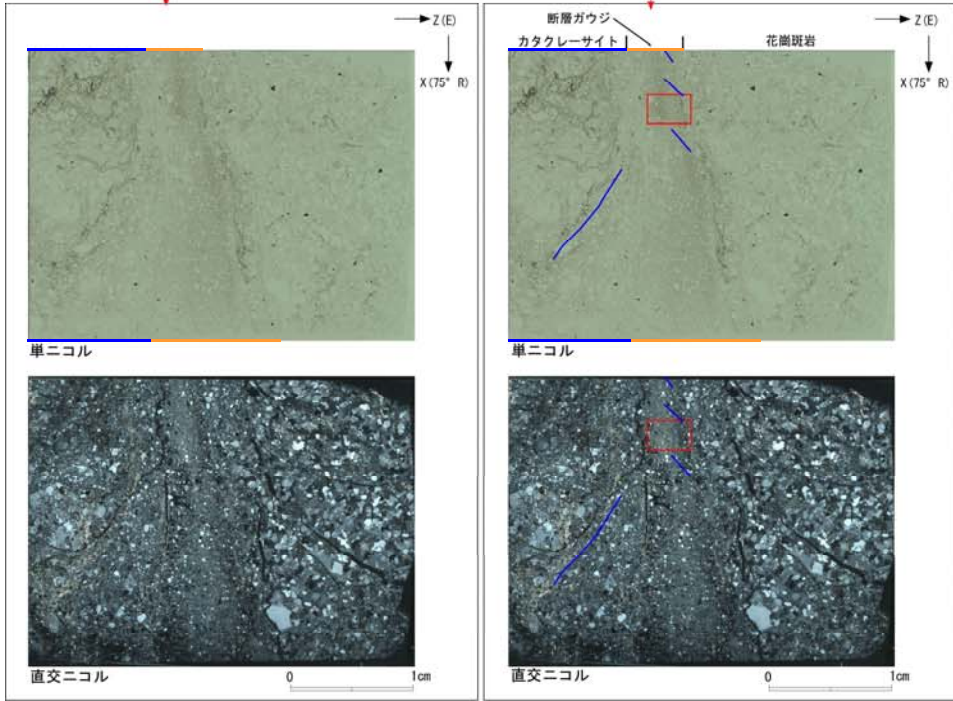
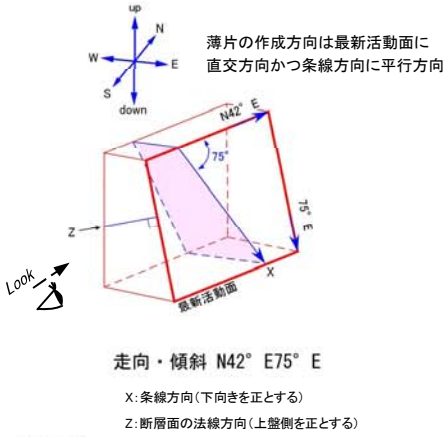
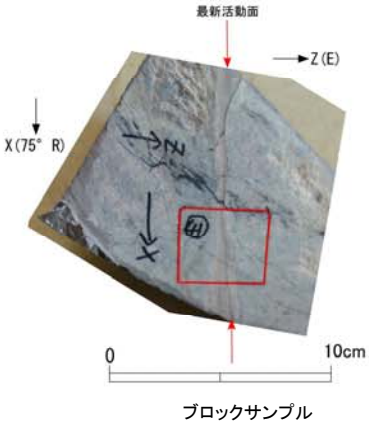
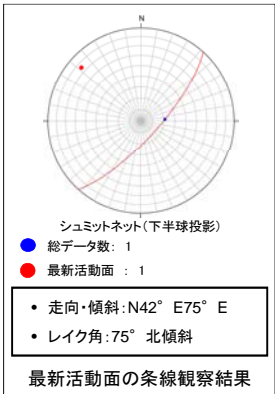
走向・傾斜 N16° E67° E
 X: 条線方向(下向きを正とする)
 Z: 断層面の法線方向(上盤側を正とする)



- 凡例
- 断層ガウジ
 - カタクレーサイト
 - R1面
 - P面
 - 非対称変形構造

f-b-2-22 破碎帯 薄片試料観察 (H27-B-2 深度154.58m)

H27-B-2のボーリングコア(深度154.58m)から採取した薄片試料の観察結果によれば最新活動面の変位センスは、正断層成分が卓越する。



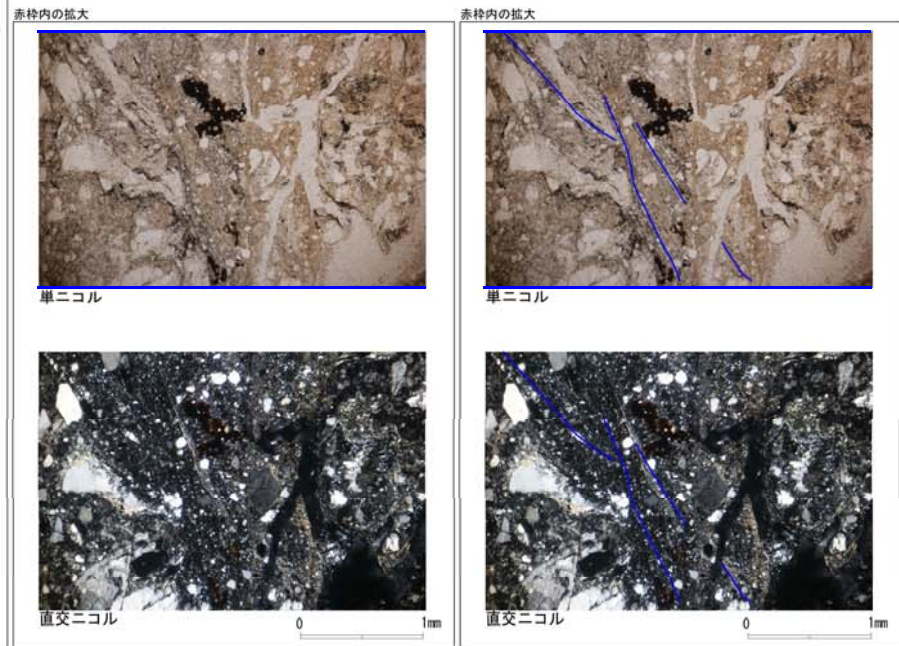
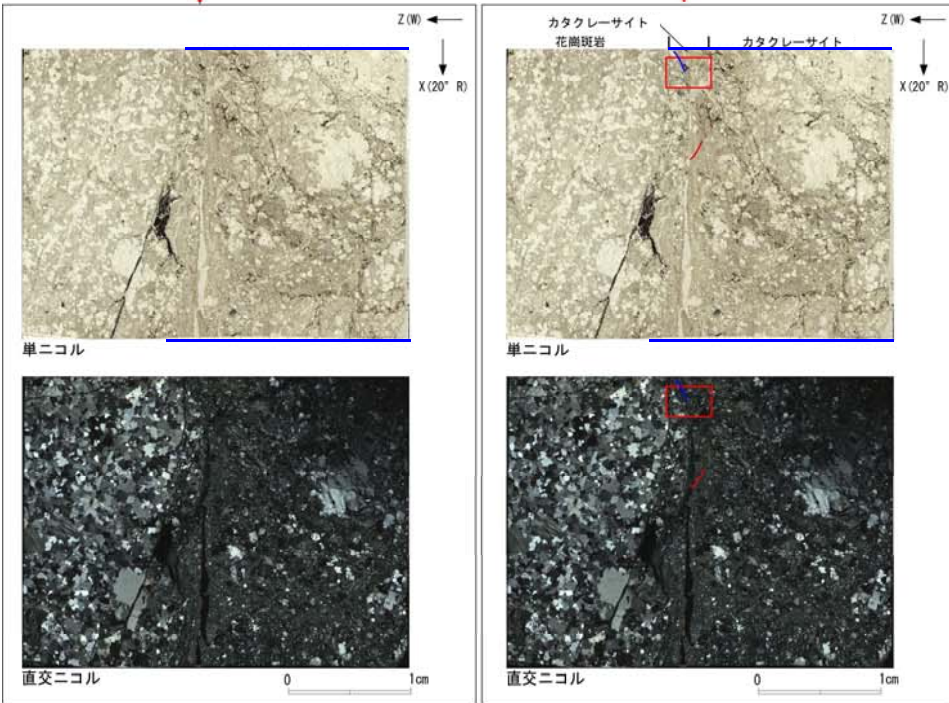
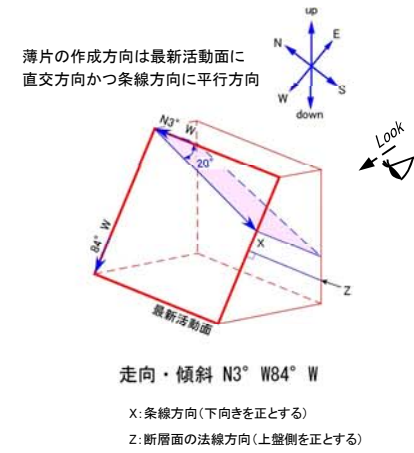
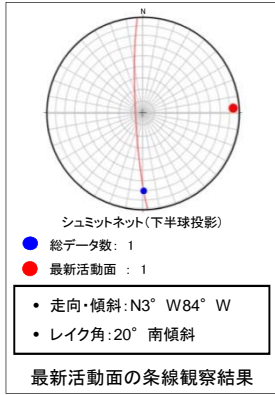
- 凡例
- 断層ガウジ
 - カタクレーサイト
 - R1面
 - P面

余白

15. 非モデル化破碎帯

非モデル化破碎帯 薄片試料観察(H24-B8-21 深度131.03m)

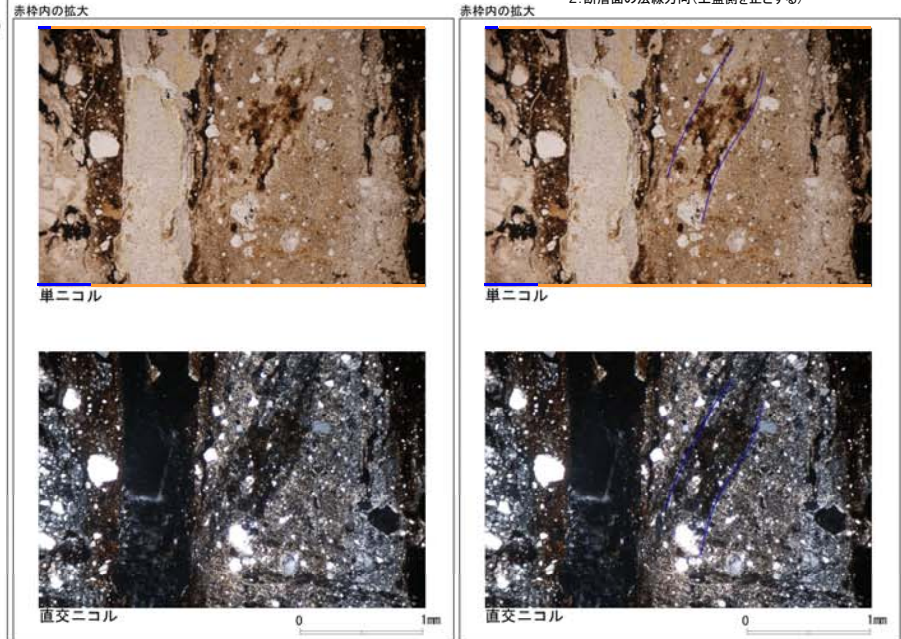
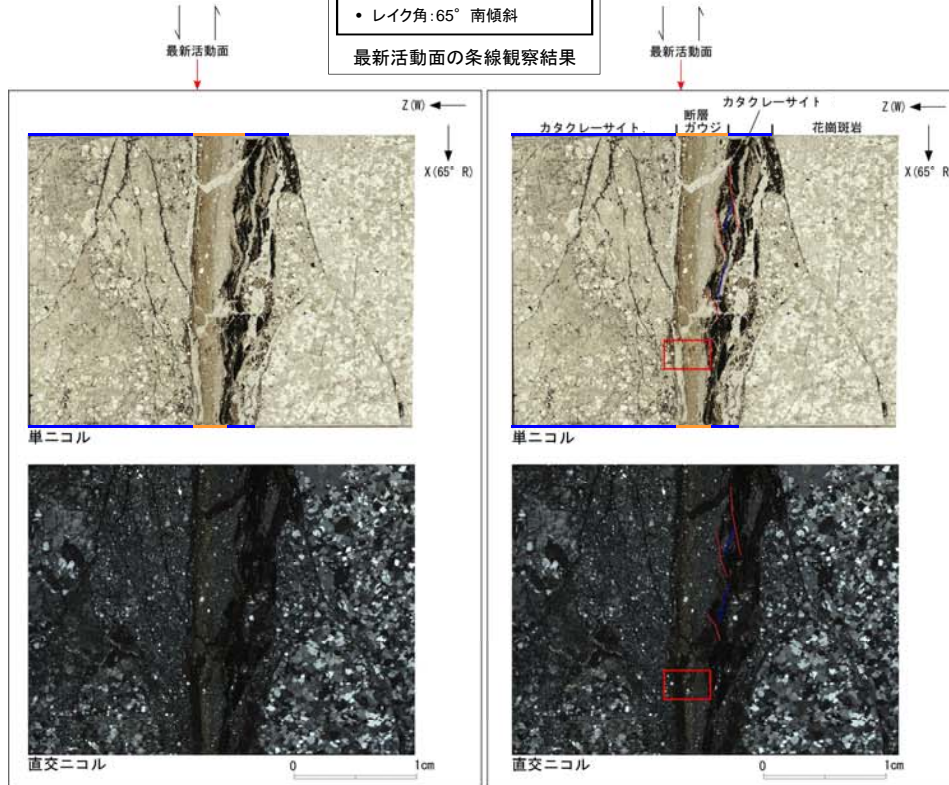
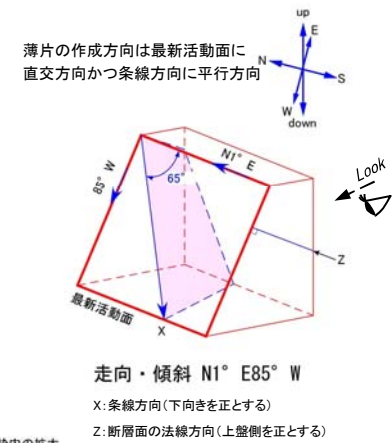
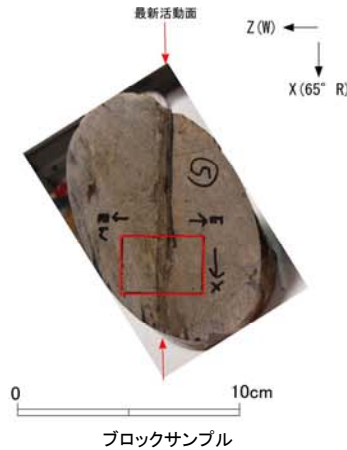
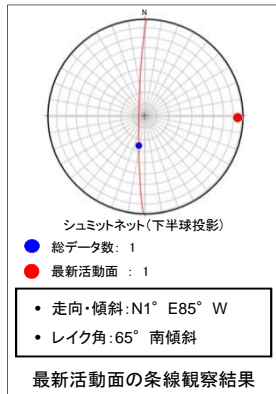
H24-B8-21のボーリングコア(深度131.03m)から採取した薄片試料の観察結果によれば最新活動面の変位センスは、右ずれ成分が卓越する。



- 凡例
- 断層ガウジ
 - カタクレーサイト
 - R1面
 - P面

非モデル化破碎帯 薄片試料観察(H24-B8-21 深度132.82m)

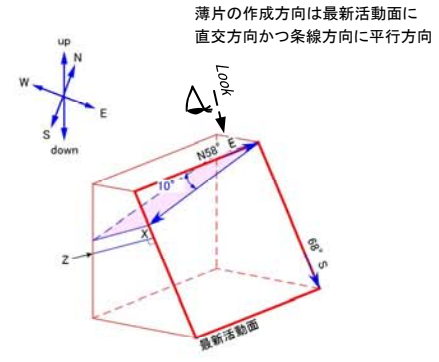
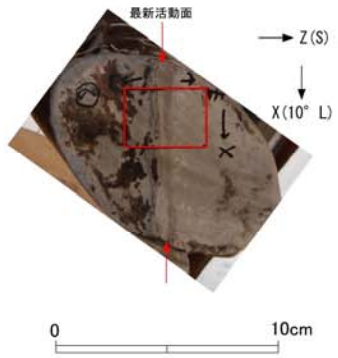
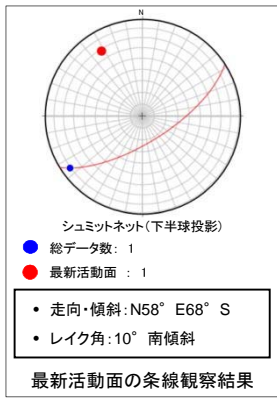
H24-B8-21のボーリングコア(深度132.82m)から採取した薄片試料の観察結果によれば最新活動面の変位センスは、左ずれを伴う正断層である。



- 凡例
- 断層ガウジ
 - カタクレーサイト
 - R1面
 - P面

非モデル化破碎帯 薄片試料観察(H24-B8-21 深度135.30m)

H24-B8-21のボーリングコア(深度135.30m)から採取した薄片試料の観察結果によれば最新活動面の変位センスは、左ずれ成分が卓越する。



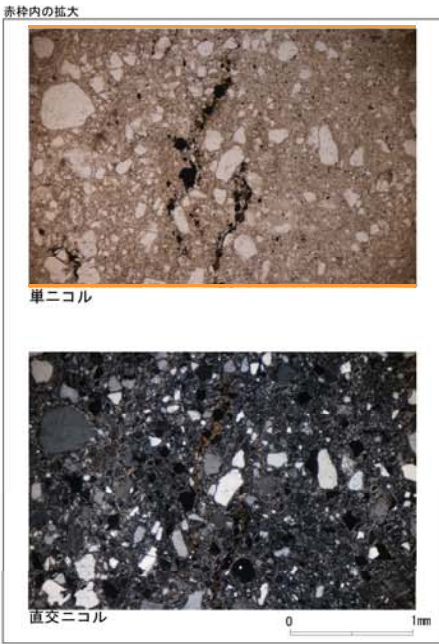
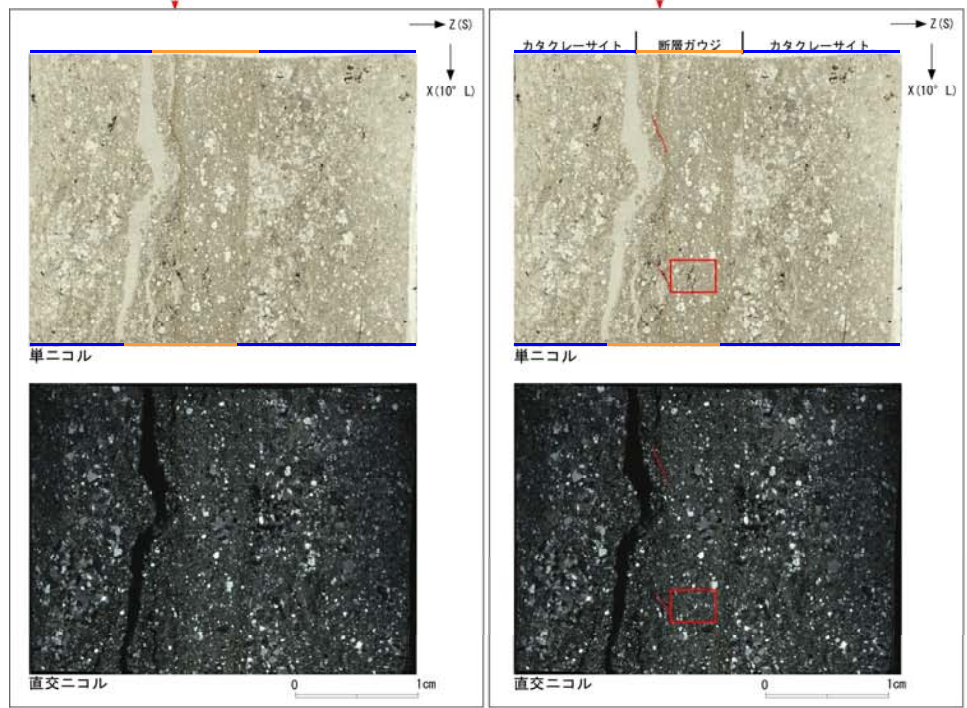
走向・傾斜 N58° E68° S

X: 条線方向(下向きを正とする)
Z: 断層面の法線方向(上盤側を正とする)

最新活動面

最新活動面

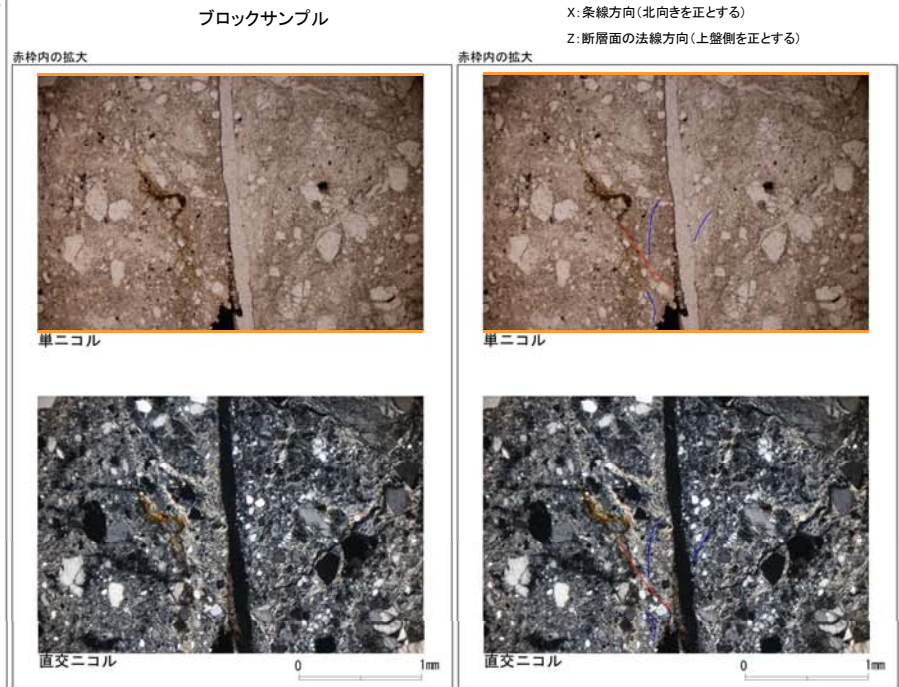
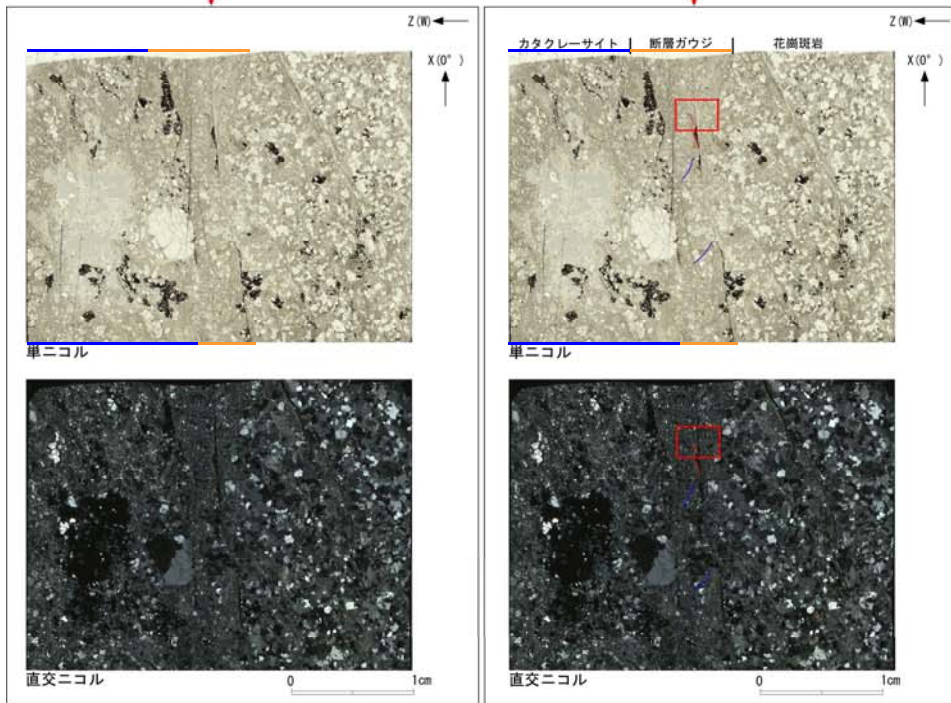
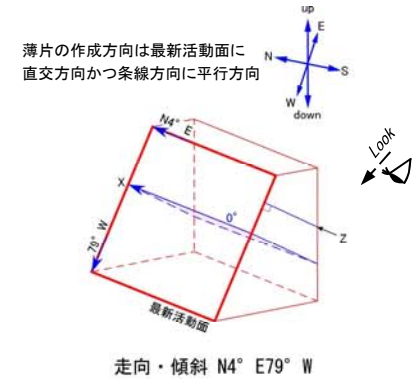
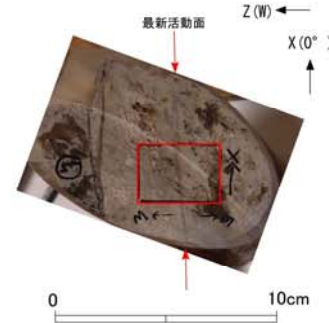
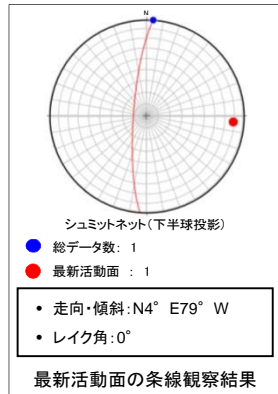
ブロックサンプル



- 凡例
- 断層ガウジ
 - カタクレーサイト
 - R1面
 - P面

非モデル化破碎帯 薄片試料観察(H24-B8-21 深度137.72m)

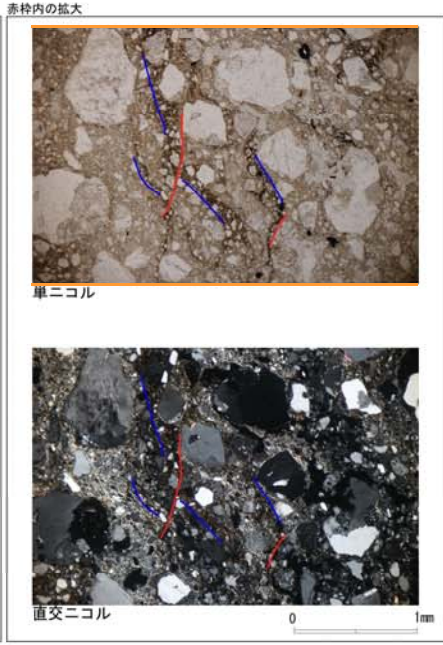
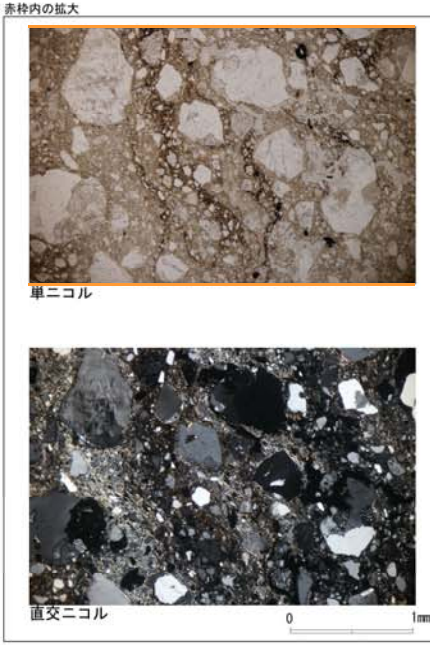
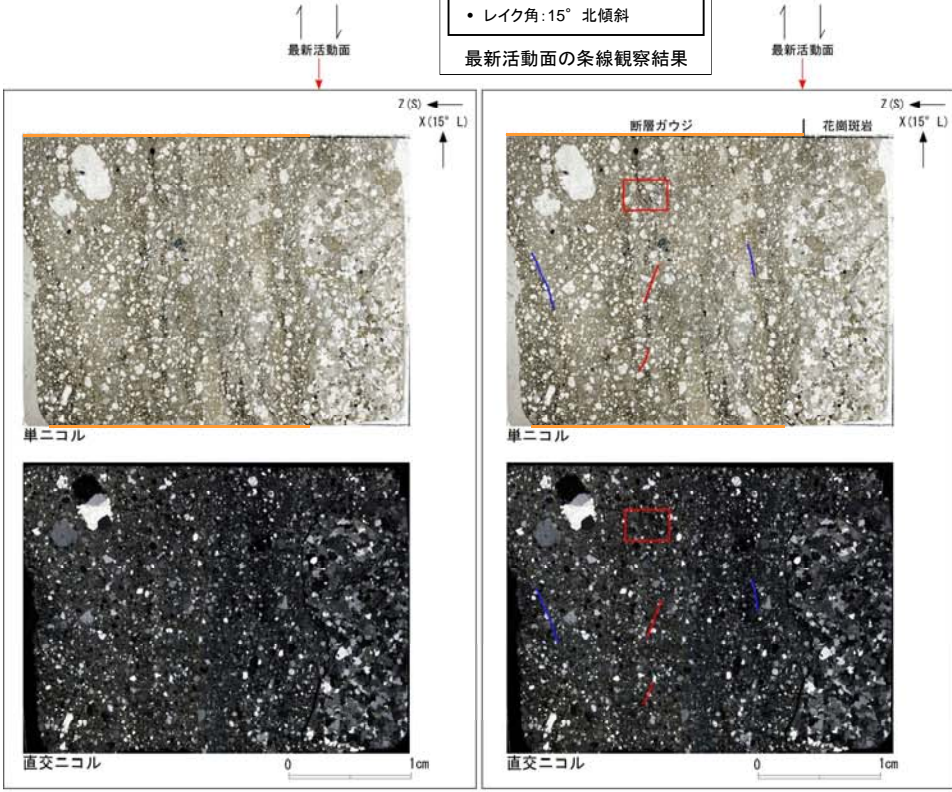
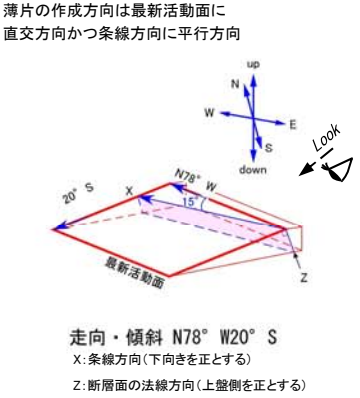
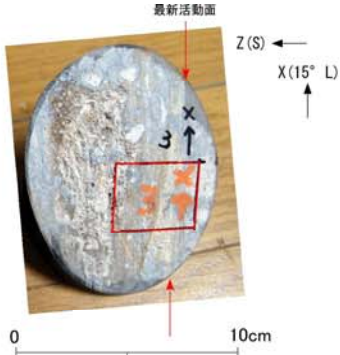
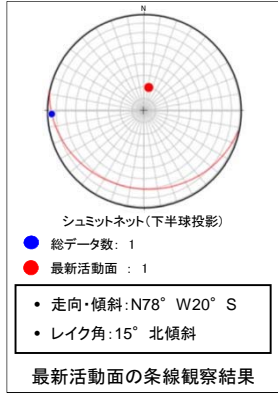
H24-B8-21のボーリングコア(深度137.72m)から採取した薄片試料の観察結果によれば最新活動面の変位センスは、左ずれ成分が卓越する。



- 凡例
- 断層ガウジ
 - カタクレーサイト
 - R1面
 - P面

非モデル化破碎帯 薄片試料観察(H24-B8-27 深度88.58m)

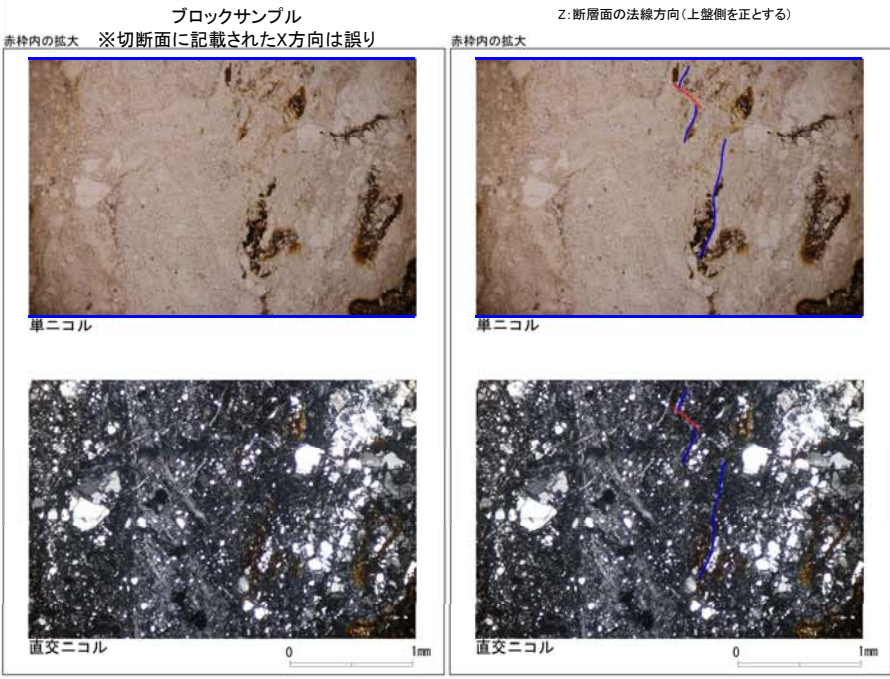
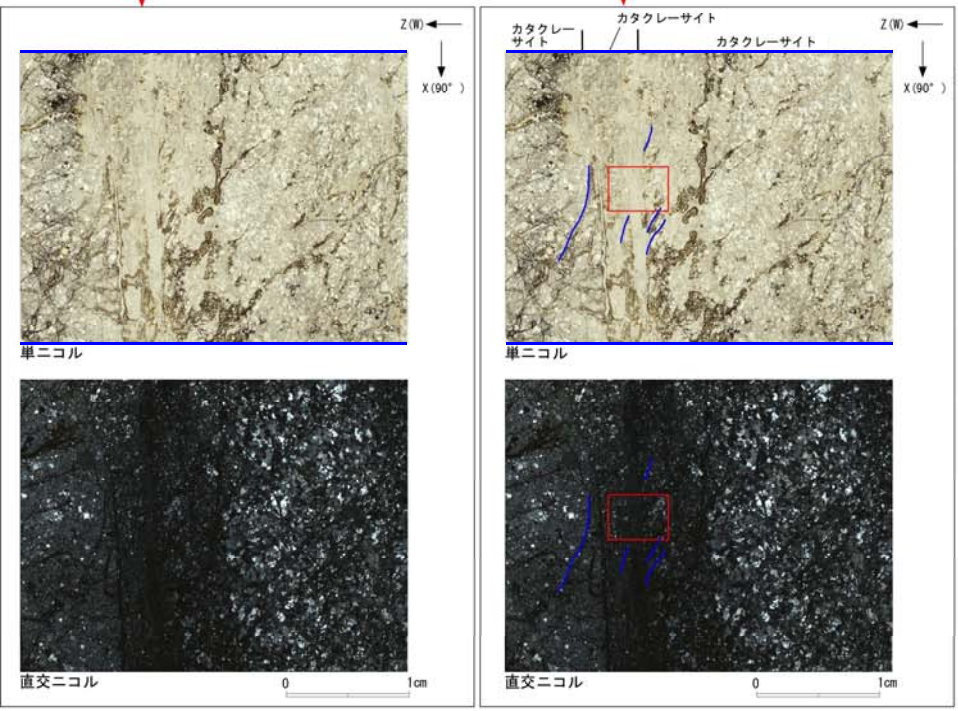
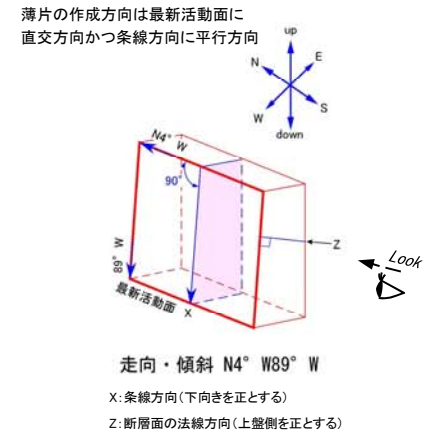
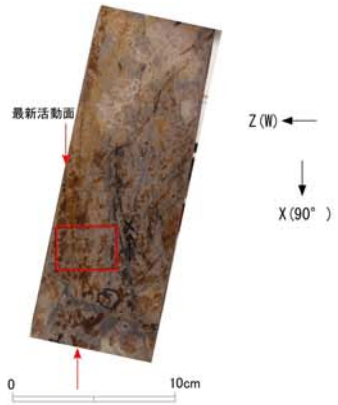
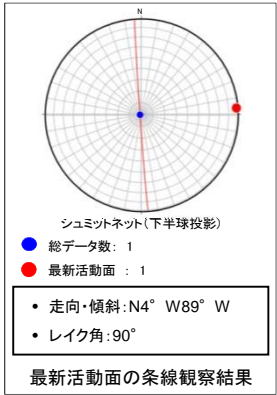
H24-B8-27のボーリングコア(深度88.58m)から採取した薄片試料の観察結果によれば最新活動面の変位センスは、右ずれ成分が卓越する。



- 凡例
- 断層ガウジ
 - カタクレーサイト
 - R1面
 - P面

非モデル化破碎帯 薄片試料観察(H24-B8-29 深度25.80m)

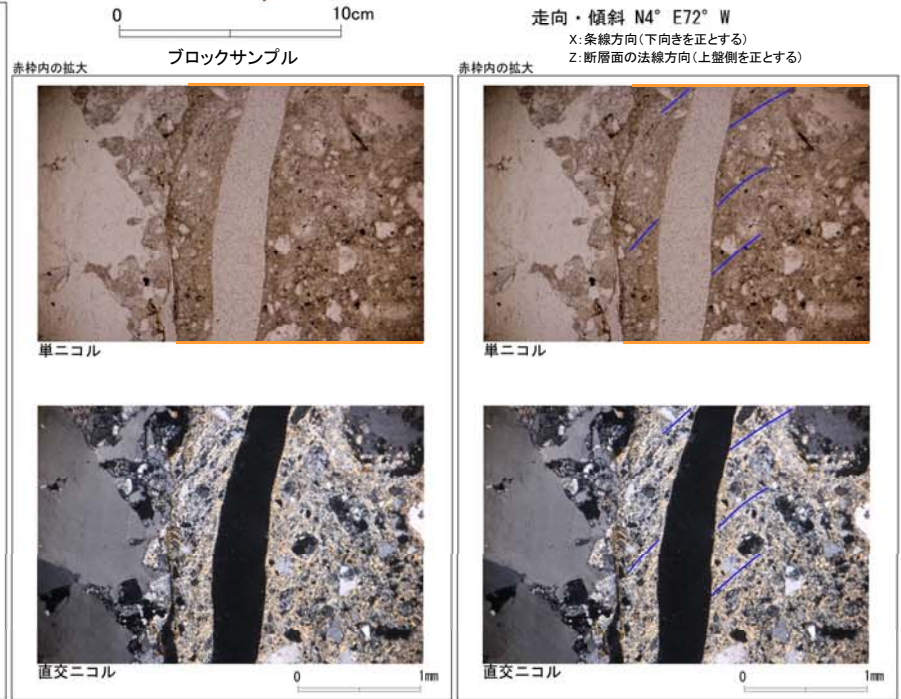
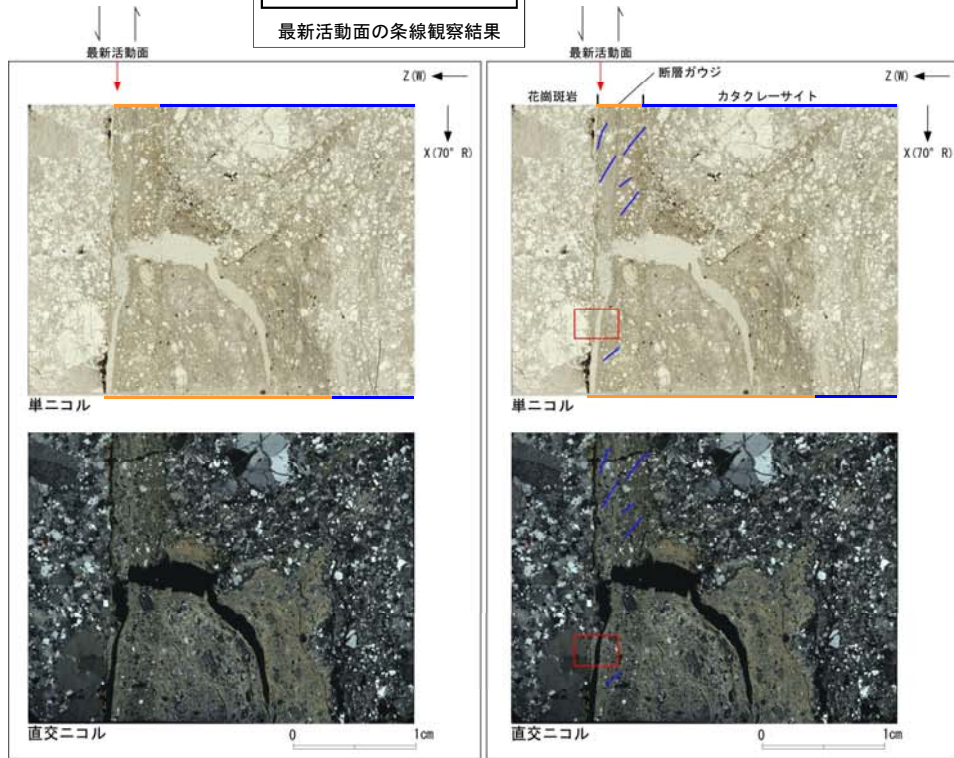
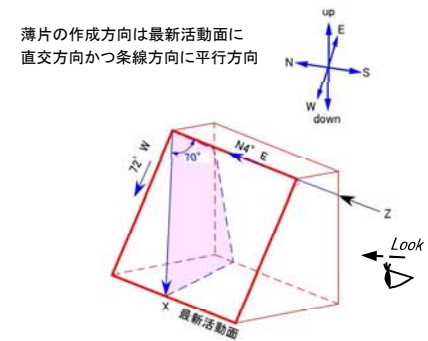
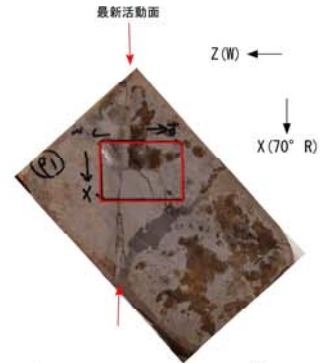
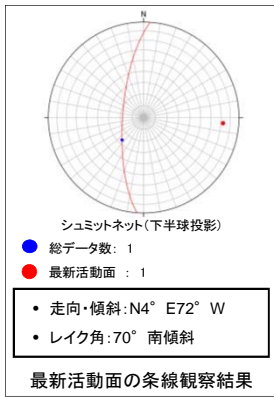
H24-B8-29のボーリングコア(深度25.80m)から採取した薄片試料の観察結果によれば最新活動面の変位センスは、正断層成分が卓越する。



- 凡例
- 断層ガウジ
 - カタクレーサイト
 - R1面
 - P面

非モデル化破碎帯 薄片試料観察(H24-B11-1 深度97.87m)

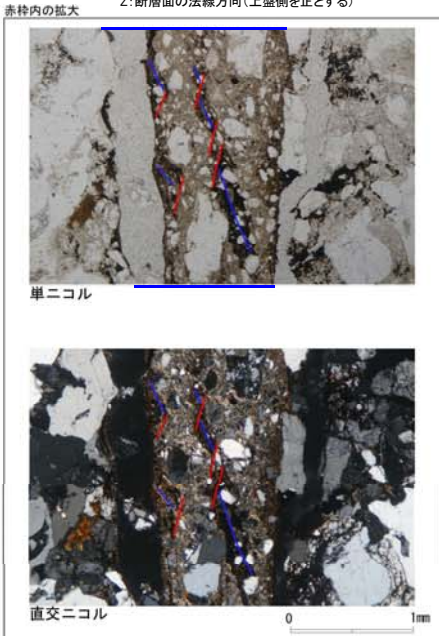
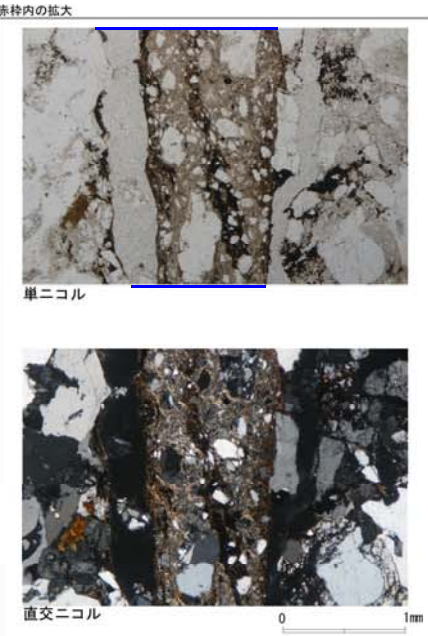
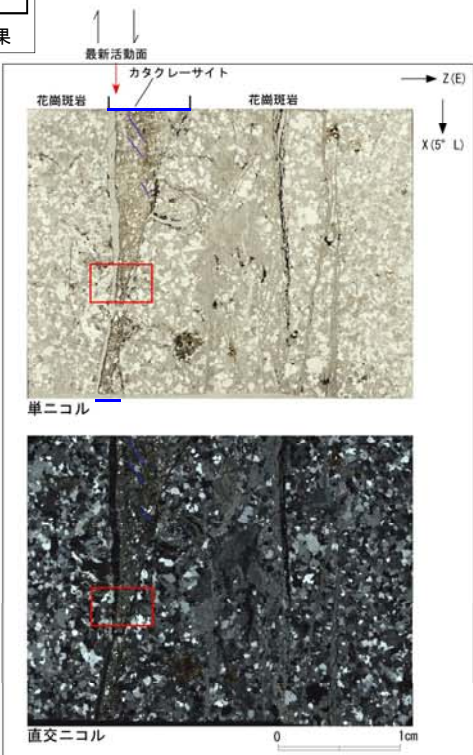
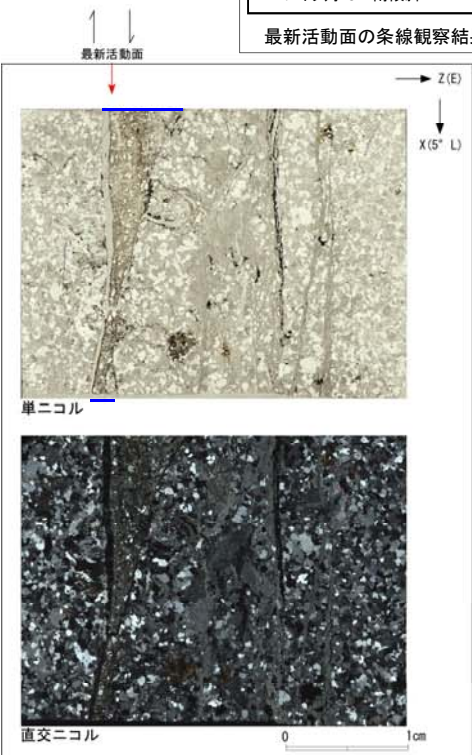
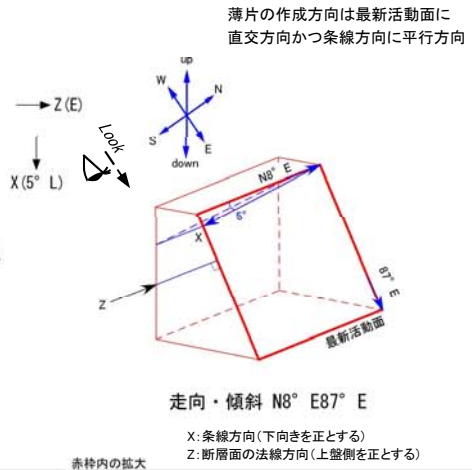
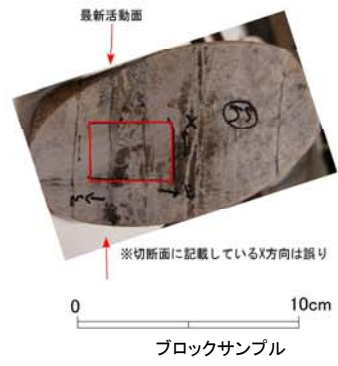
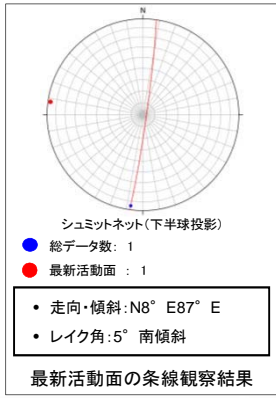
H24-B11-1のボーリングコア(深度97.87m)から採取した薄片試料の観察結果によれば最新活動面の変位センスは、正断層成分が卓越する。



- 凡例
- 断層ガウジ
 - カタクレーサイト
 - R1面
 - P面

非モデル化破碎帯 薄片試料観察(H24-B11-1 深度143.73m)

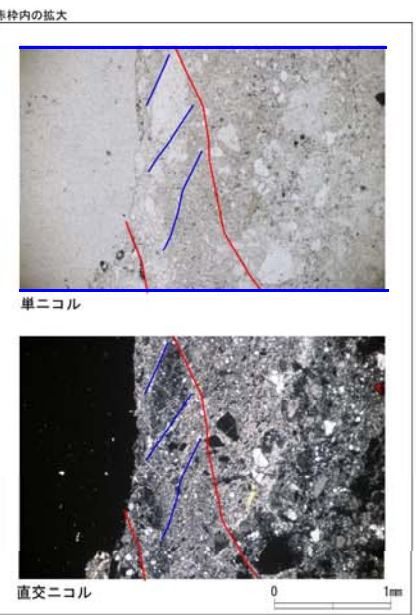
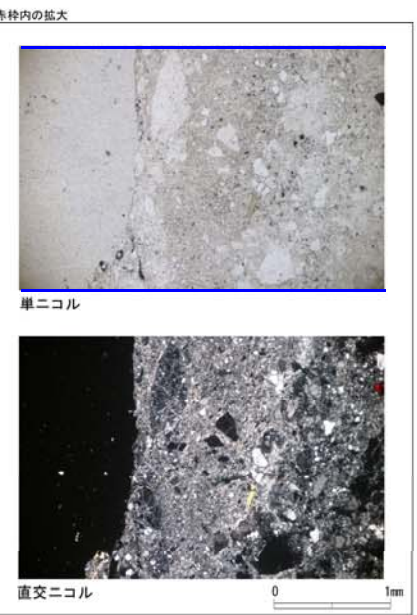
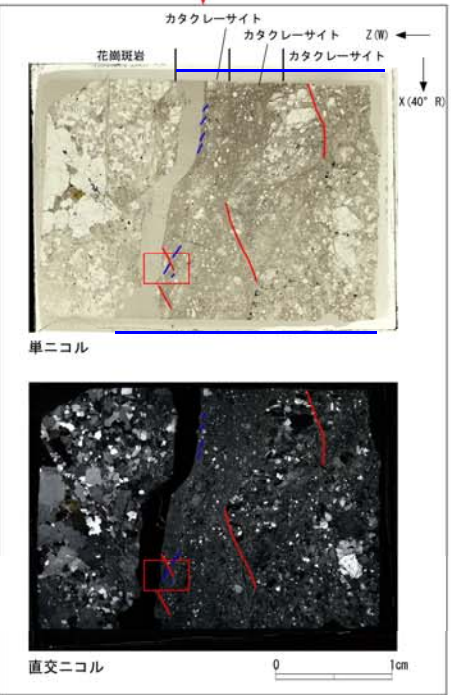
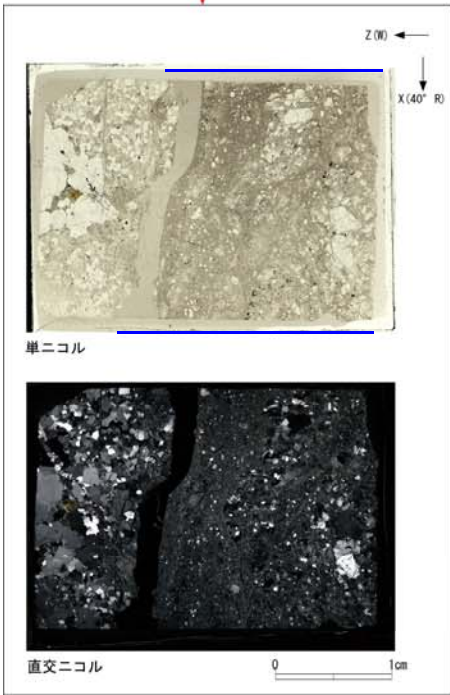
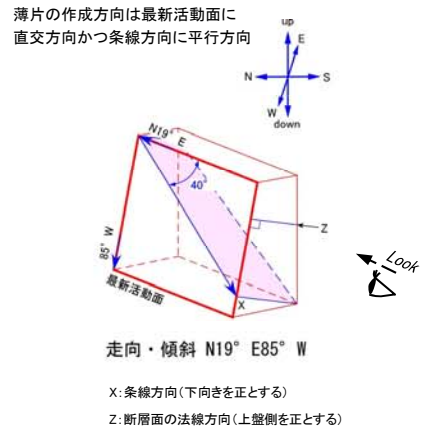
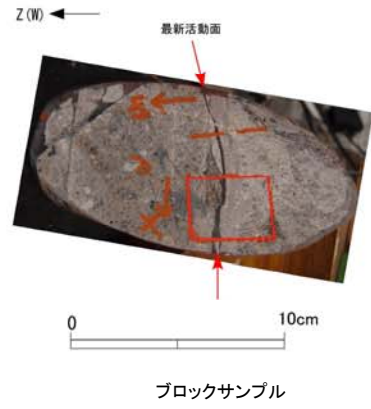
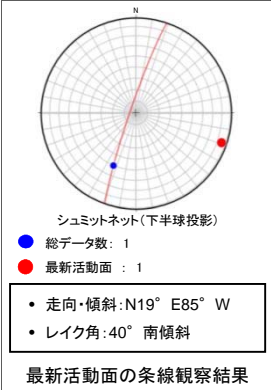
H24-B11-1のボーリングコア(深度143.73m)から採取した薄片試料の観察結果によれば最新活動面の変位センスは、右ずれ成分が卓越する。



- 凡例
- 断層ガウジ
 - カタクレーサイト
 - R1面
 - P面

非モデル化破碎帯 薄片試料観察(H24-B14-1 深度70.54m)

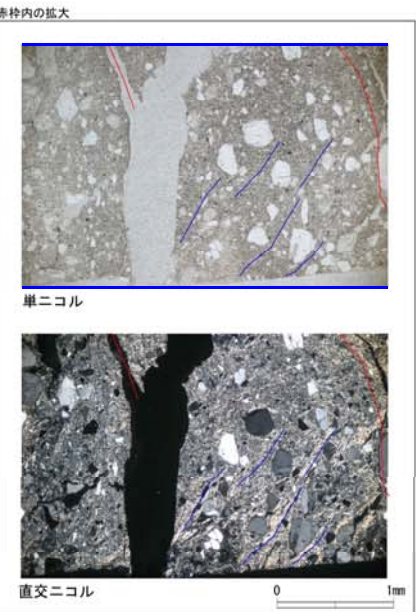
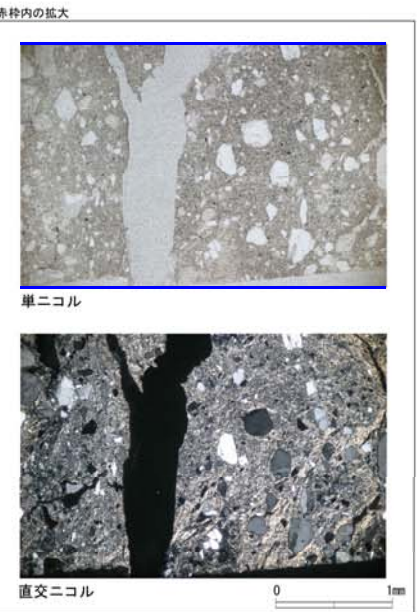
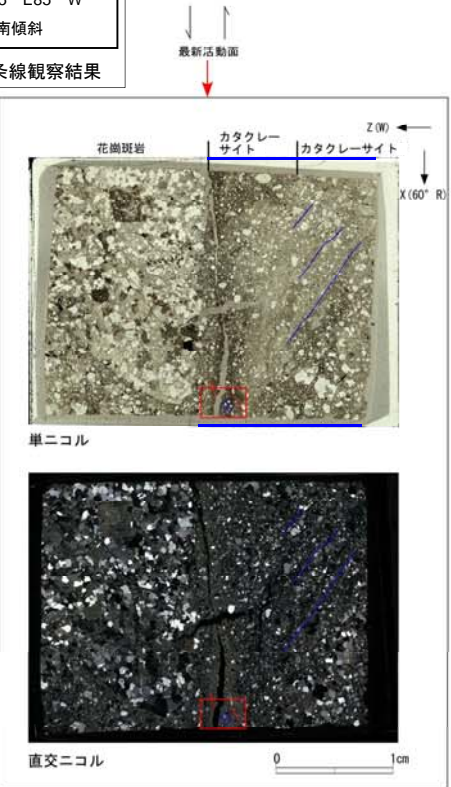
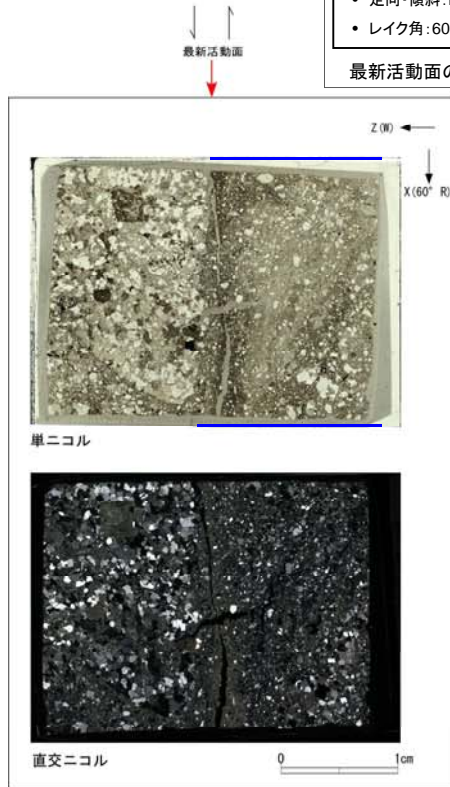
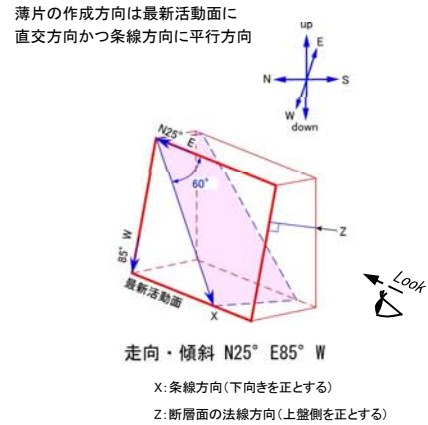
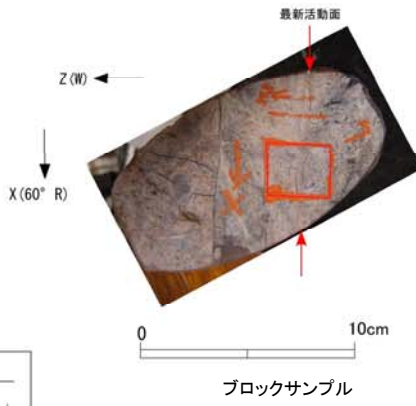
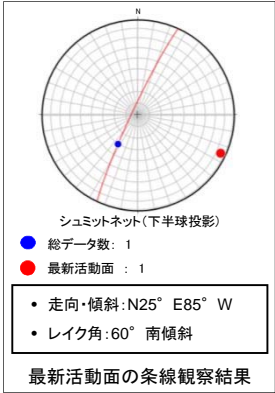
H24-B14-1のボーリングコア(深度70.54m)から採取した薄片試料の観察結果によれば最新活動面の変位センスは、左ずれを伴う正断層である。



- 凡例
- 断層ガウジ
 - カタクレーサイト
 - R1面
 - P面

非モデル化破碎帯 薄片試料観察(H24-B14-1 深度83.71m)

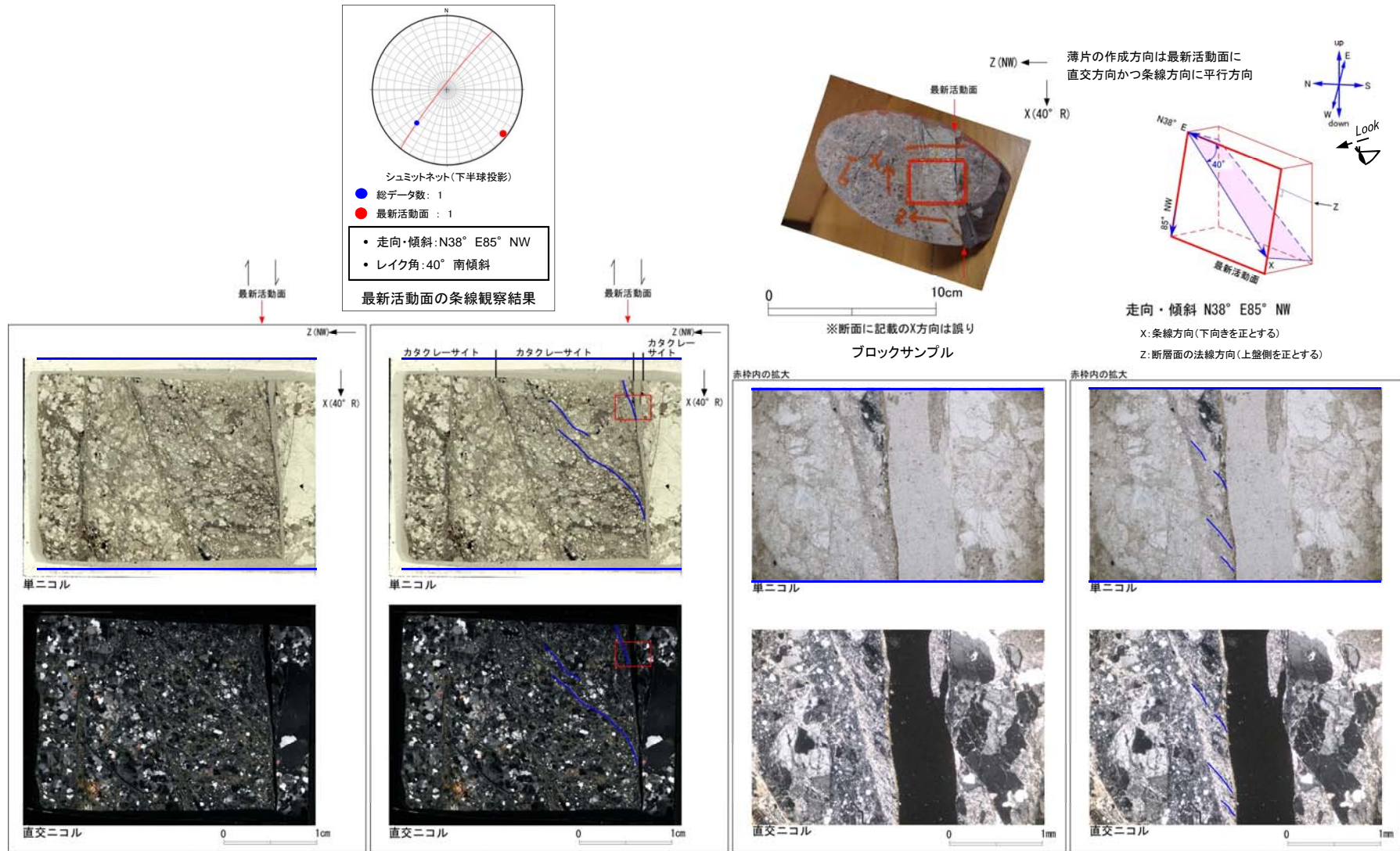
H24-B14-1のボーリングコア(深度83.71m)から採取した薄片試料の観察結果によれば最新活動面の変位センスは、左ずれを伴う正断層である。



- 凡例
- 断層ガウジ
 - カタクレーサイト
 - R1面
 - P面

非モデル化破碎帯 薄片試料観察(H24-B14-2 深度47.40m)

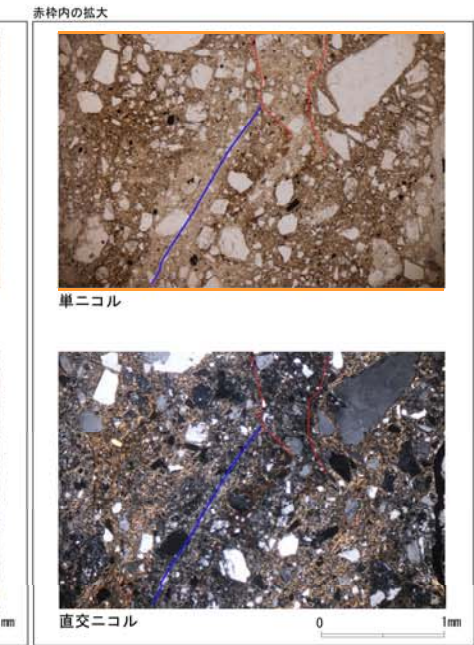
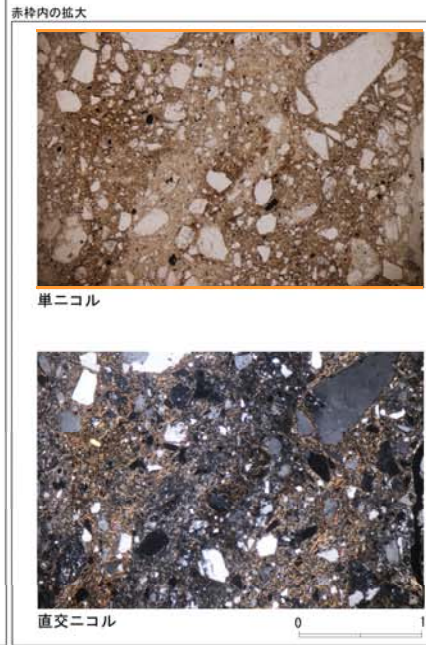
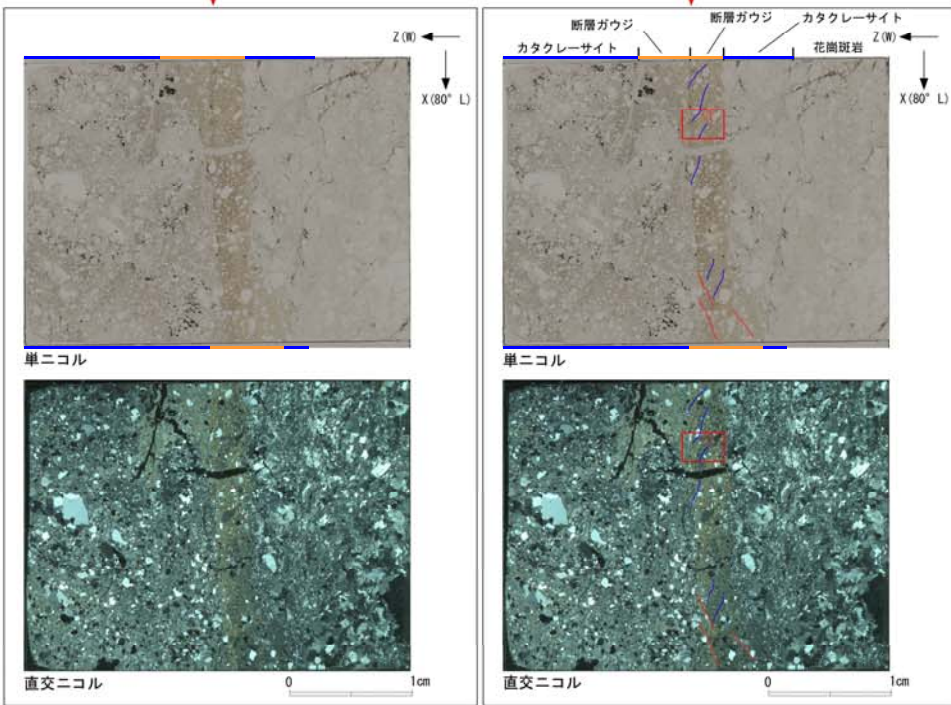
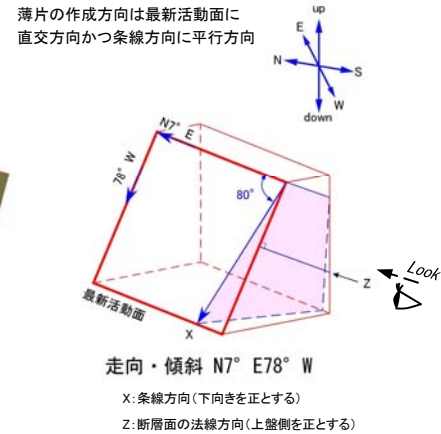
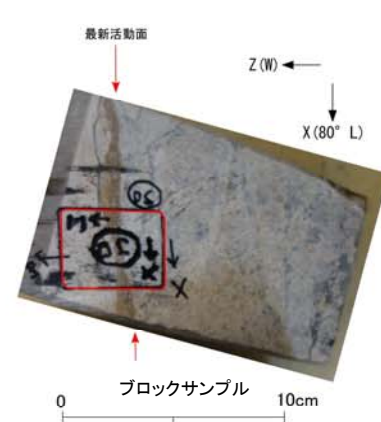
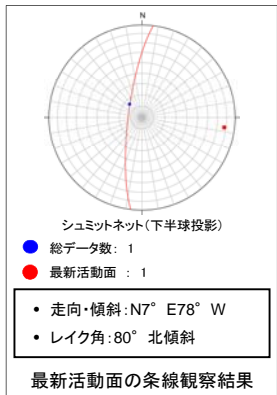
H24-B14-2のボーリングコア(深度47.40m)から採取した薄片試料の観察結果によれば最新活動面の変位センスは、右ずれを伴う逆断層である。



- 凡例
- 断層ガウジ
 - カタクレーサイト
 - R1面
 - P面

非モデル化破碎帯 薄片試料観察(H27-B-2 深度31.29m)

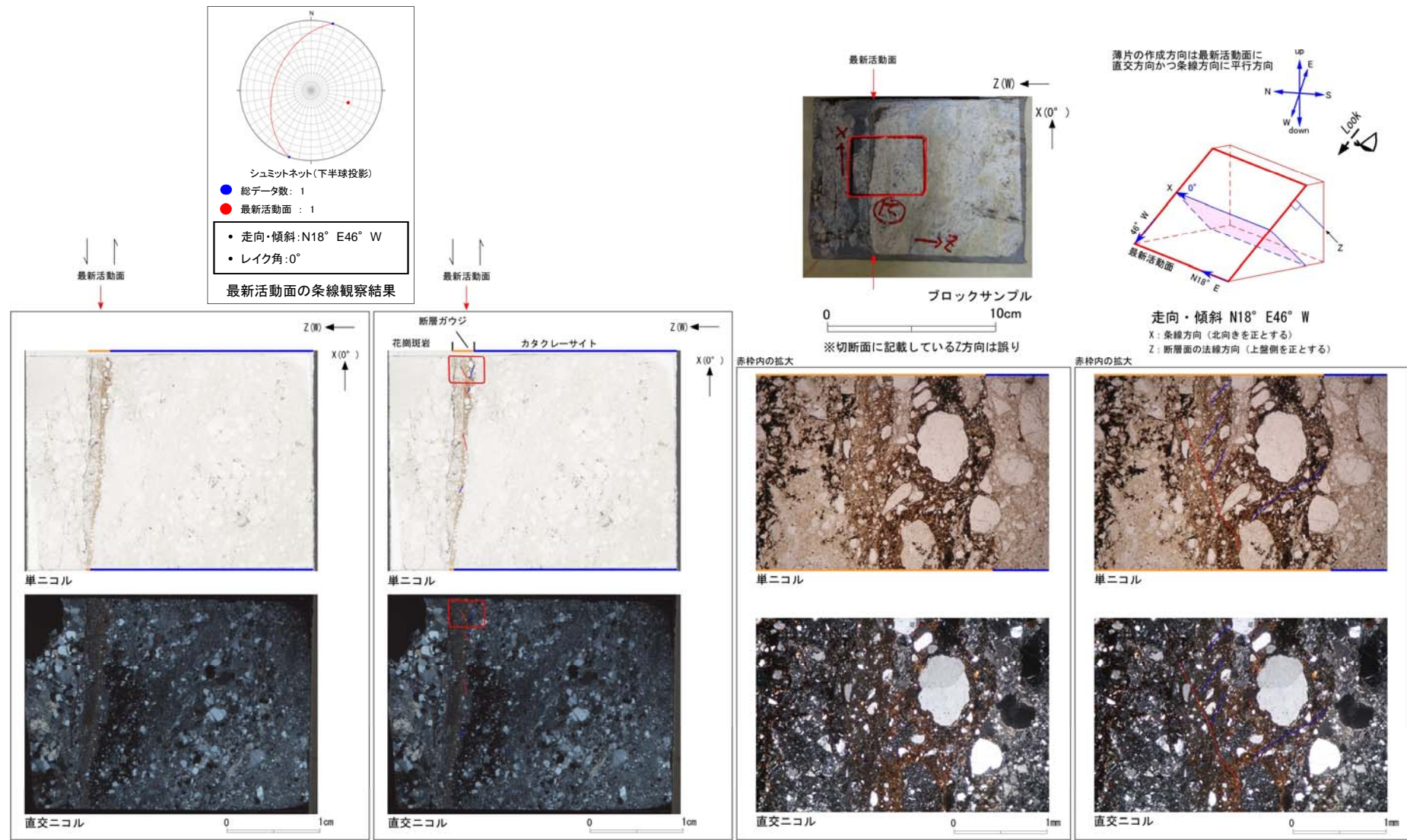
H27-B-2のボーリングコア(深度31.29m)から採取した薄片試料の観察結果によれば最新活動面の変位センスは、正断層成分が卓越する。



- 凡例
- 断層ガウジ
 - カタクレーサイト
 - R1面
 - P面

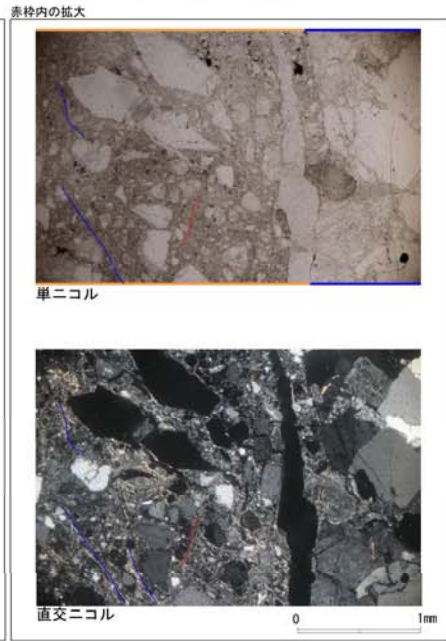
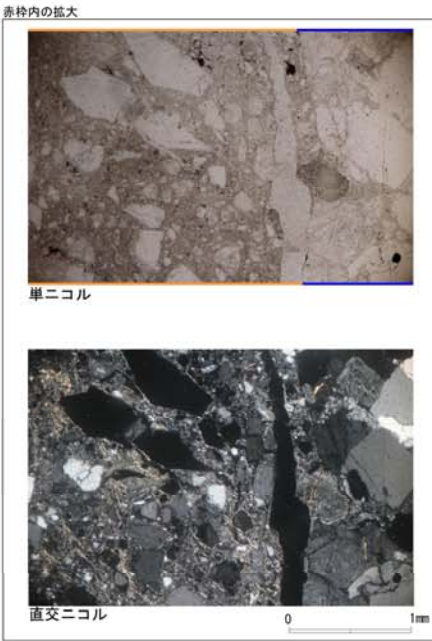
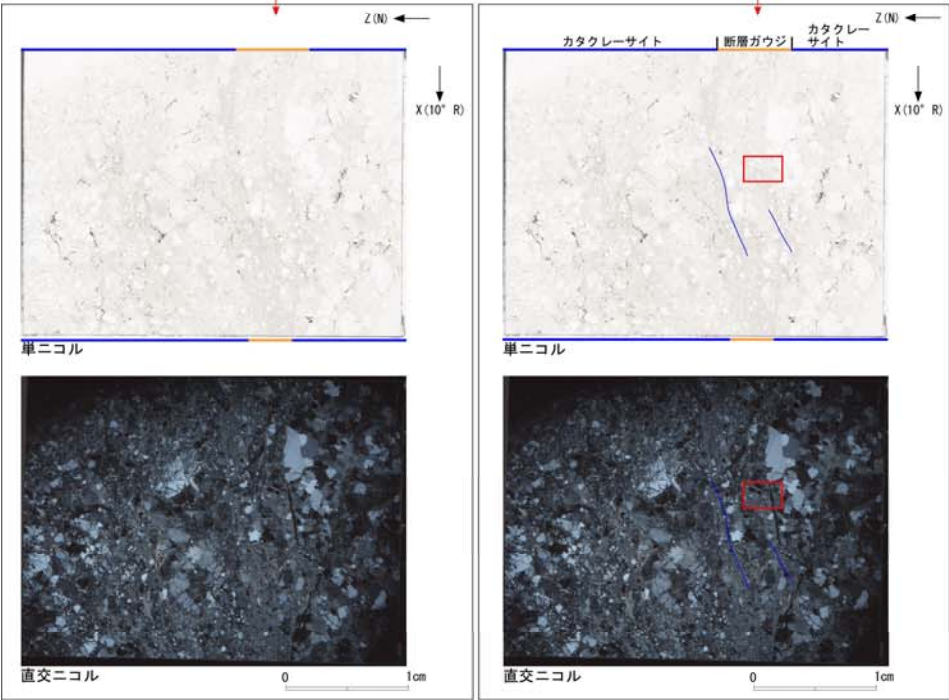
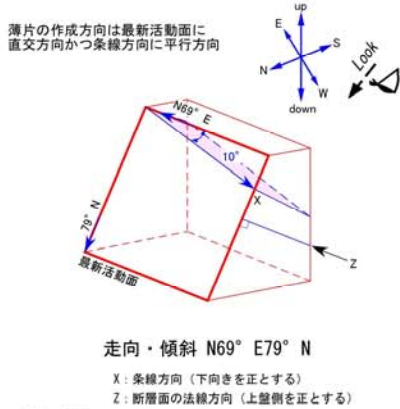
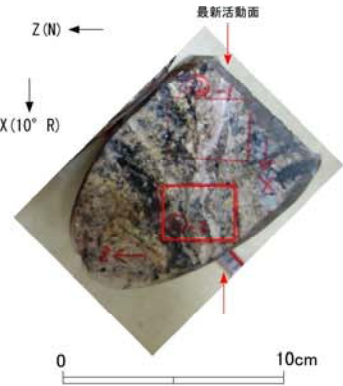
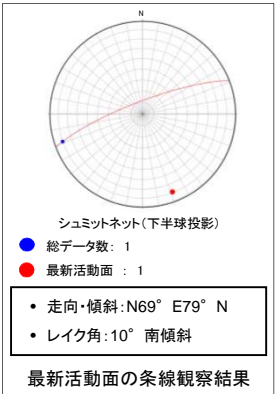
非モデル化破碎帯 薄片試料観察(H27-B-2 深度34.37m)

H27-B-2のボーリングコア(深度34.37m)から採取した薄片試料の観察結果によれば最新活動面の変位センスは、左ずれ成分が卓越する。



非モデル化破碎帯 薄片試料観察(H27-B-2 深度35.40m)

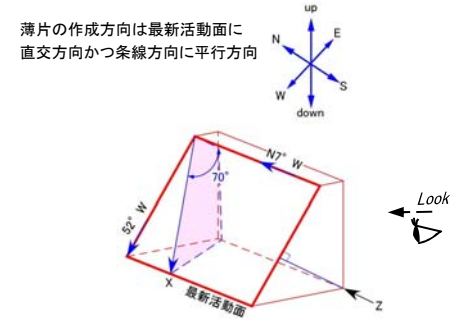
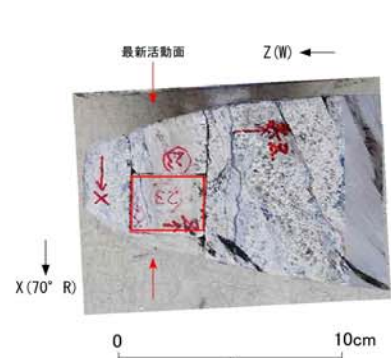
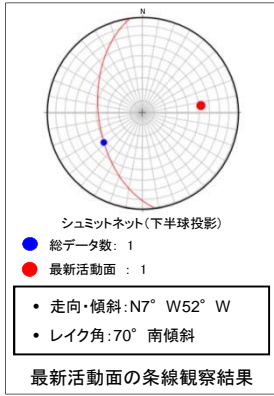
H27-B-2のボーリングコア(深度35.40m)から採取した薄片試料の観察結果によれば最新活動面の変位センスは、右ずれ成分が卓越する。



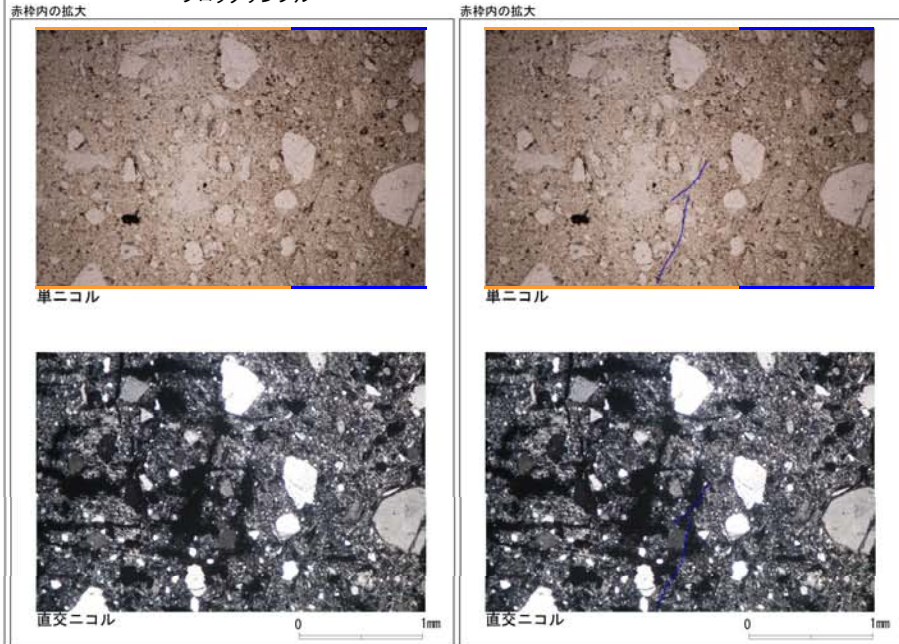
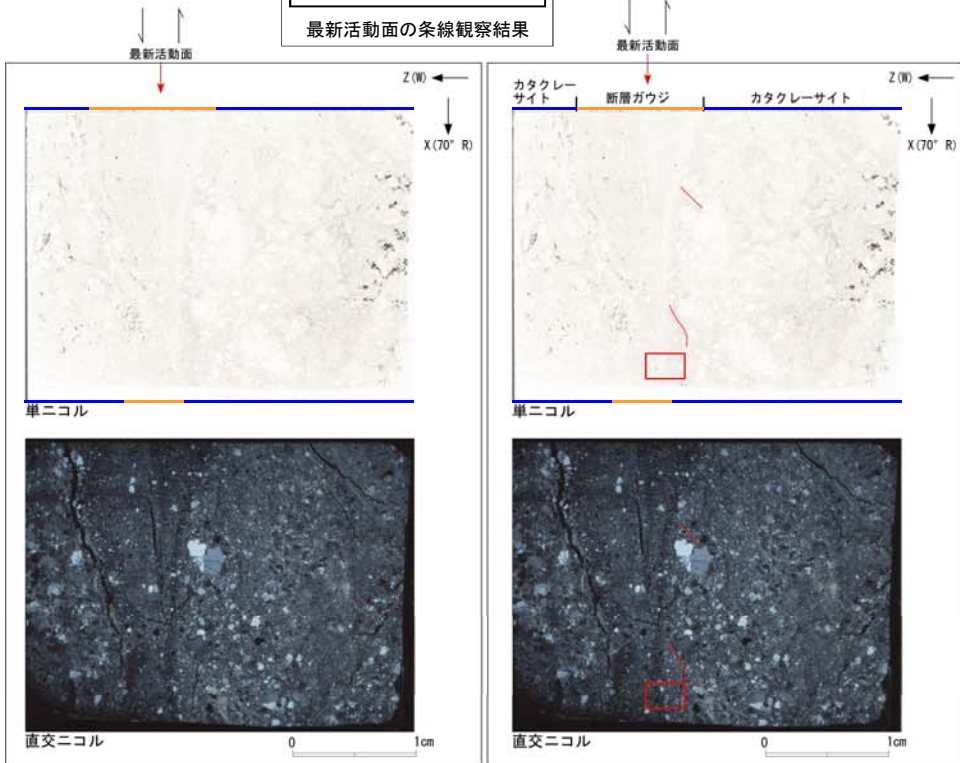
- 凡例
- 断層ガウジ
 - カタクレーサイト
 - R1面
 - P面

非モデル化破碎帯 薄片試料観察(H27-B-2 深度35.73m)

H27-B-2のボーリングコア(深度35.73m)から採取した薄片試料の観察結果によれば最新活動面の変位センスは、正断層成分が卓越する。



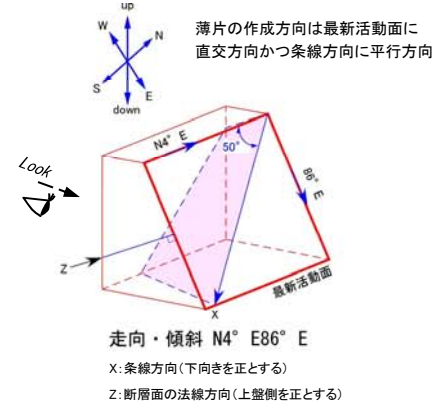
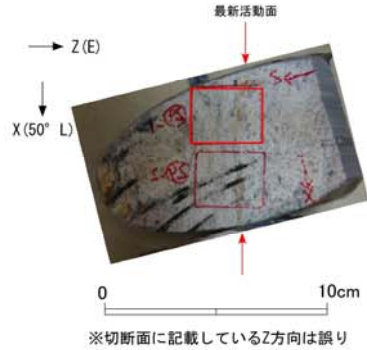
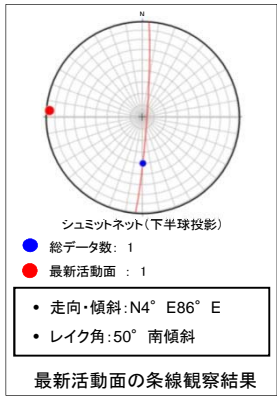
※切断面に記載しているZ方向は誤り。
 ブロックサンプル



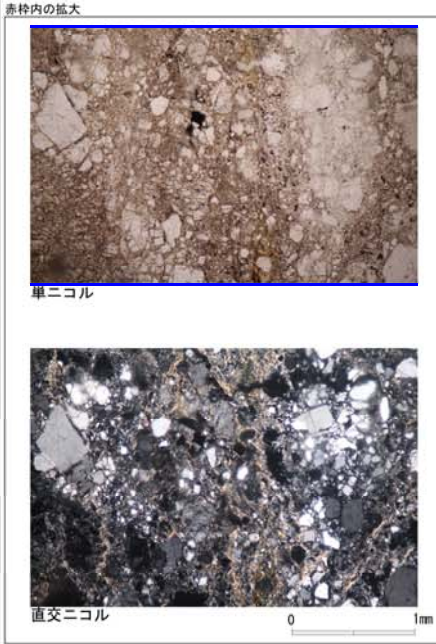
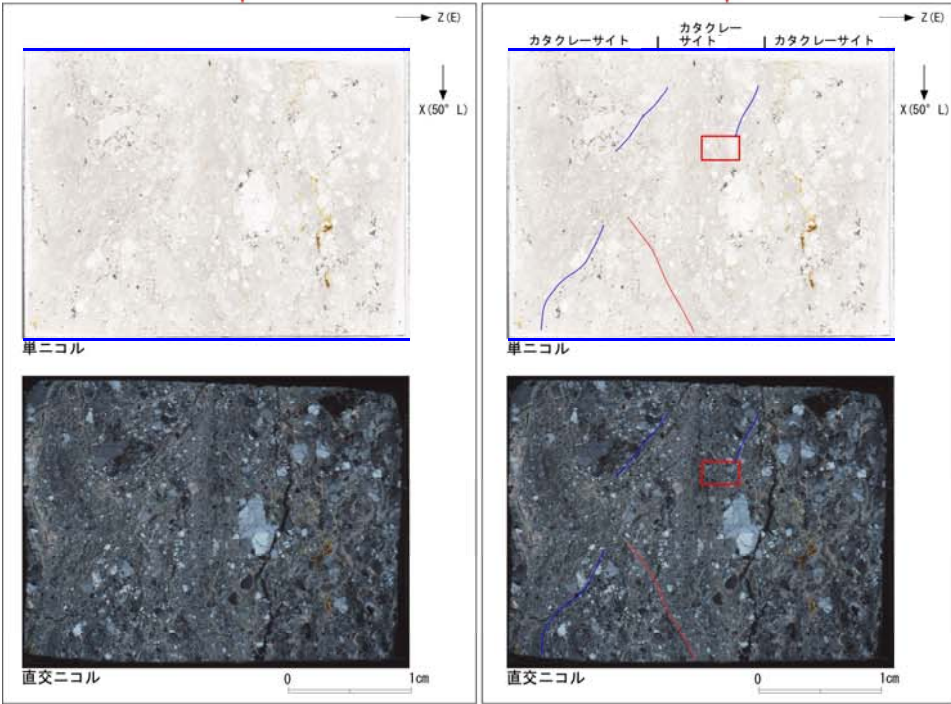
- 凡例
- 断層ガウジ
 - カタクレーサイト
 - R1面
 - P面

非モデル化破碎帯 薄片試料観察(H27-B-2 深度35.92m)

H27-B-2のボーリングコア(深度35.92m)から採取した薄片試料の観察結果によれば最新活動面の変位センスは、左ずれを伴う逆断層である。



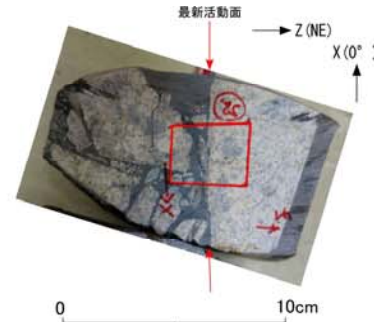
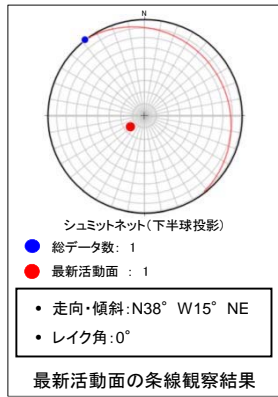
ブロックサンプル



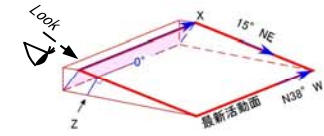
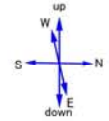
- 凡例
- 断層ガウジ
 - カタクレーサイト
 - R1面
 - P面

非モデル化破碎帯 薄片試料観察(H27-B-2 深度48.12m)

H27-B-2のボーリングコア(深度48.12m)から採取した薄片試料の観察結果によれば最新活動面の変位センスは、右ずれ成分が卓越する。



薄片の作成方向は最新活動面に直交方向かつ条線方向に平行方向



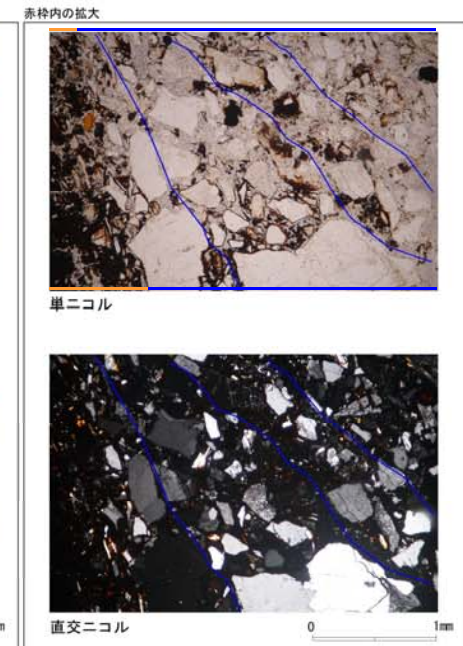
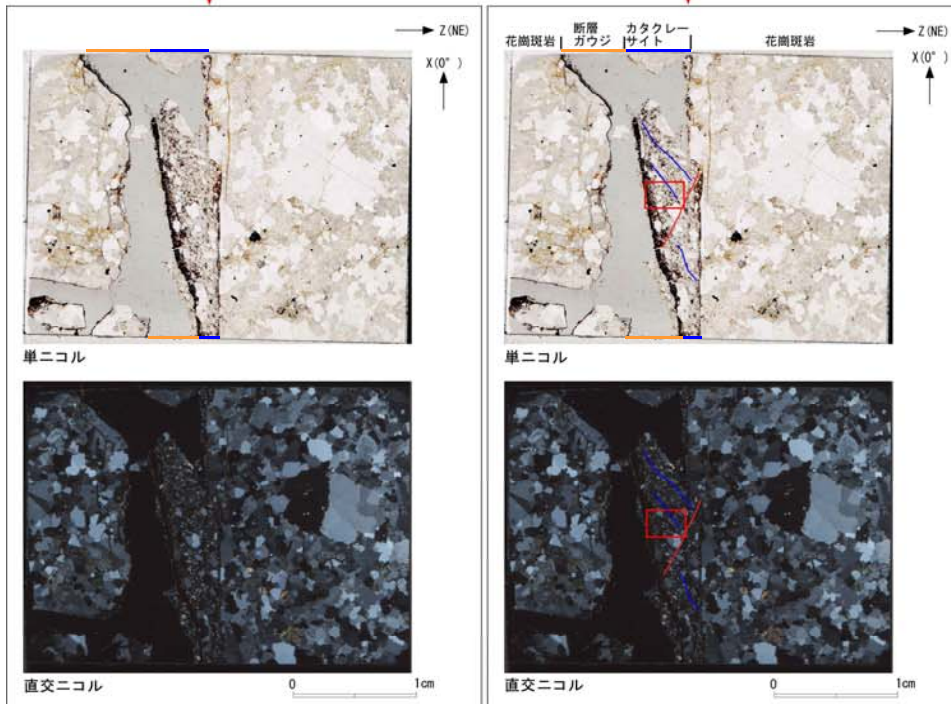
走向・傾斜 N38° W15° NE

※切断面に記載されているX方向は誤り

ブロックサンプル

X: 条線方向(北向きを正とする)

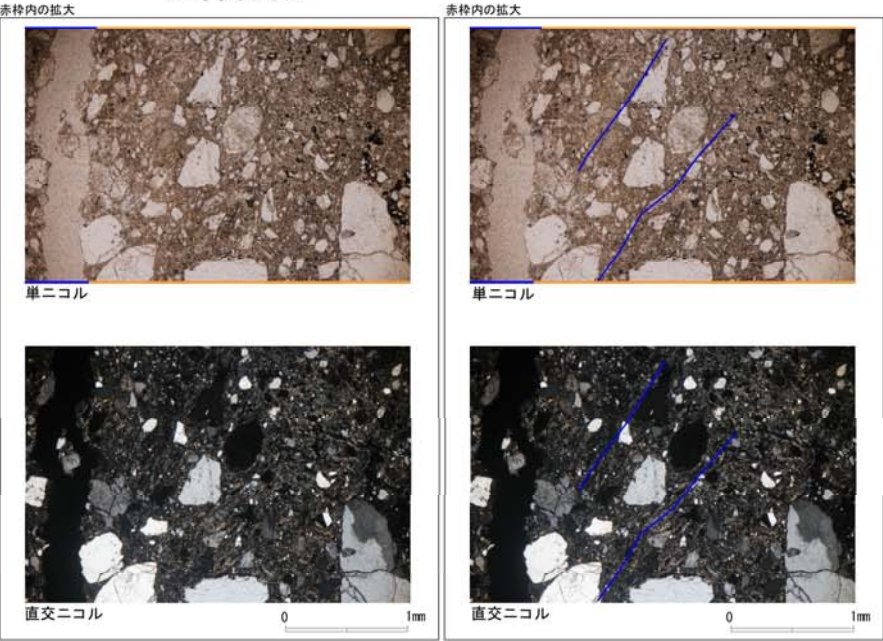
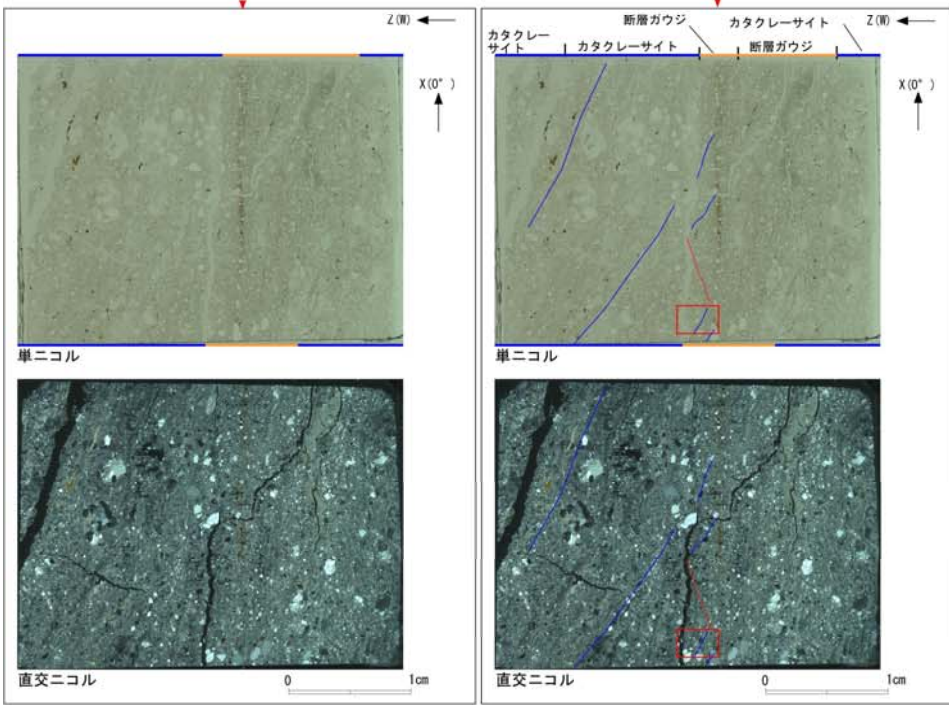
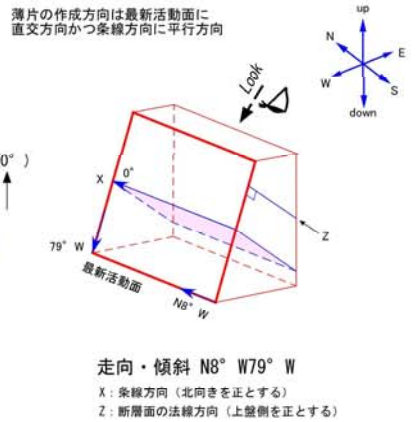
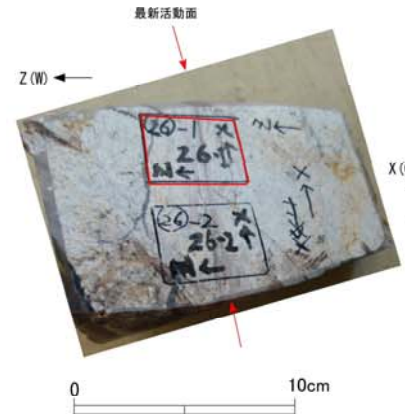
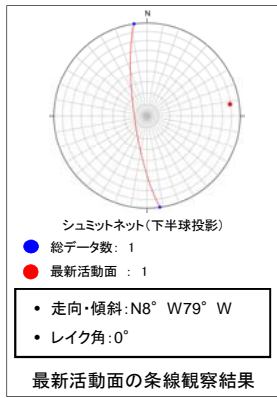
Z: 断層面の法線方向(上盤側を正とする)



- 凡例
- 断層ガウジ
 - カタクレーサイト
 - R1面
 - P面

非モデル化破碎帯 薄片試料観察(H27-B-2 深度54.77m)

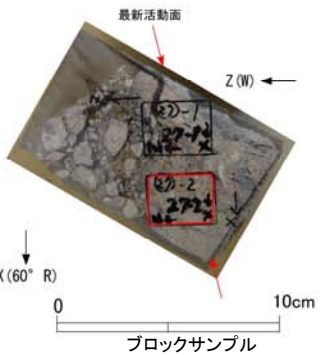
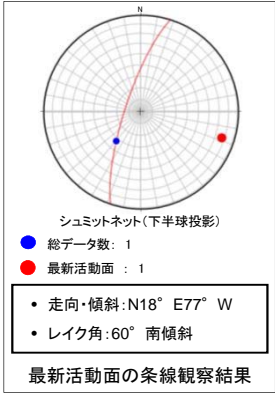
H27-B-2のボーリングコア(深度54.77m)から採取した薄片試料の観察結果によれば最新活動面の変位センスは、左ずれ成分が卓越する。



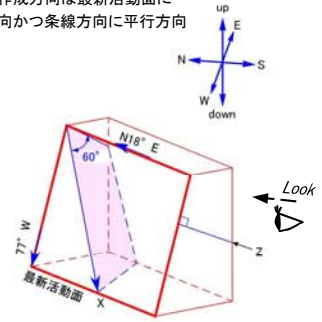
- 凡例
- 断層ガウジ
 - カタクレーサイト
 - R1面
 - P面

非モデル化破碎帯 薄片試料観察(H27-B-2 深度60.58m)

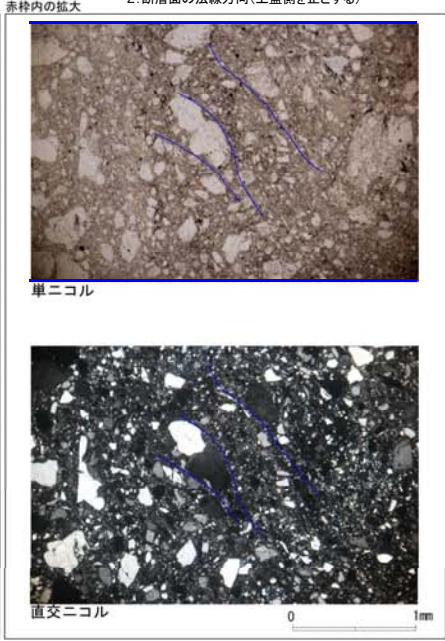
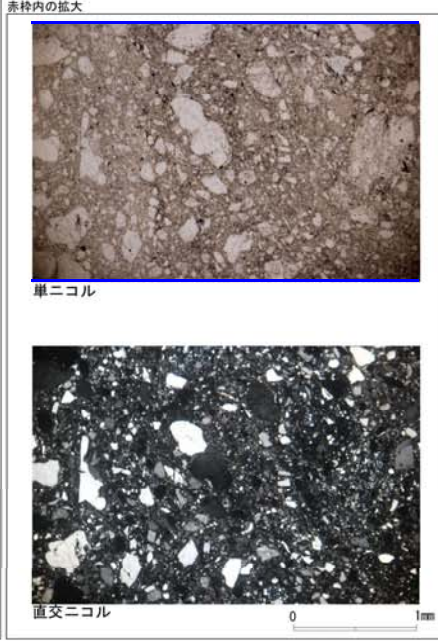
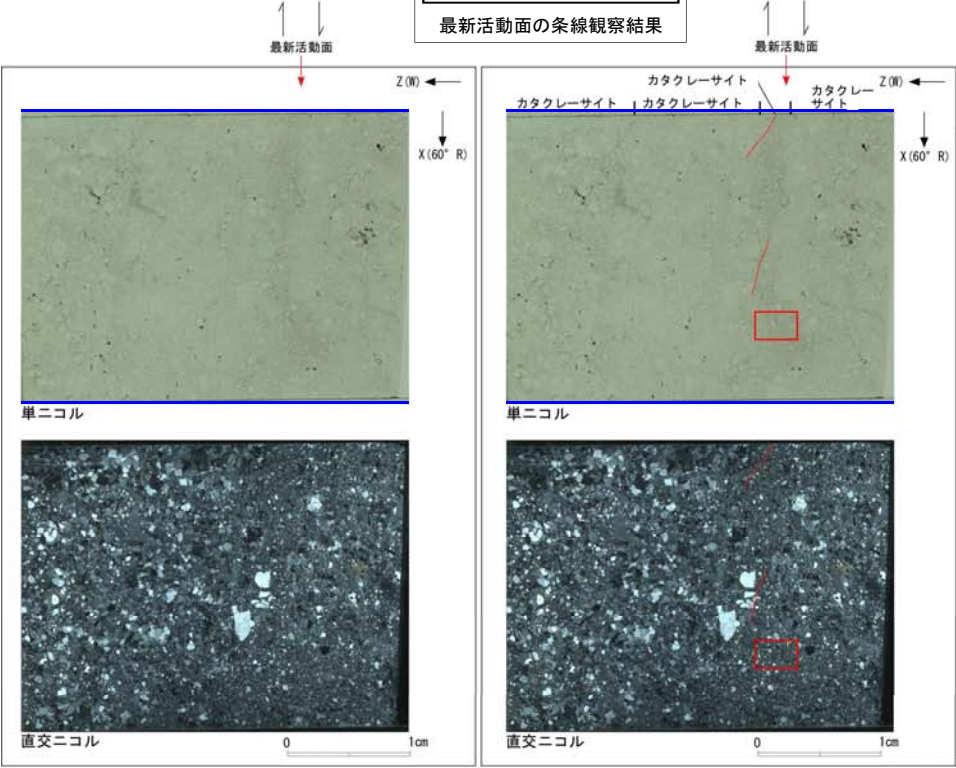
H27-B-2のボーリングコア(深度60.58m)から採取した薄片試料の観察結果によれば最新活動面の変位センスは、右ずれを伴う逆断層である。



薄片の作成方向は最新活動面に直交方向かつ条線方向に平行方向



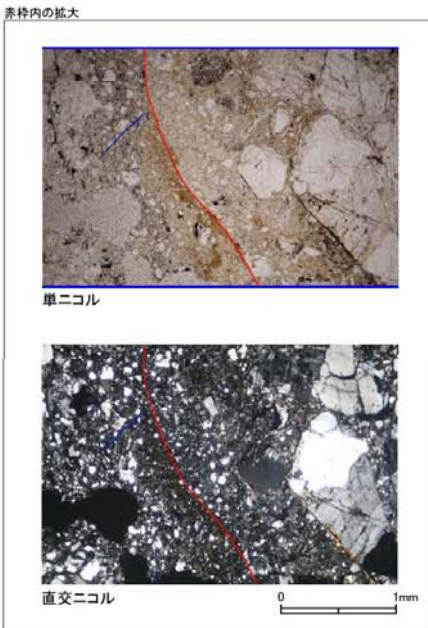
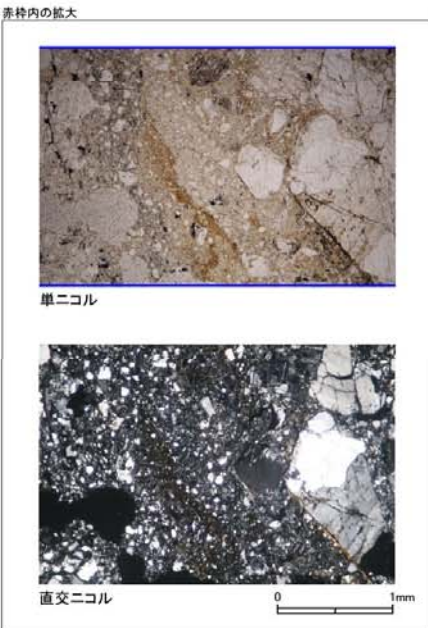
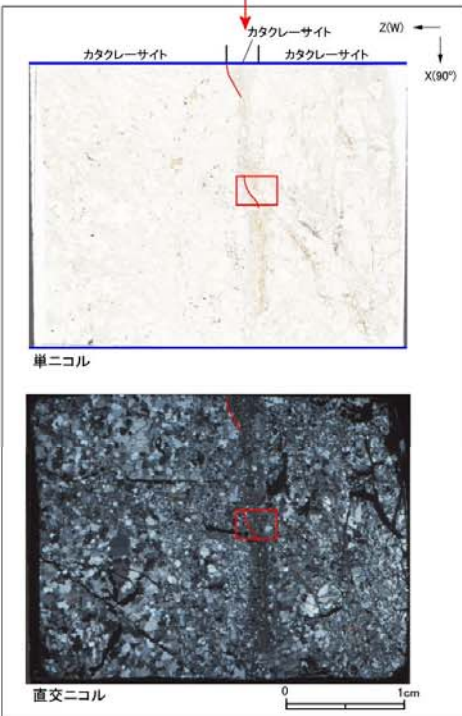
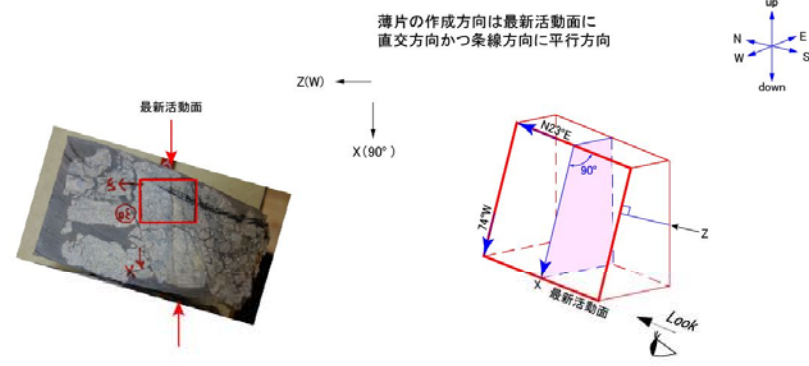
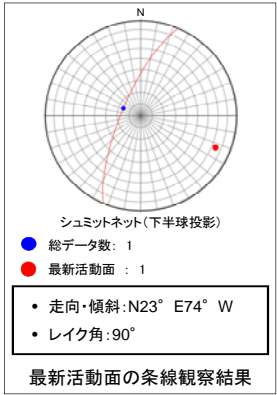
走向・傾斜 N18° E77° W
X: 条線方向(下向きを正とする)
Z: 断層面の法線方向(上盤側を正とする)



- 凡例
- 断層ガウジ
 - カタクレーサイト
 - R1面
 - P面

非モデル化破碎部 薄片試料観察(H27-B-2 深度68.05m)

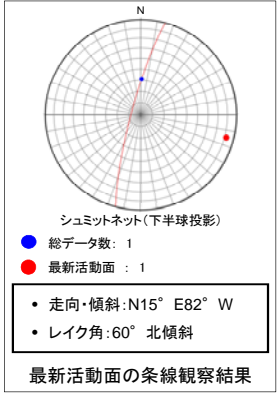
H27-B-2のボーリングコア(深度68.05m)から採取した薄片試料の観察結果によれば最新活動面の変位センスは、正断層成分が卓越する。



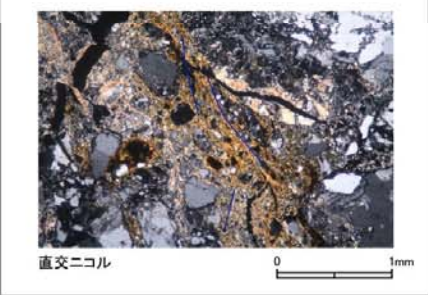
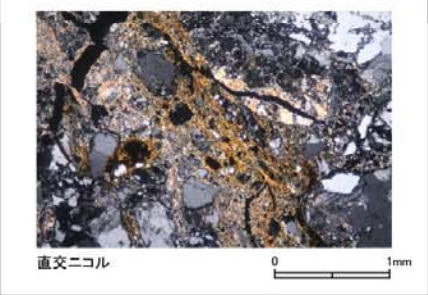
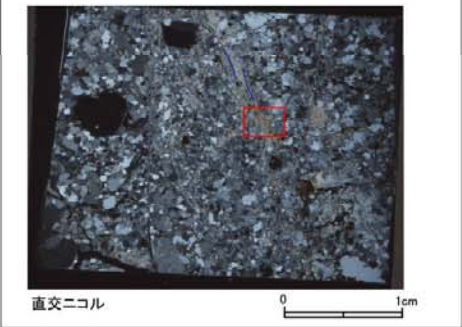
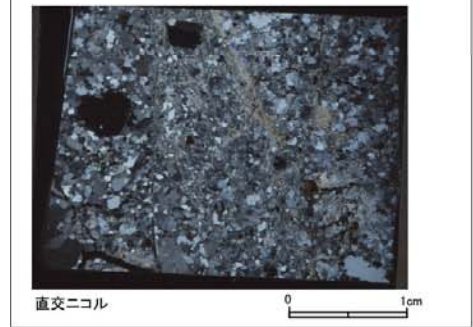
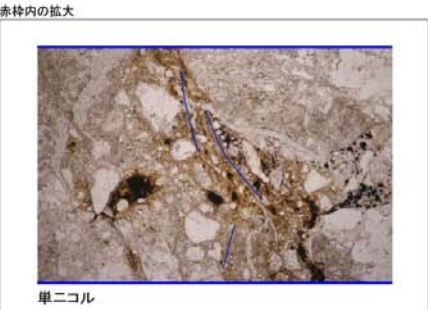
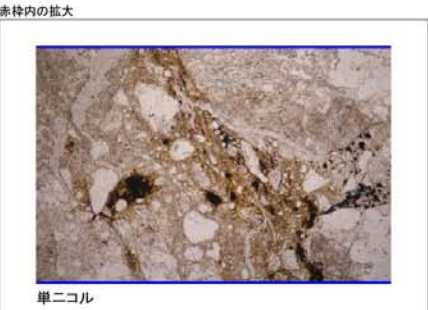
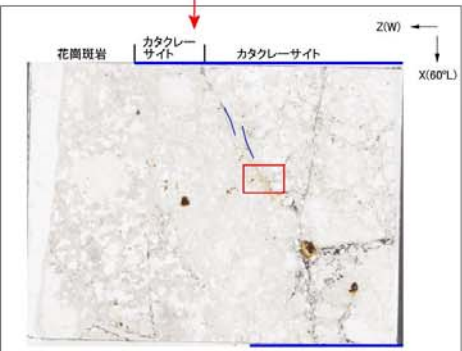
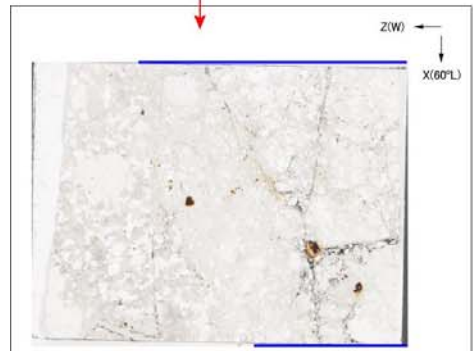
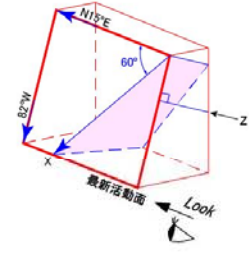
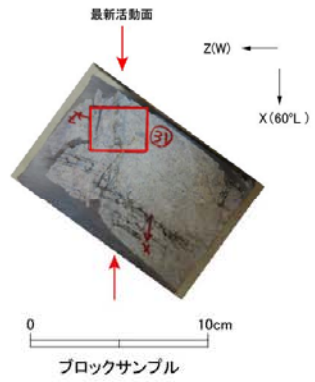
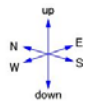
- 凡例
- 断層ガウジ
 - カタクレーサイト
 - R1面
 - P面

非モデル化破碎部 薄片試料観察(H27-B-2 深度85.63m)

H27-B-2のボーリングコア(深度85.63m)から採取した薄片試料の観察結果によれば最新活動面の変位センスは、右ずれを伴う正断層である。



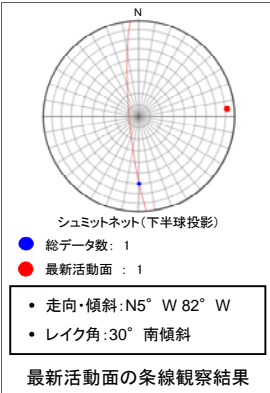
薄片の作成方向は最新活動面に
直交方向かつ糸線方向に平行方向



- 凡例
- 断層ガウジ
 - カタクレーサイト
 - R1面
 - P面

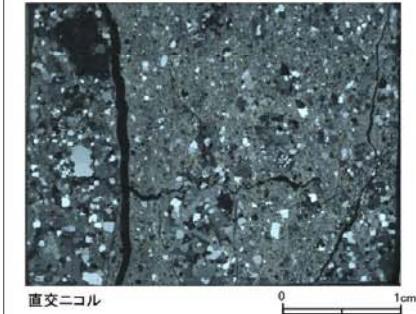
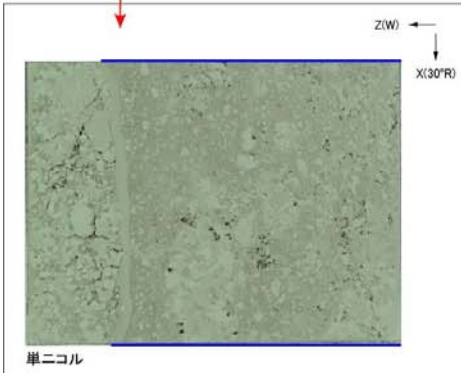
非モデル化破碎部 薄片試料観察(H27-B-2 深度91.70m)

H27-B-2のボーリングコア(深度91.70m)から採取した薄片試料の観察結果によれば最新活動面の変位センスは、右ずれを伴う逆断層である。

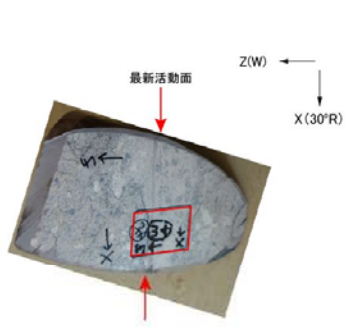
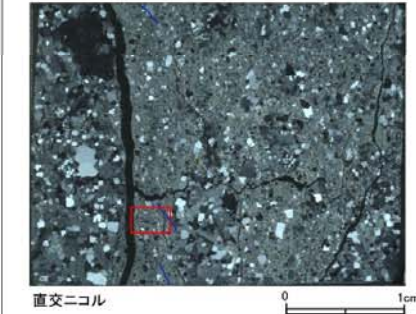


最新活動面

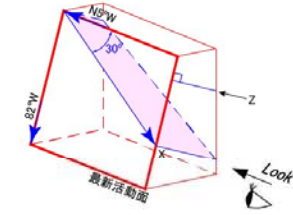
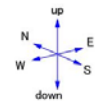
最新活動面の条線観察結果



最新活動面

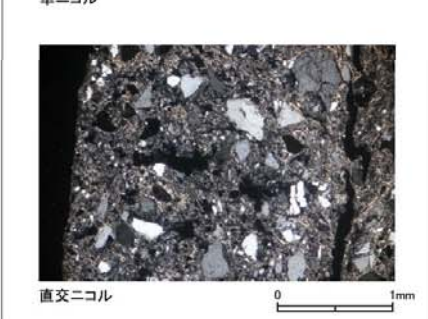
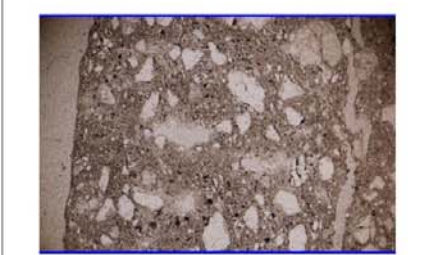


薄片の作成方向は最新活動面に
直交方向かつ条線方向に平行方向

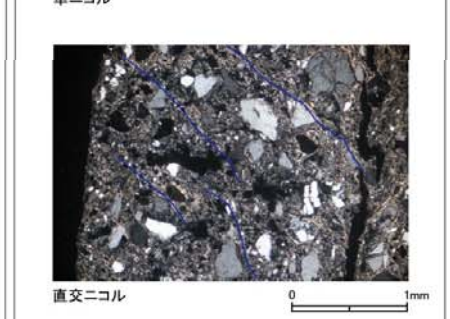
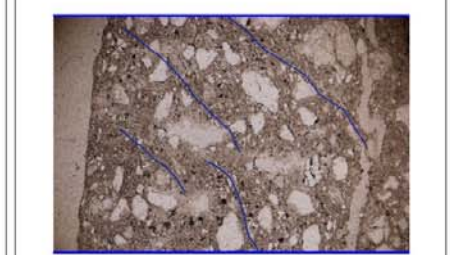


走向・傾斜 N5° W 82° W
X: 条線方向(下向きを正とする)
Z: 断層面の法線方向(上登側を正とする)

赤枠内の拡大



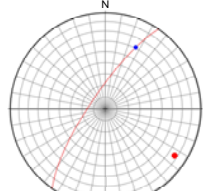
赤枠内の拡大



- 凡例
- 断層ガウジ
 - カタクレーサイト
 - R1面
 - P面

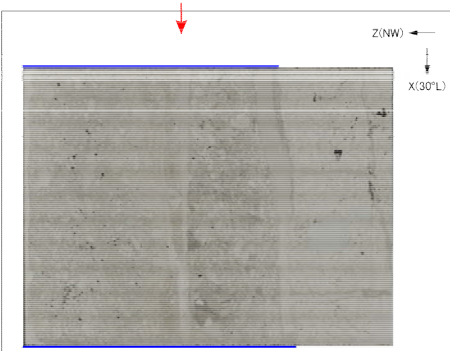
非モデル化破碎部 薄片試料観察(H27-B-2 深度120.65m)

H27-B-2のボーリングコア(深度120.65m)から採取した薄片試料の観察結果によれば最新活動面の変位センスは、左ずれを伴う逆断層である。

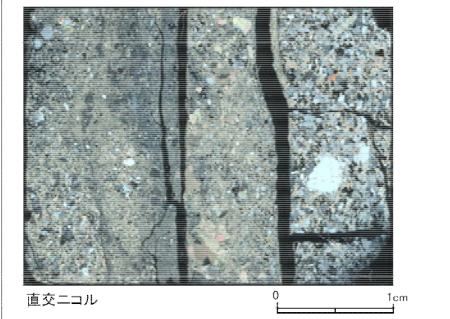


シュミットネット(下半球投影)
 ● 総データ数: 1
 ● 最新活動面: 1
 • 走向・傾斜: N34° E77° NW
 • レイク角: 30° 北傾斜

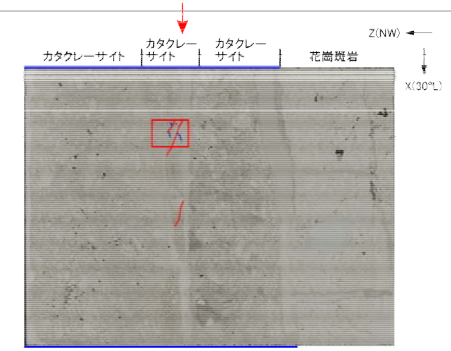
最新活動面の条線観察結果



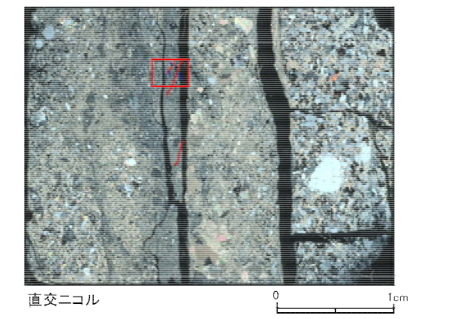
単ニコル



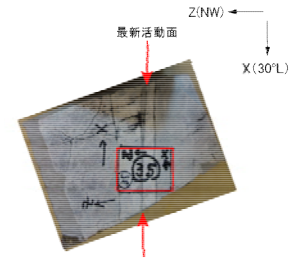
直交ニコル



単ニコル



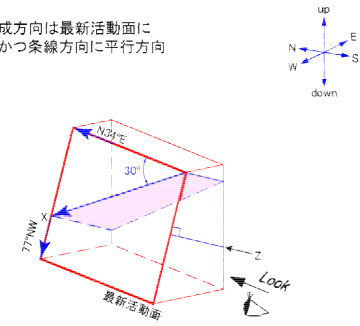
直交ニコル



0 10cm

ブロックサンプル
 ※切断面に記載されているX方向は誤り

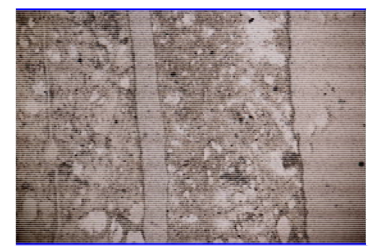
薄片の作成方向は最新活動面に
 直交方向かつ条線方向に平行方向



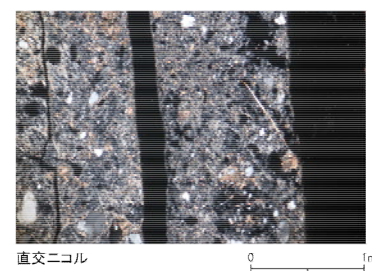
走向・傾斜 N34°E 77°NW

X: 条線方向(下向きを正とする)
 Z: 断層面の法線方向(上向きを正とする)

赤枠内の拡大

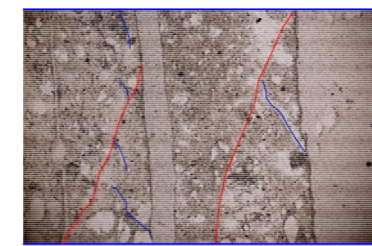


単ニコル

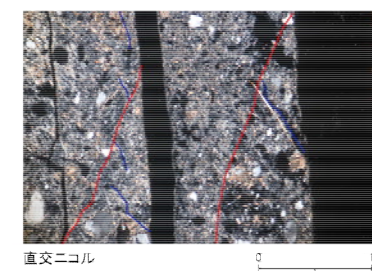


直交ニコル

赤枠内の拡大



単ニコル

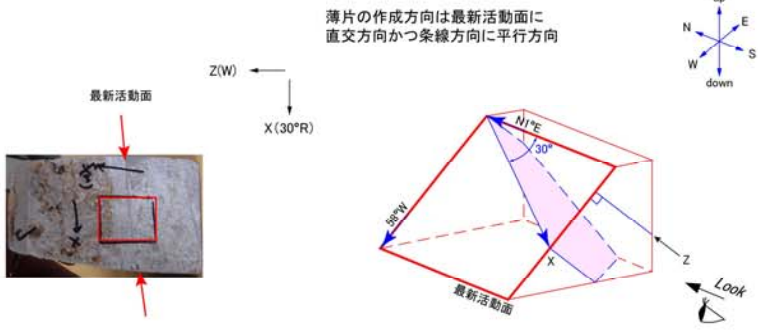
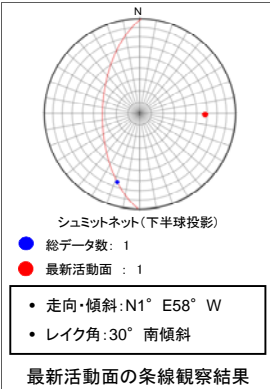


直交ニコル

- 凡例
- 断層ガウジ
 - カタクレーサイト
 - R1面
 - P面

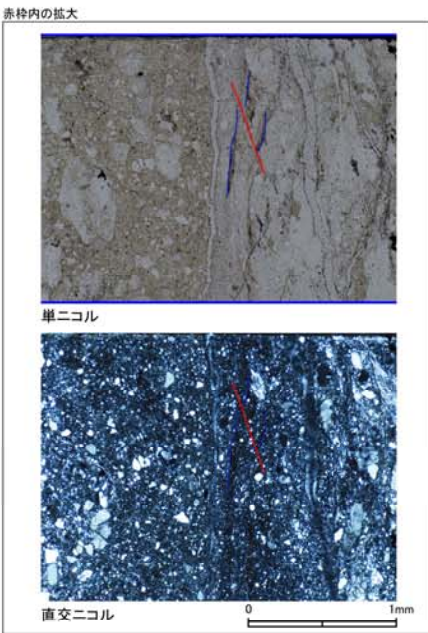
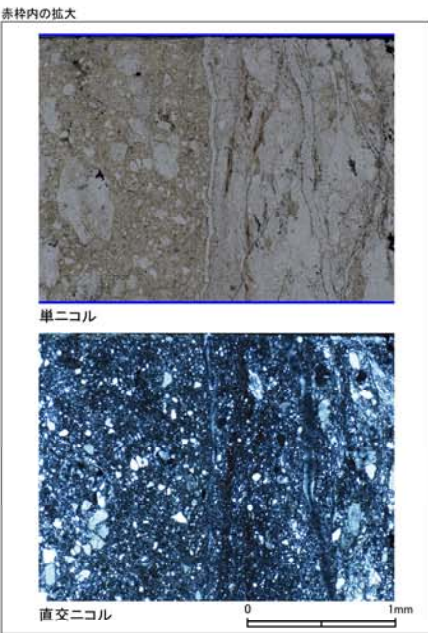
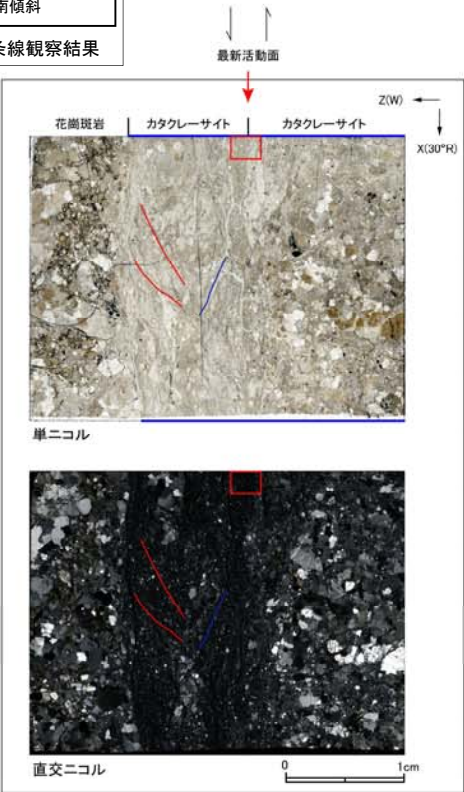
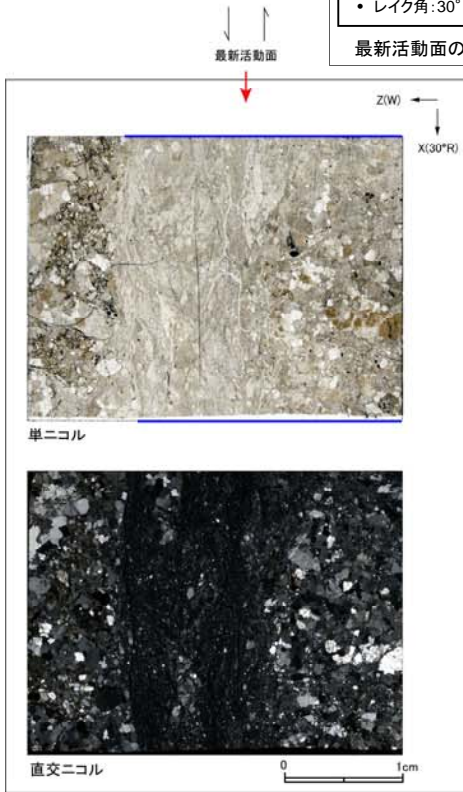
非モデル化破碎部 薄片試料観察(H24-D1-1 深度47.65m)

H24-D1-1のボーリングコア(深度47.65m)から採取した薄片試料の観察結果によれば最新活動面の変位センスは、左ずれを伴う正断層である。



0 10cm
ブロックサンプル

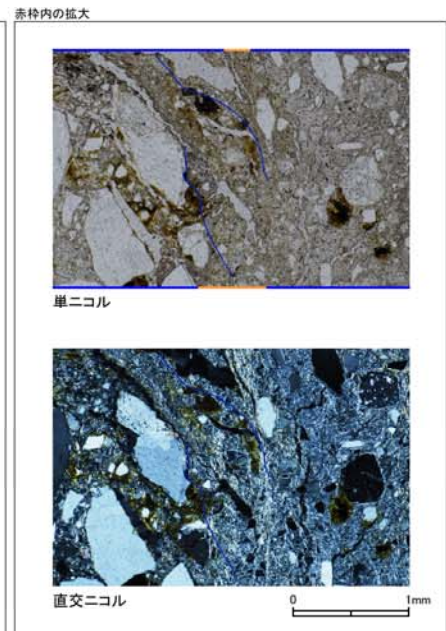
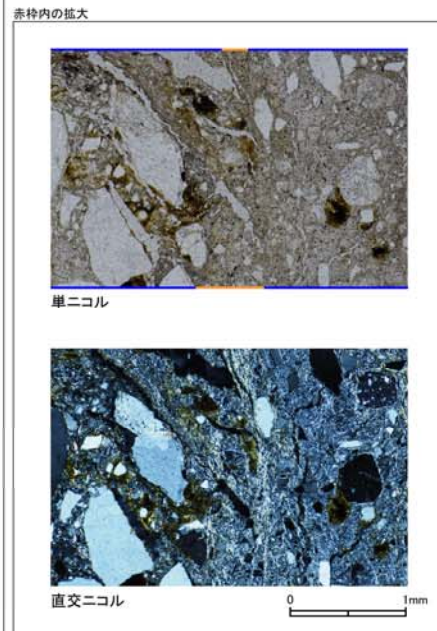
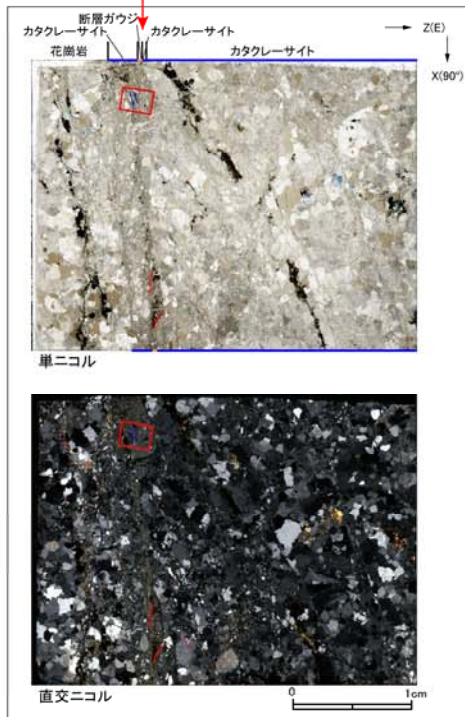
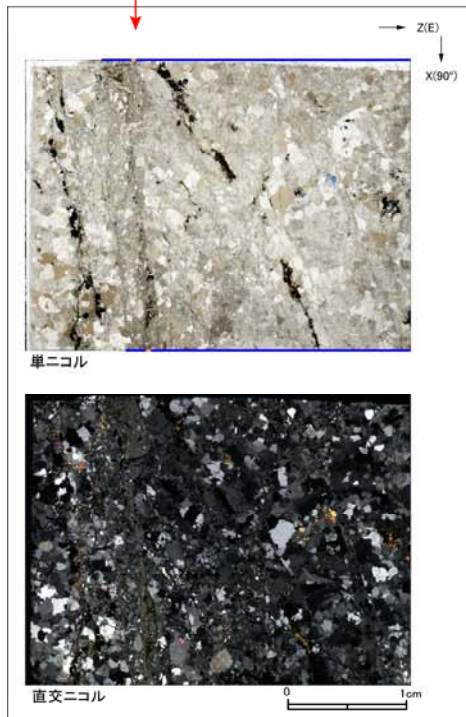
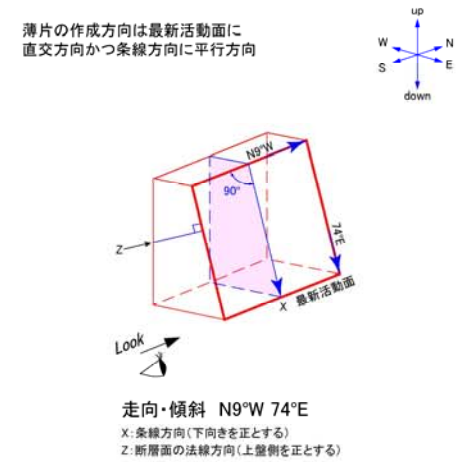
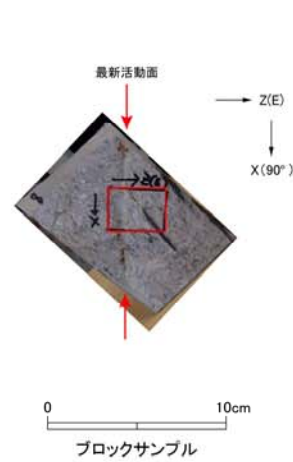
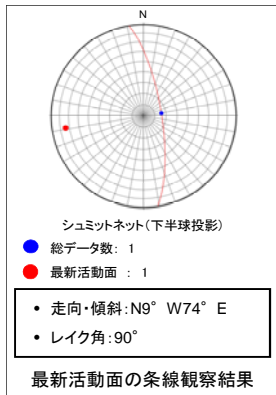
走向・傾斜 N1°E 58°W
X: 条線方向(下向きを正とする)
Z: 断層面の法線方向(上盤側を正とする)



- 凡例
- 断層ガウジ
 - カタクレーサイト
 - R1面
 - P面

非モデル化破碎部 薄片試料観察(H24-D1-1 深度49.84m)

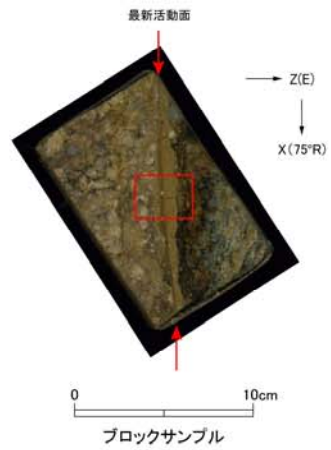
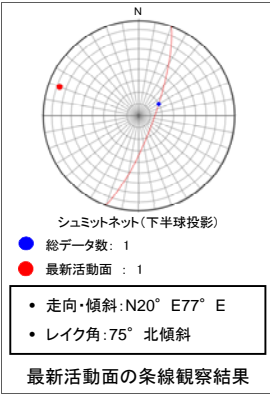
H24-D1-1のボーリングコア(深度49.84m)から採取した薄片試料の観察結果によれば最新活動面の変位センスは、正断層成分が卓越する。



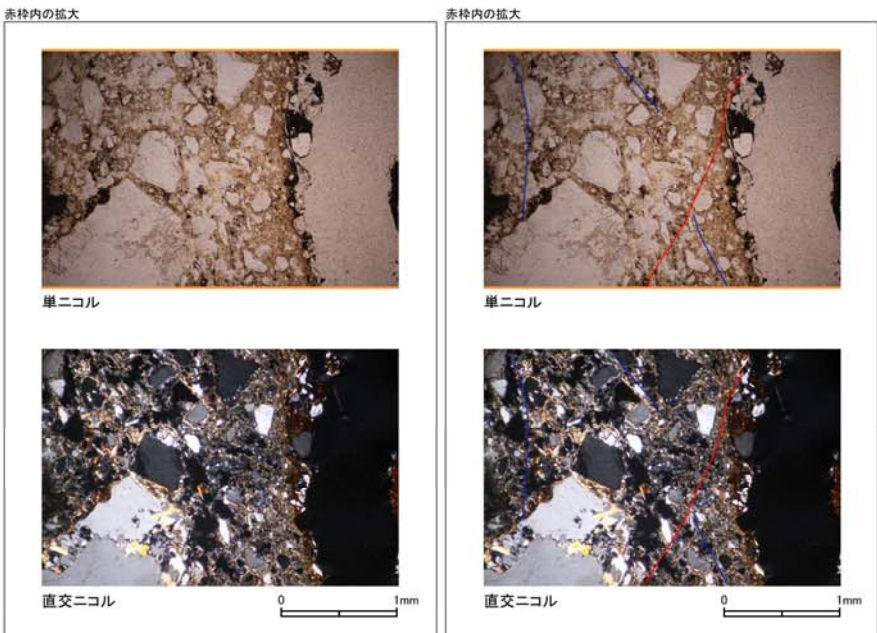
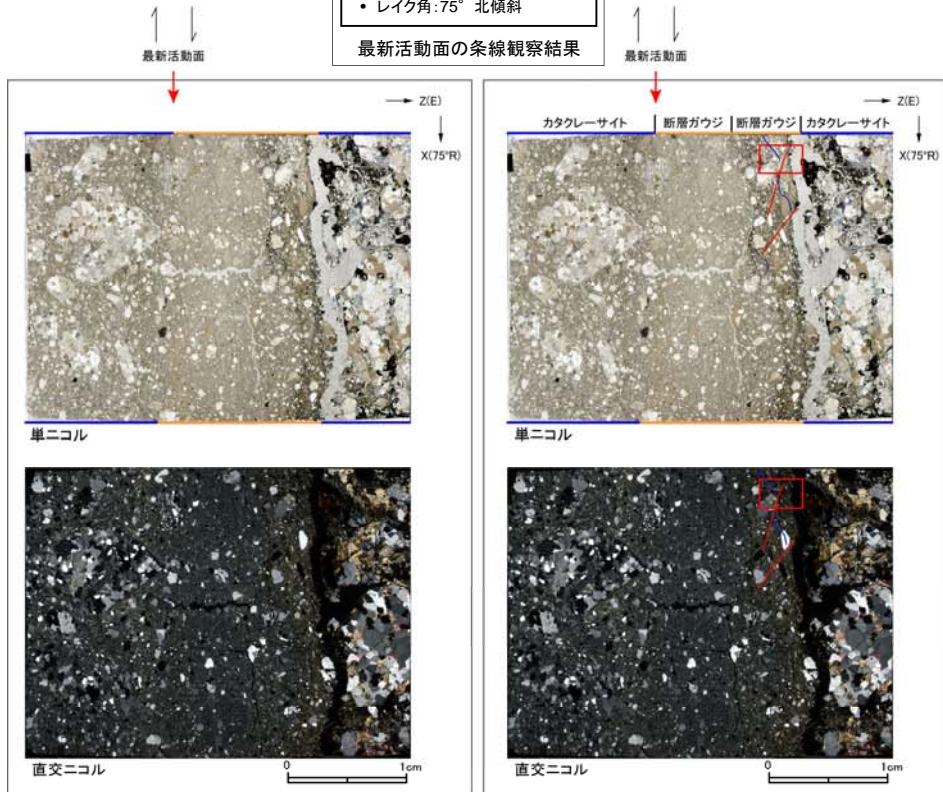
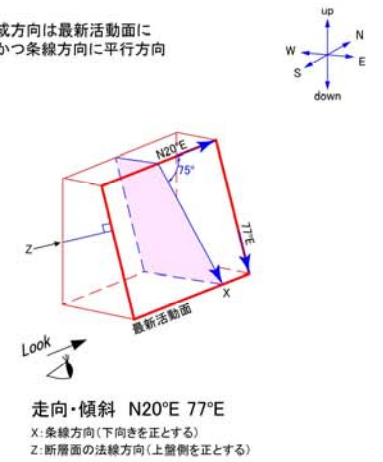
- 凡例
- 断層ガウジ
 - カタクレーサイト
 - R1面
 - P面

非モデル化破碎部 薄片試料観察(H24-D1-1 深度53.77m)

H24-D1-1のボーリングコア(深度53.77m)から採取した薄片試料の観察結果によれば最新活動面の変位センスは、正断層成分が卓越する。



薄片の作成方向は最新活動面に
直交方向かつ条線方向に平行方向

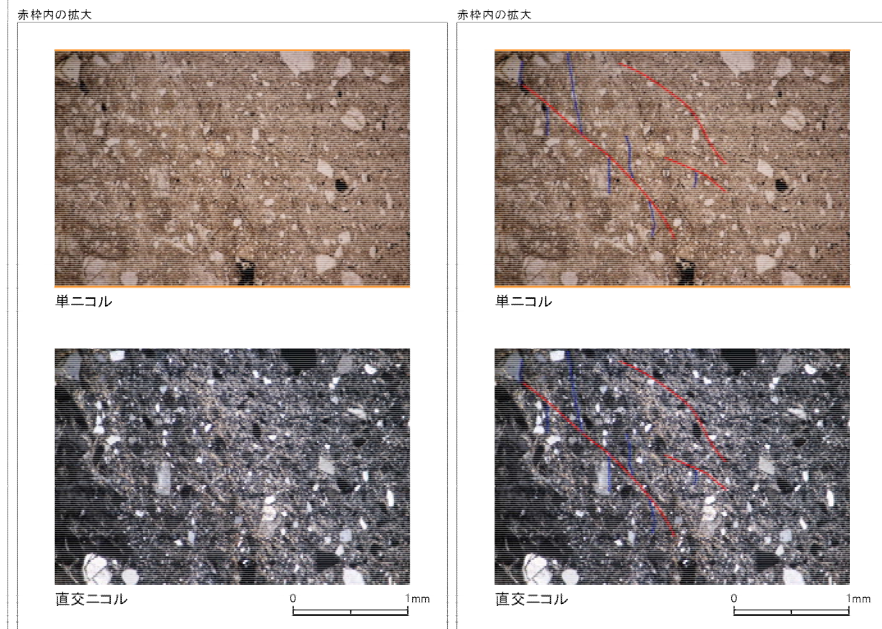
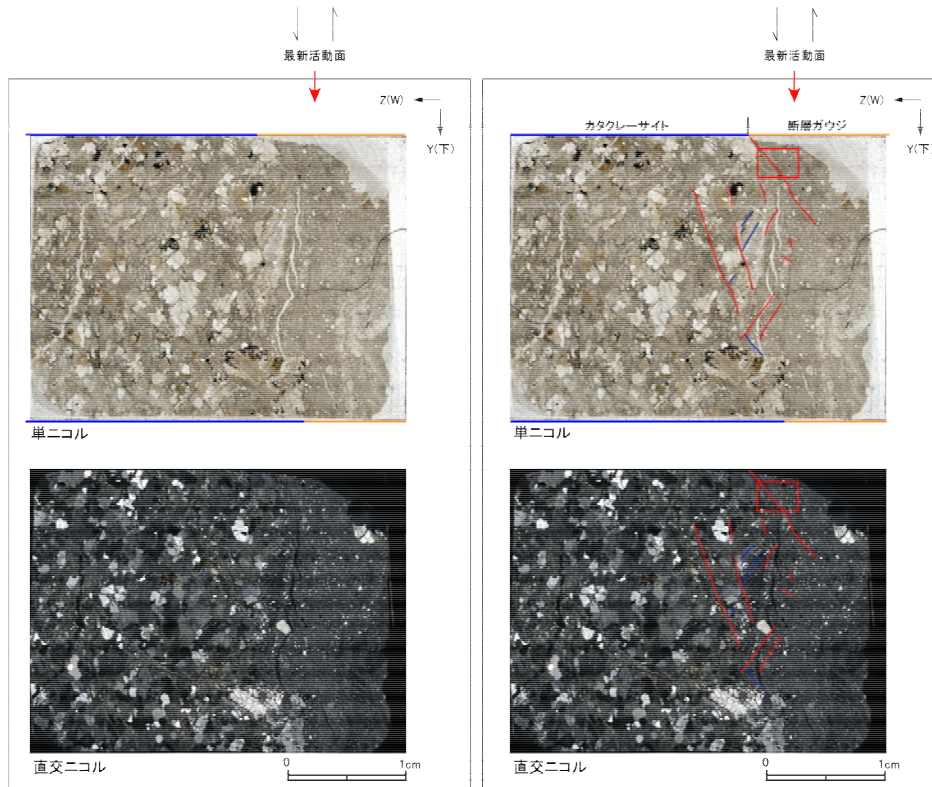
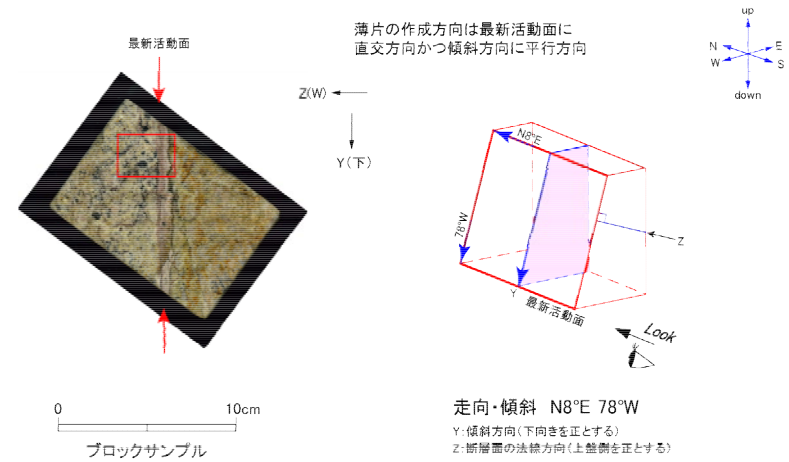


- 凡例
- 断層ガウジ
 - カタクレーサイト
 - R1面
 - P面

非モデル化破碎部 薄片試料観察(H24-D1-1 深度59.16m)

H24-D1-1のボーリングコア(深度59.16m)から採取した薄片試料の観察結果によれば最新活動面の変位センスは、正断層成分が卓越する。

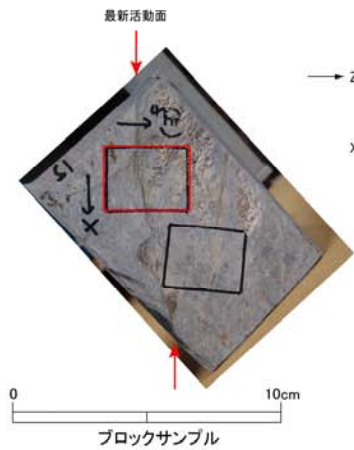
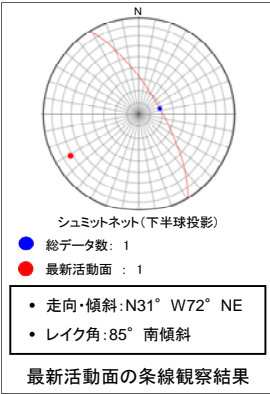
条線データなし



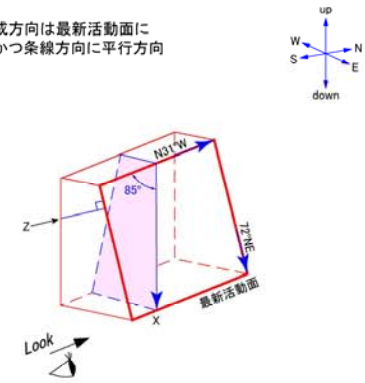
- 凡例
- 断層ガウジ
 - カタクレーサイト
 - R1面
 - P面

非モデル化破碎部 薄片試料観察(H24-D1-1 深度68.93m)

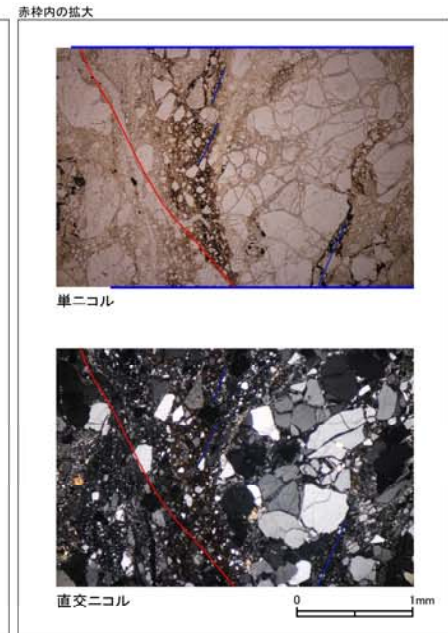
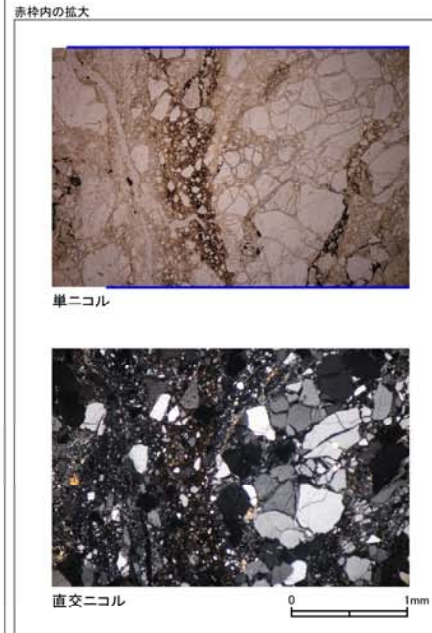
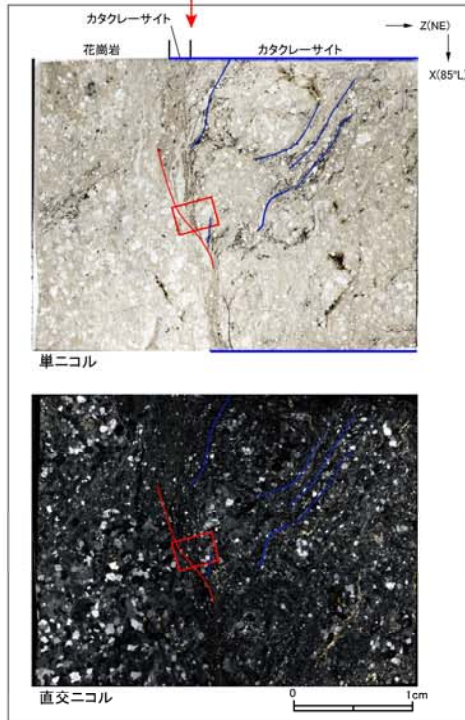
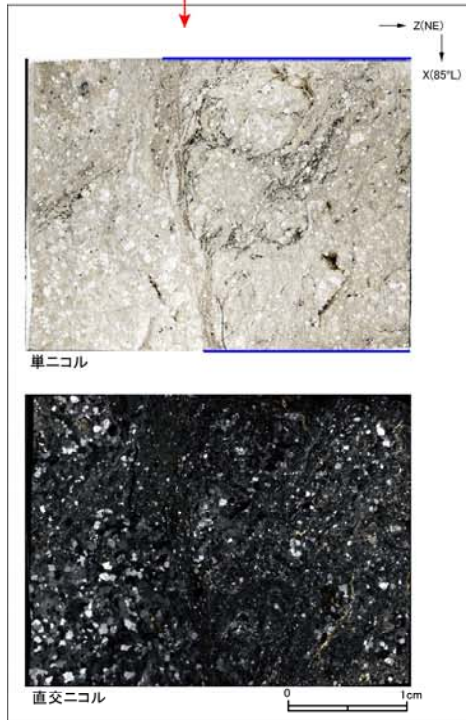
H24-D1-1のボーリングコア(深度68.93m)から採取した薄片試料の観察結果によれば最新活動面の変位センスは、逆断層成分が卓越する。



薄片の作成方向は最新活動面に
直交方向かつ条線方向に平行方向



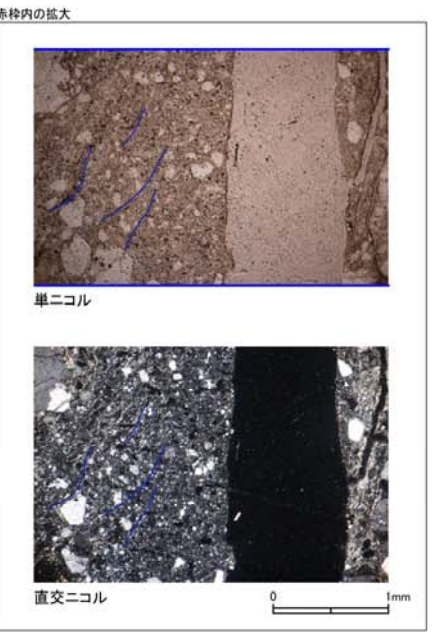
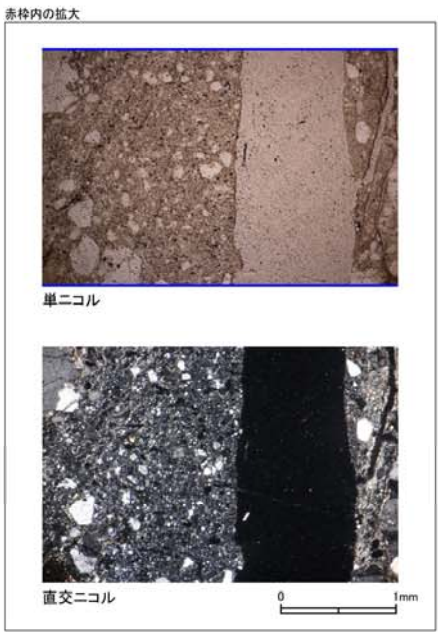
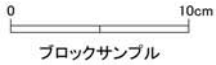
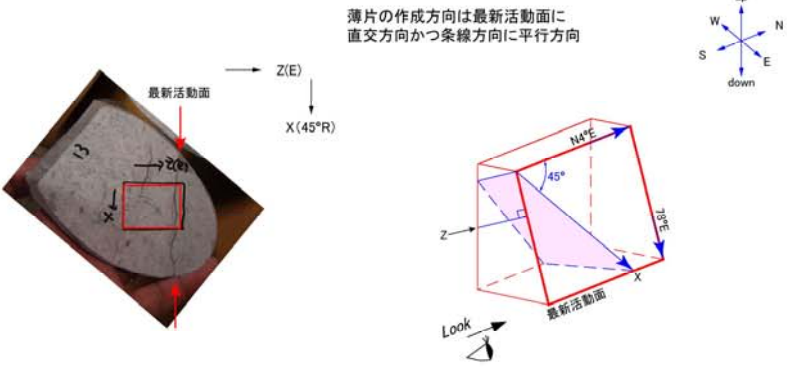
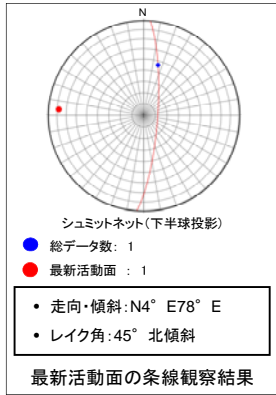
走向・傾斜 N31°W 72°NE
X: 条線方向(下向きを正とする)
Z: 断層面の法線方向(上盤側を正とする)



- 凡例
- 断層ガウジ
 - カタクレーサイト
 - R1面
 - P面

非モデル化破碎部 薄片試料観察(H24-D1-1 深度79.19m)

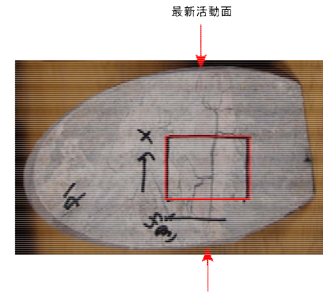
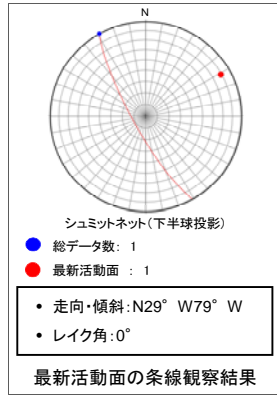
H24-D1-1のボーリングコア(深度79.19m)から採取した薄片試料の観察結果によれば最新活動面の変位センスは、右ずれを伴う逆断層である。



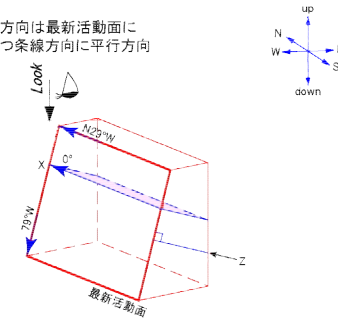
- 凡例
- 断層ガウジ
 - カタクレーサイト
 - R1面
 - P面

非モデル化破砕部 薄片試料観察(H24-D1-1 深度81.30m)

H24-D1-1のボーリングコア(深度81.30m)から採取した薄片試料の観察結果によれば最新活動面の変位センスは、左ずれ成分が卓越する。



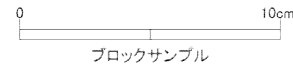
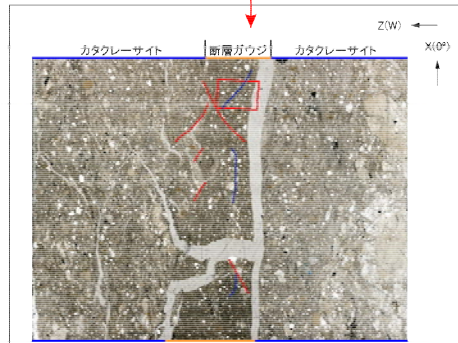
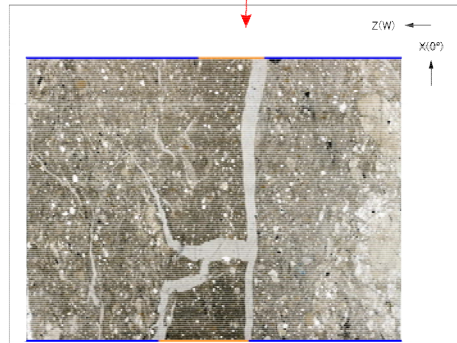
薄片の作成方向は最新活動面に
直交方向かつ条線方向に平行方向



最新活動面

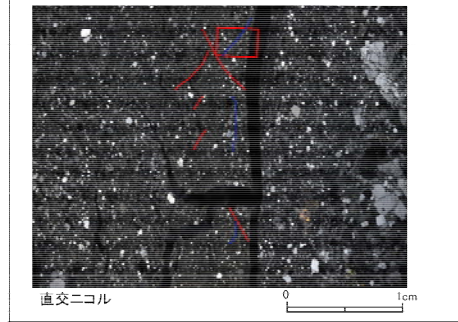
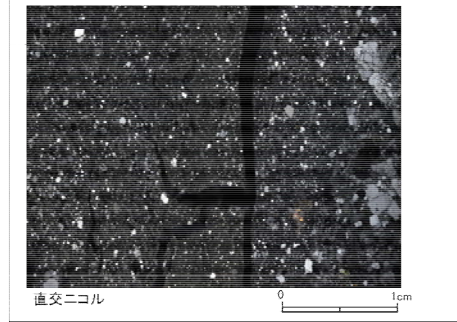
最新活動面の条線観察結果

最新活動面

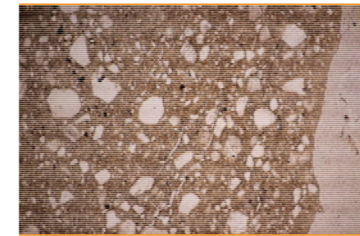


走向・傾斜 N29°W 79°W

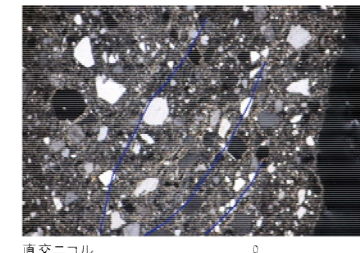
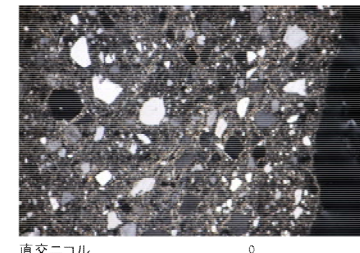
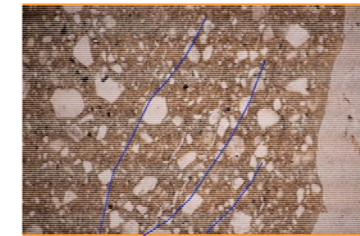
X: 条線方向(北向きを正とする)
Z: 断層面の法線方向(上垂線を正とする)



赤枠内の拡大



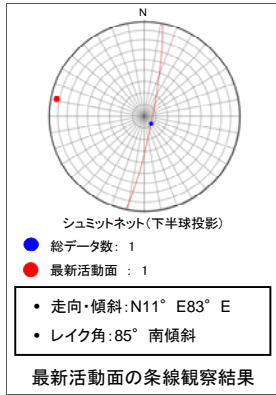
赤枠内の拡大



- 凡例
- 断層ガウジ
 - カタクレーサイト
 - R1面
 - P面

非モデル化破碎部 薄片試料観察(H24-D1-1 深度93.20m)

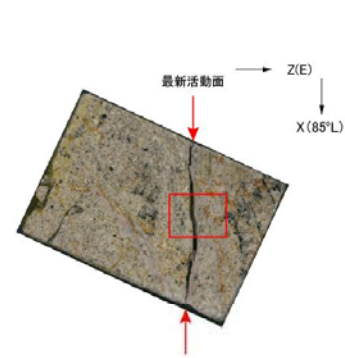
H24-D1-1のボーリングコア(深度93.20m)から採取した薄片試料の観察結果によれば最新活動面の変位センスは、正断層成分が卓越する。



最新活動面

最新活動面の条線観察結果

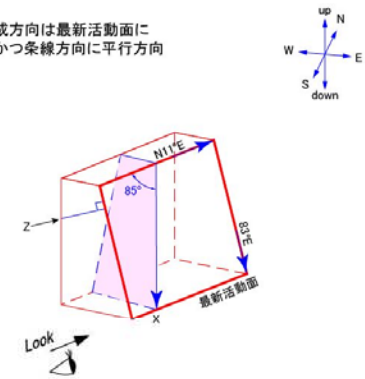
最新活動面



0 10cm

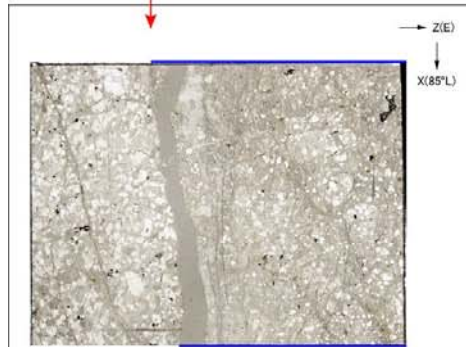
ブロックサンプル

薄片の作成方向は最新活動面に
直交方向かつ条線方向に平行方向



走向・傾斜 N11°E 83°E

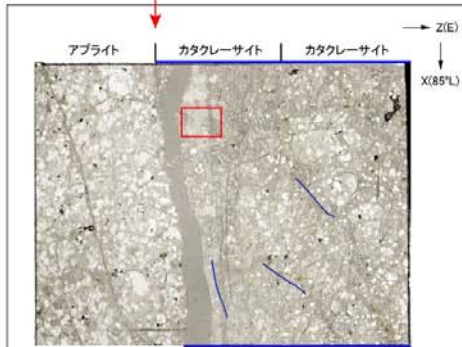
X: 条線方向(下向きを正とする)
Z: 断層面の法線方向(上盤側を正とする)



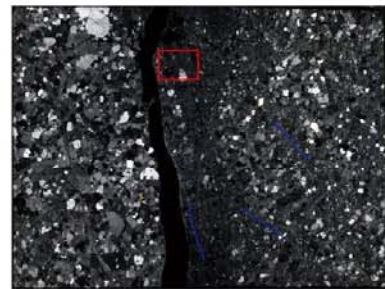
単ニコル



直交ニコル



単ニコル



直交ニコル

赤枠内の拡大



単ニコル

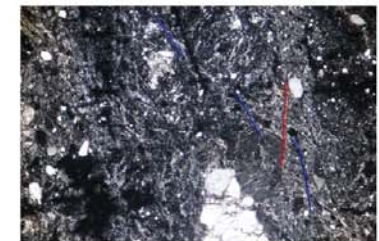


直交ニコル

赤枠内の拡大



単ニコル



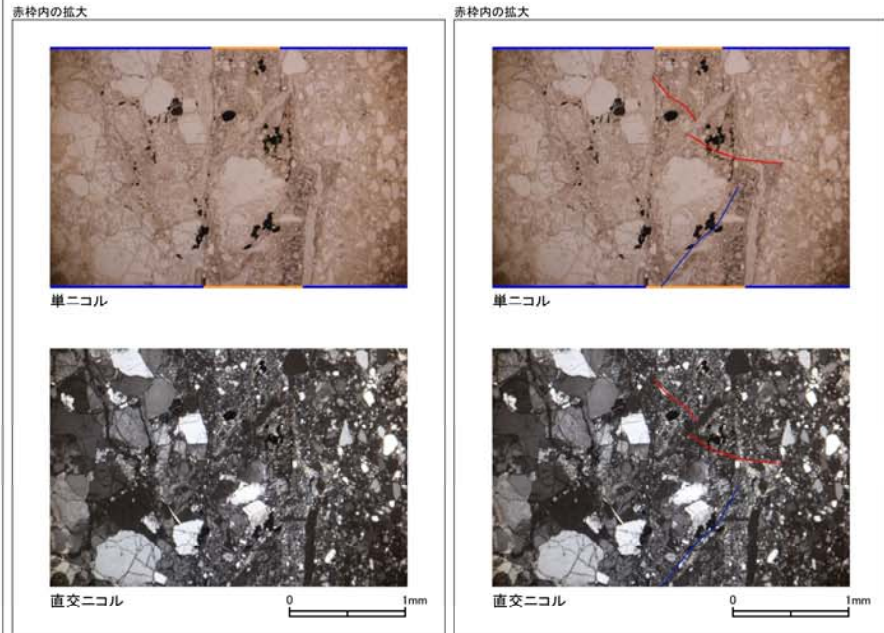
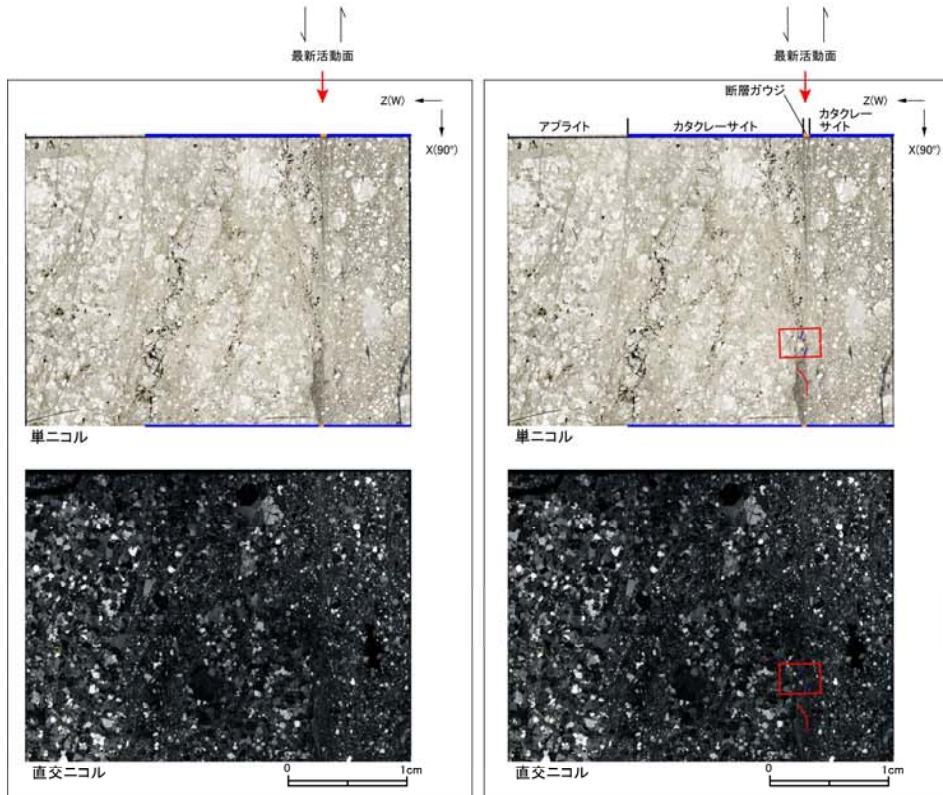
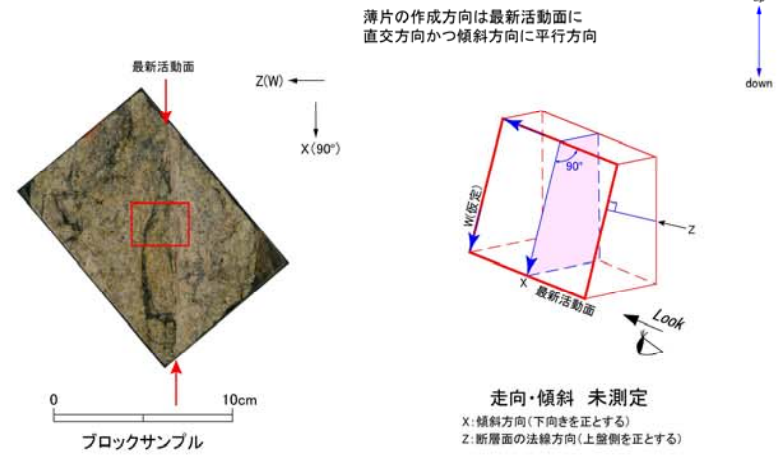
直交ニコル

- 凡例
- 断層ガウジ
 - カタクレーサイト
 - R1面
 - P面

非モデル化破碎部 薄片試料観察(H24-D1-1 深度99.70m)

H24-D1-1のボーリングコア(深度99.70m)から採取した薄片試料の観察結果によれば最新活動面の変位センスは、正断層成分が卓越する。

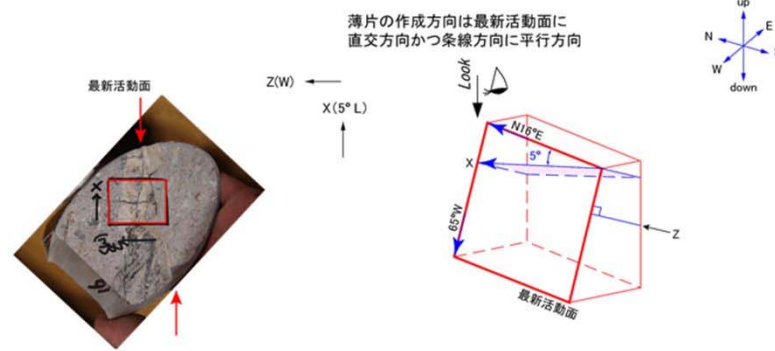
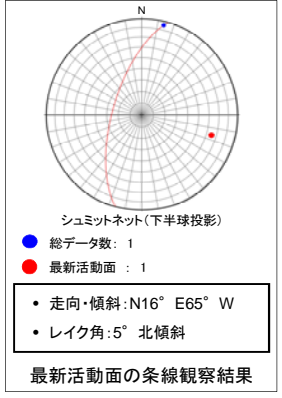
走向・傾斜データなし



- 凡例
- 断層ガウジ
 - カタクレーサイト
 - R1面
 - P面

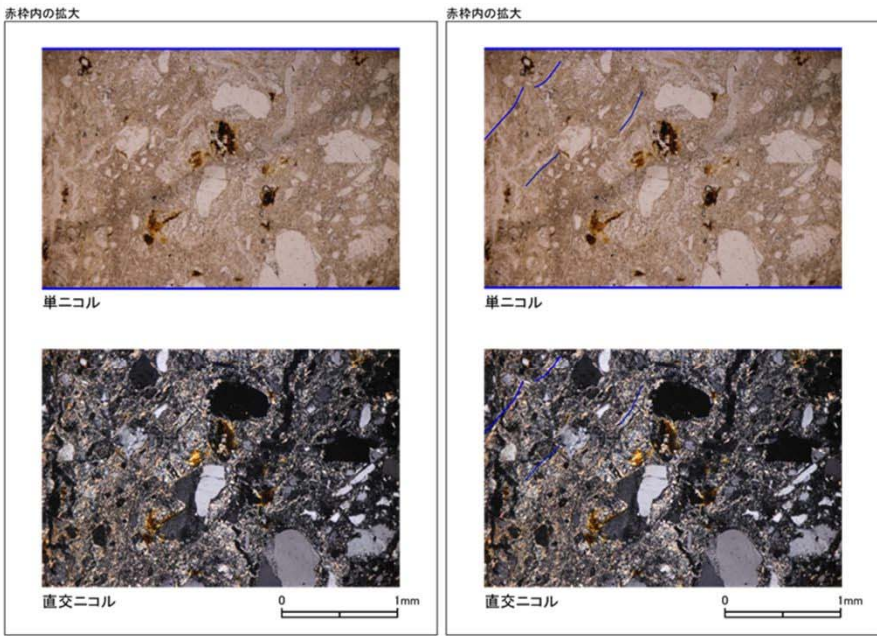
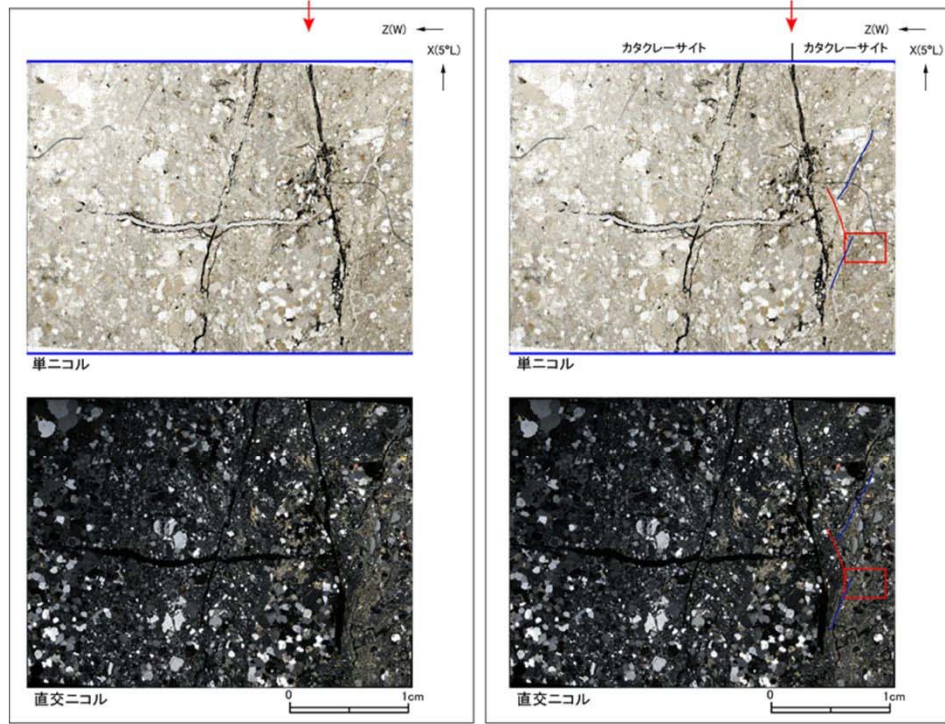
非モデル化破碎部 薄片試料観察(H24-D1-2 深度19.87m)

H24-D1-2のボーリングコア(深度19.87m)から採取した薄片試料の観察結果によれば最新活動面の変位センスは、左ずれ成分が卓越する。



0 10cm
ブロックサンプル

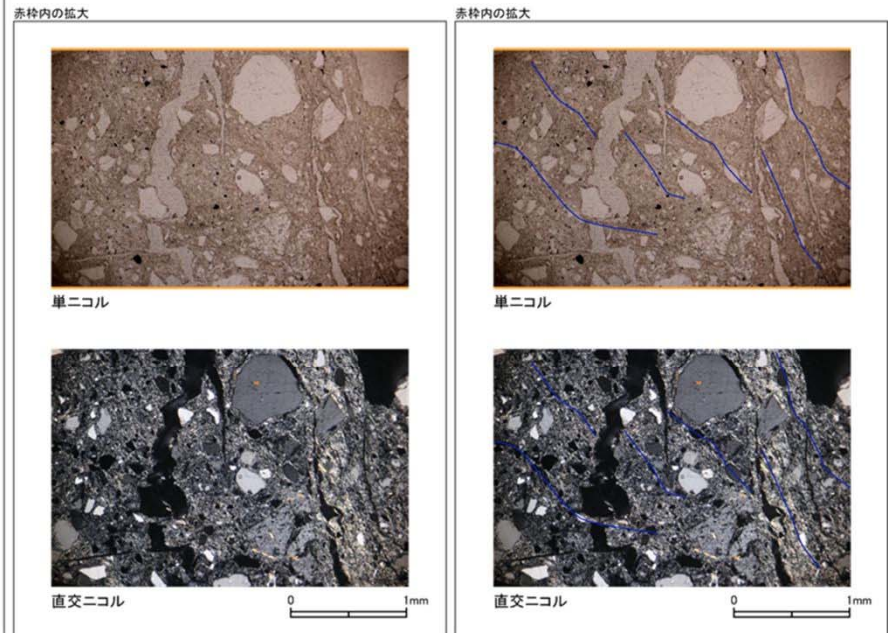
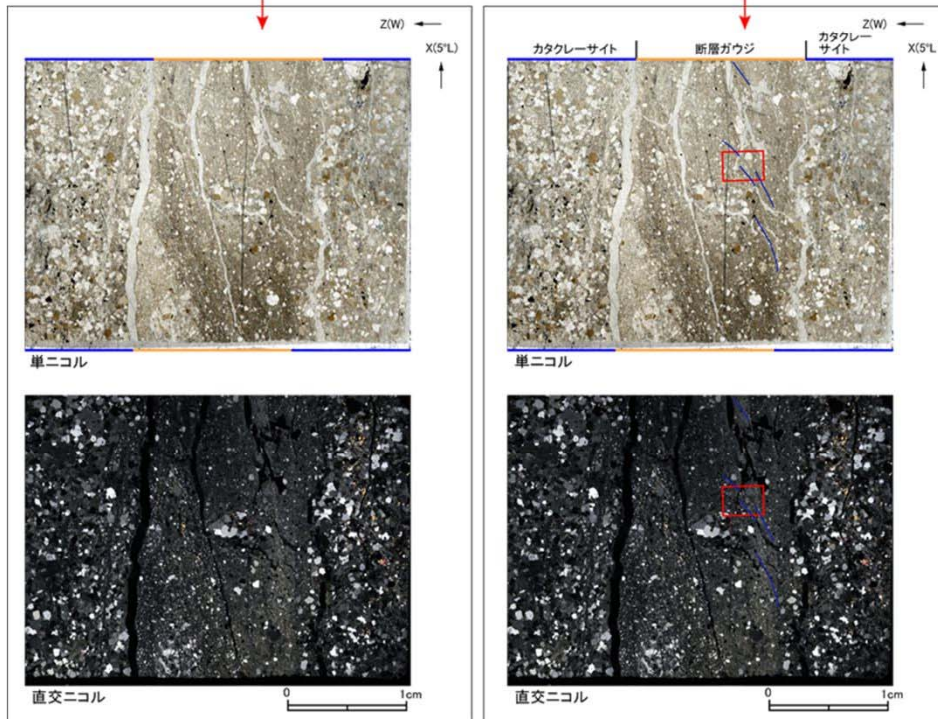
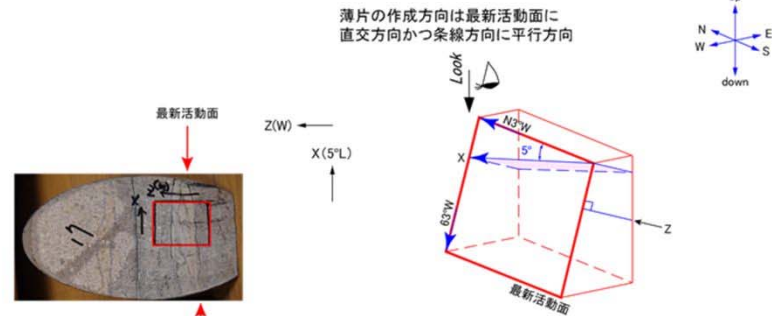
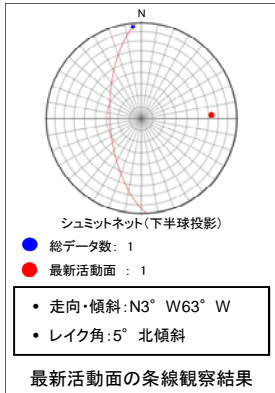
走向・傾斜 N16°E 65°W
X: 条線方向(下向きを正とする)
Z: 断層面の法線方向(上側を正とする)



- 凡例
- 断層ガウジ
 - カタクレーサイト
 - R1面
 - P面

非モデル化破砕部 薄片試料観察(H24-D1-2 深度31.46m)

H24-D1-2のボーリングコア(深度31.46m)から採取した薄片試料の観察結果によれば最新活動面の変位センスは、右ずれ成分が卓越する。

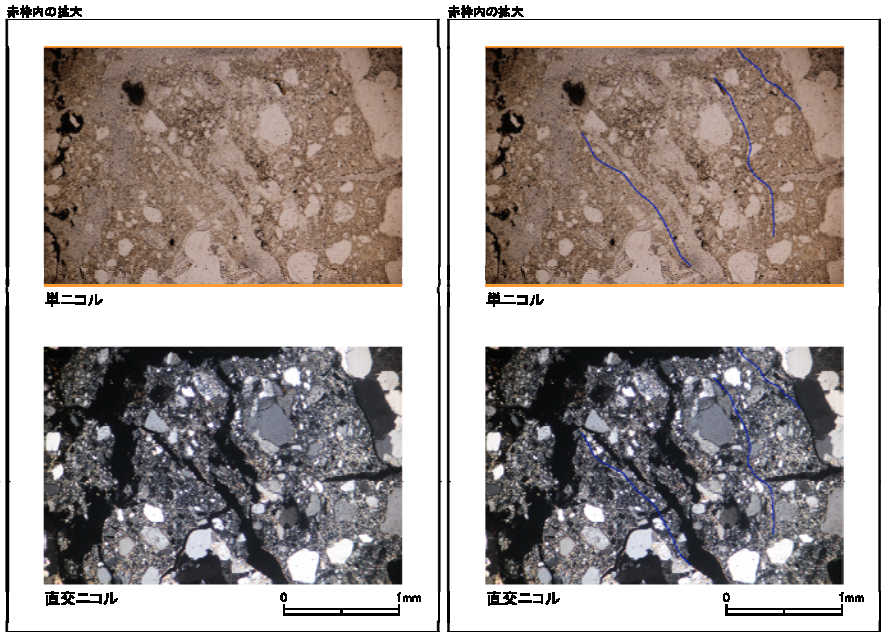
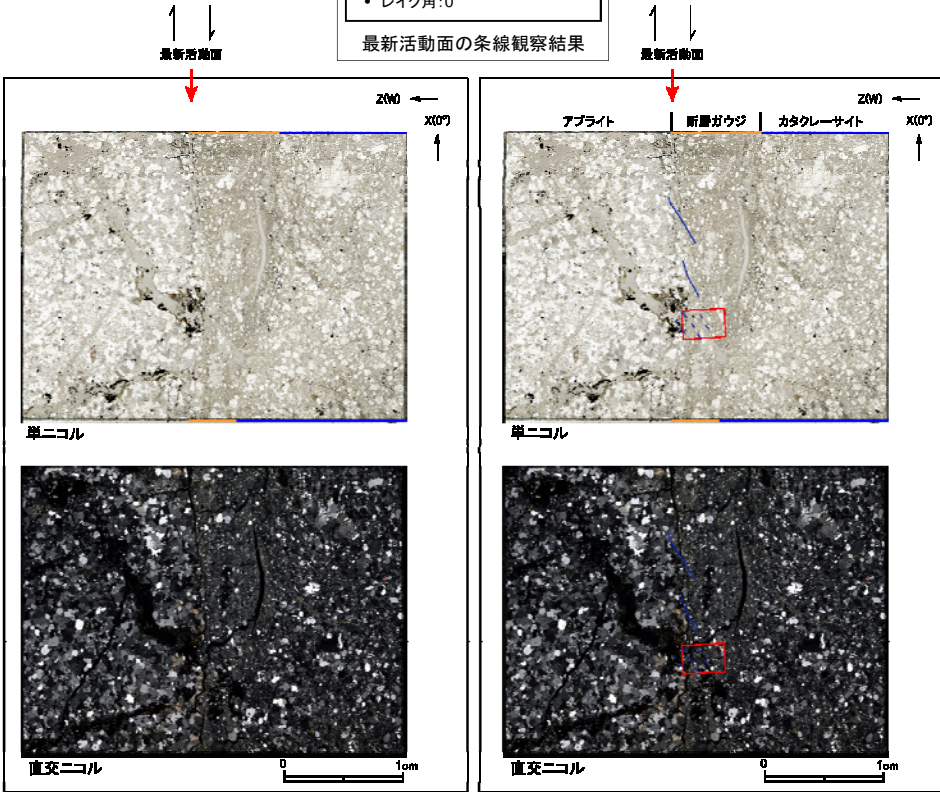
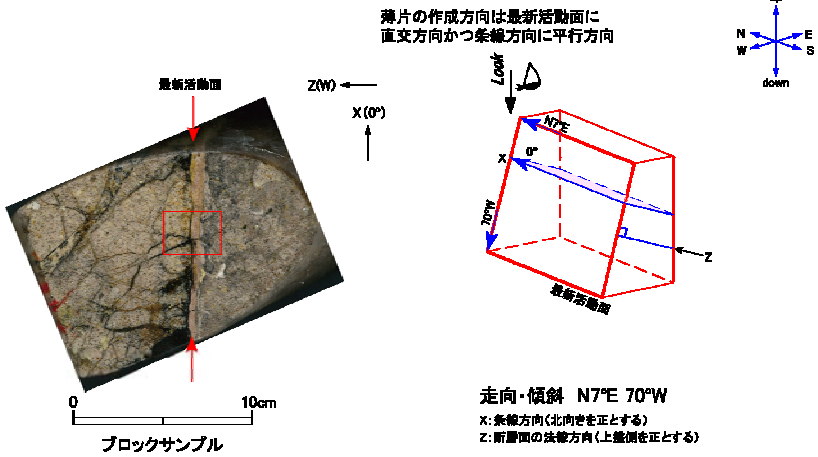
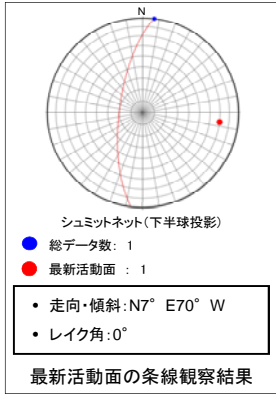


走向・傾斜 N3°W 63°W
X: 条線方向(下向きを正とする)
Z: 断層面の法線方向(上側を正とする)

- 凡例
- 断層ガウジ
 - カタクレーサイト
 - R1面
 - P面

非モデル化破碎部 薄片試料観察(H24-D1-3 深度52.13m)

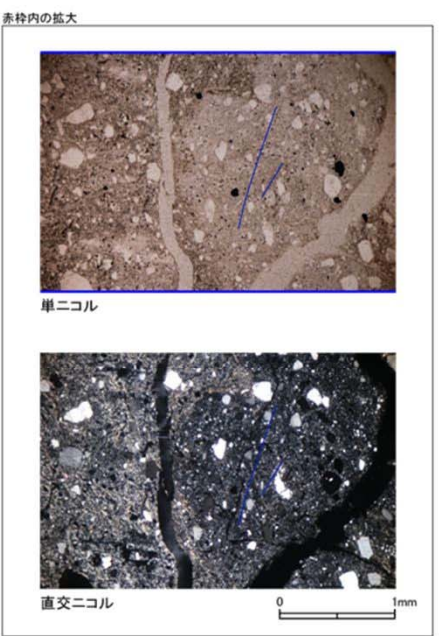
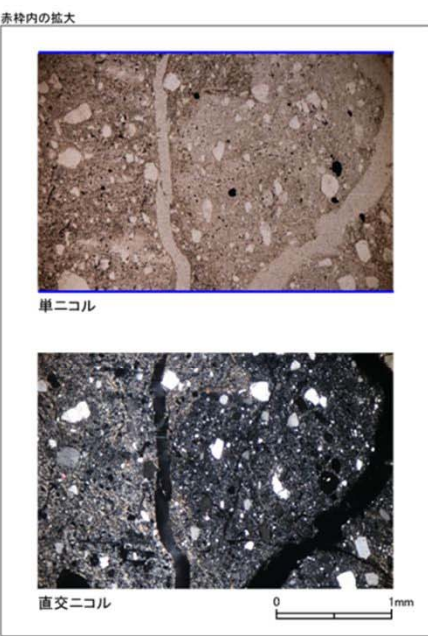
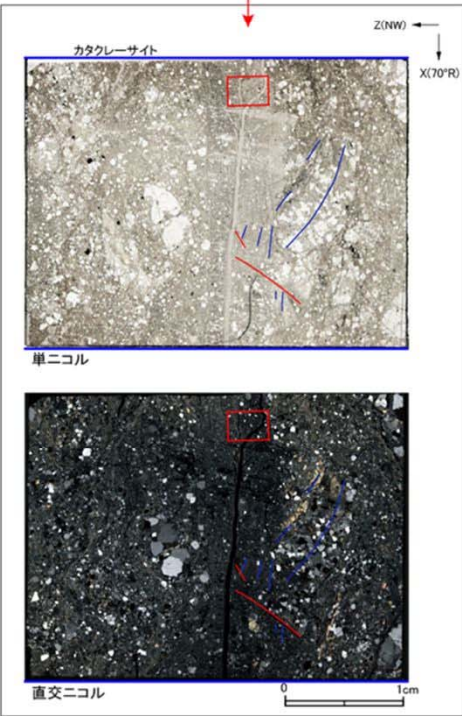
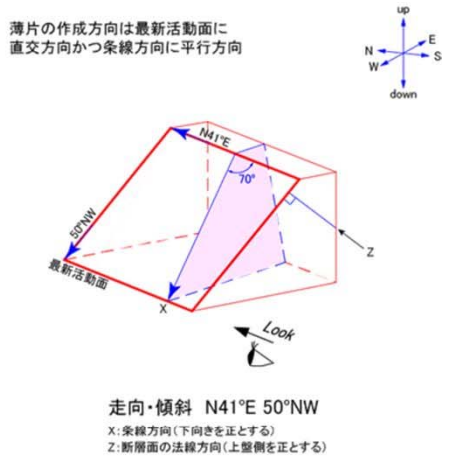
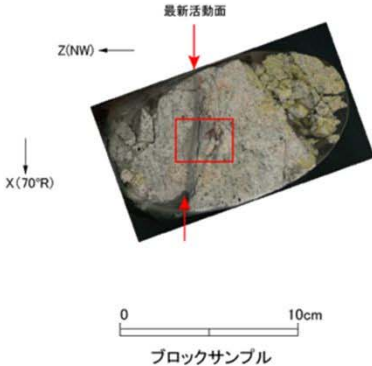
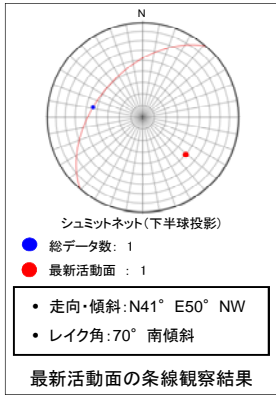
H24-D1-3のボーリングコア(深度52.13m)から採取した薄片試料の観察結果によれば最新活動面の変位センスは、右ずれ成分が卓越する。



- 凡例
- 断層ガウジ
 - カタクレーサイト
 - R1面
 - P面

非モデル化破碎部 薄片試料観察(H24-D1-4 深度53.05m)

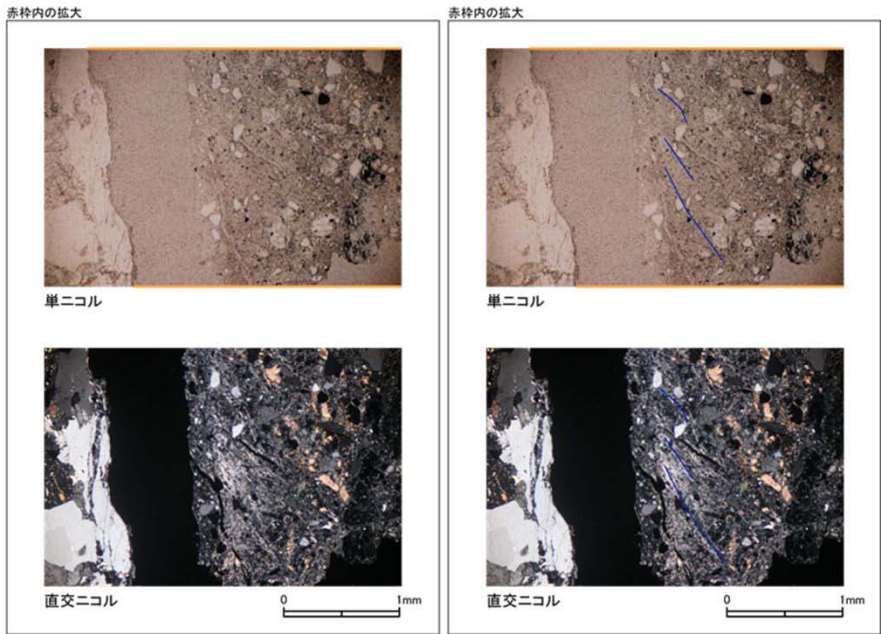
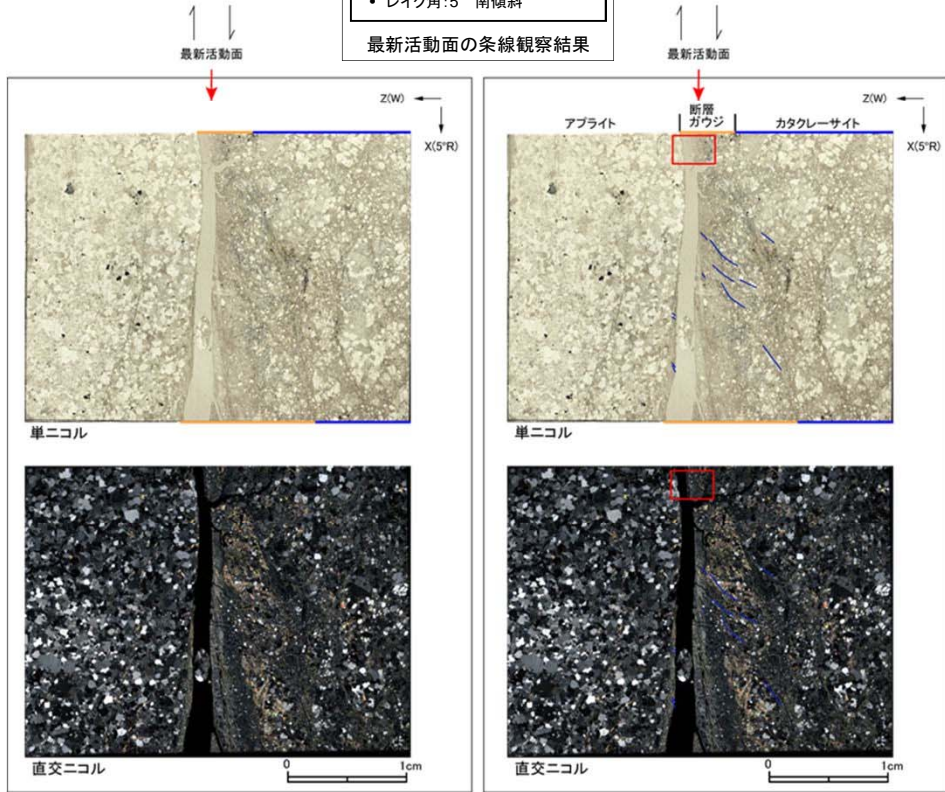
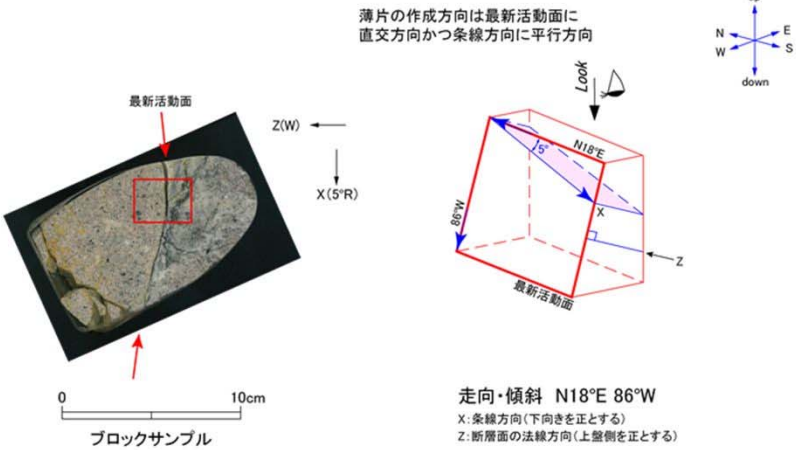
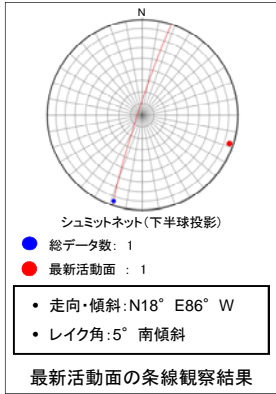
H24-D1-4のボーリングコア(深度53.05m)から採取した薄片試料の観察結果によれば最新活動面の変位センスは、正断層成分が卓越する。



- 凡例
- 断層ガウジ
 - カタクレーサイト
 - R1面
 - P面

非モデル化破碎部 薄片試料観察(H24-D1-4 深度60.06m)

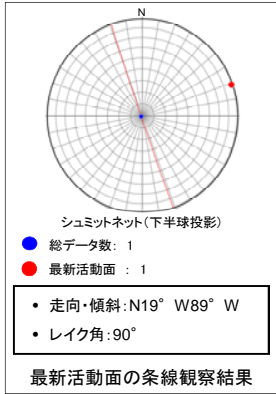
H24-D1-4のボーリングコア(深度60.06m)から採取した薄片試料の観察結果によれば最新活動面の変位センスは、右ずれ成分が卓越する。



- 凡例
- 断層ガウジ
 - カタクレーサイト
 - R1面
 - P面

非モデル化破碎部 薄片試料観察(H24-D1-4 深度63.88m)

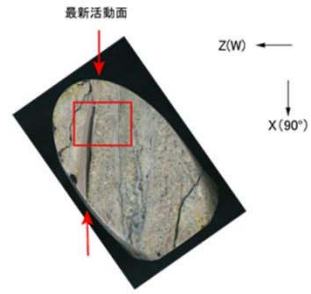
H24-D1-4のボーリングコア(深度63.88m)から採取した薄片試料の観察結果によれば最新活動面の変位センスは、逆断層成分が卓越する。



↑ ↓
最新活動面

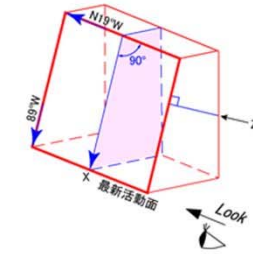
最新活動面の条線観察結果

↑ ↓
最新活動面



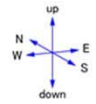
0 10cm
ブロックサンプル

薄片の作成方向は最新活動面に
直交方向かつ条線方向に平行方向

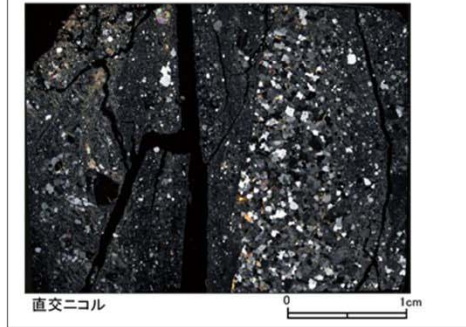


走向・傾斜 N19°W 89°W

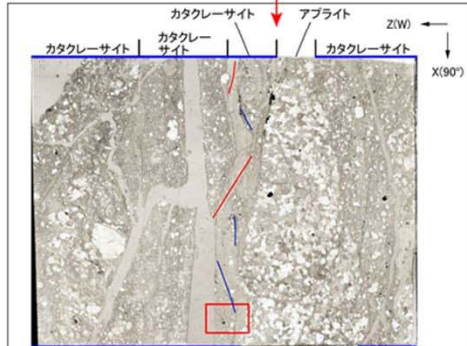
X: 条線方向(下向きを正とする)
Z: 断層面の法線方向(上側を正とする)



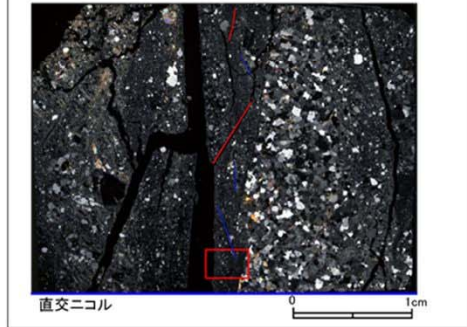
単ニコル



直交ニコル

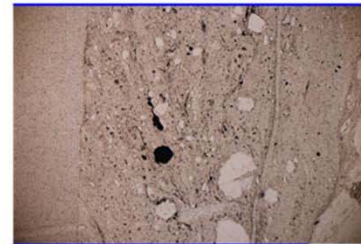


単ニコル

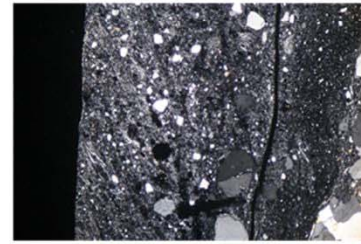


直交ニコル

赤枠内の拡大

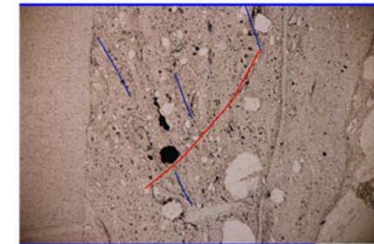


単ニコル

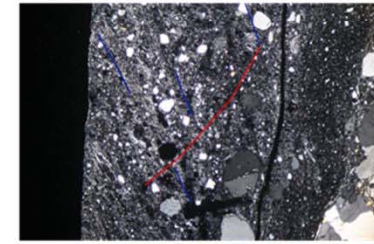


直交ニコル

赤枠内の拡大



単ニコル

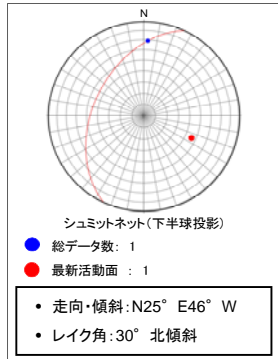


直交ニコル

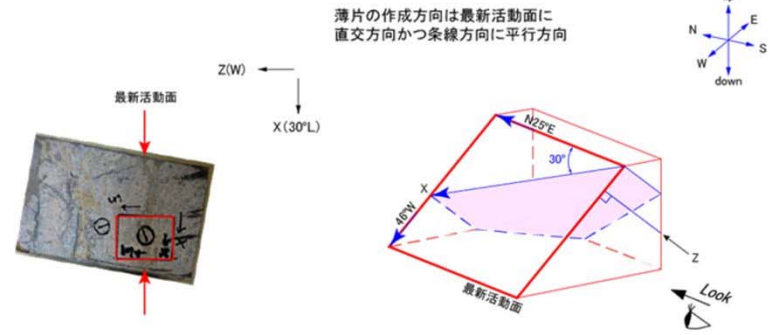
- 凡例
- 断層ガウジ
 - カタクレーサイト
 - R1面
 - P面

非モデル化破碎部 薄片試料観察(H27-B-1 深度34.59m)

H27-B-1のボーリングコア(深度34.59m)から採取した薄片試料の観察結果によれば最新活動面の変位センスは、左ずれを伴う逆断層である。



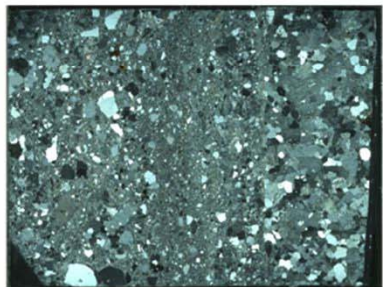
最新活動面の条線観察結果



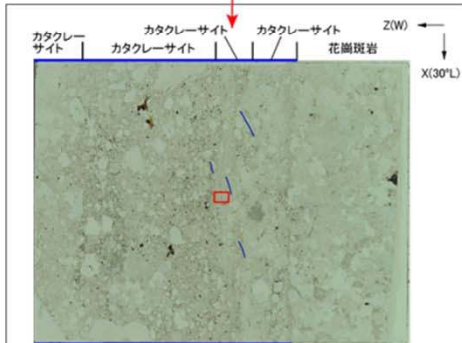
ブロックサンプル



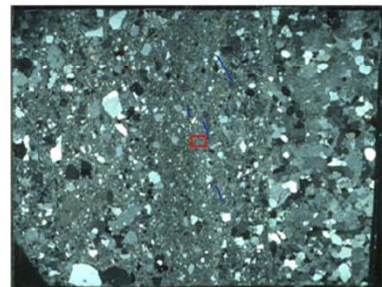
単ニコル



直交ニコル

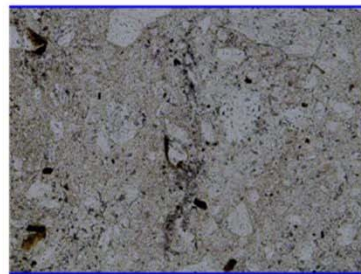


単ニコル

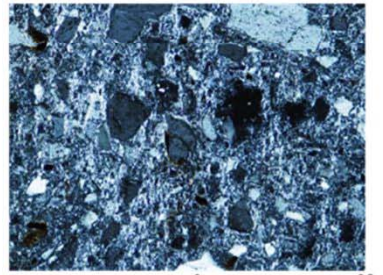


直交ニコル

赤枠内の拡大

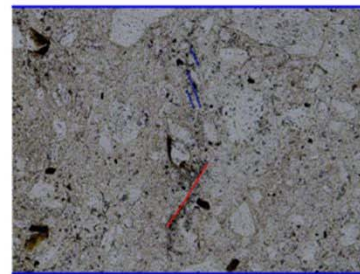


単ニコル

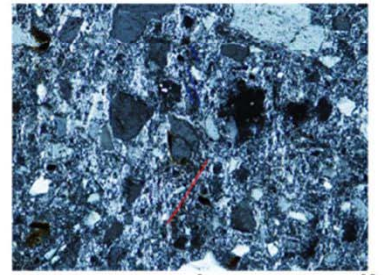


直交ニコル

赤枠内の拡大



単ニコル

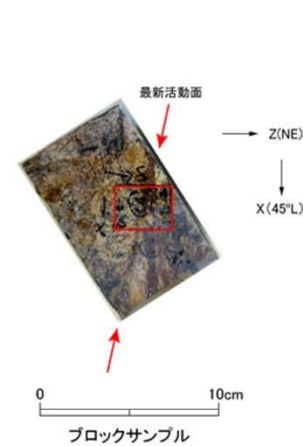
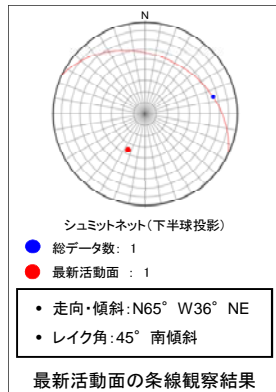


直交ニコル

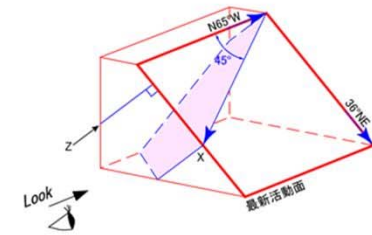
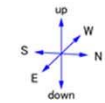
- 凡例
- 断層ガウジ
 - カタクレーサイト
 - R1面
 - P面

非モデル化破砕部 薄片試料観察(H27-B-1 深度42.43m)

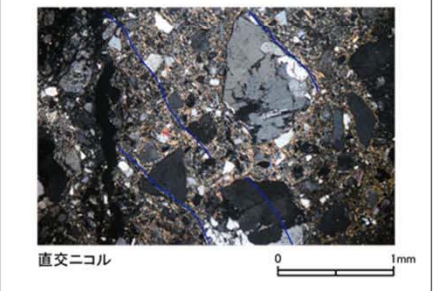
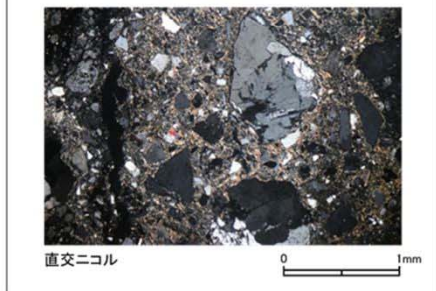
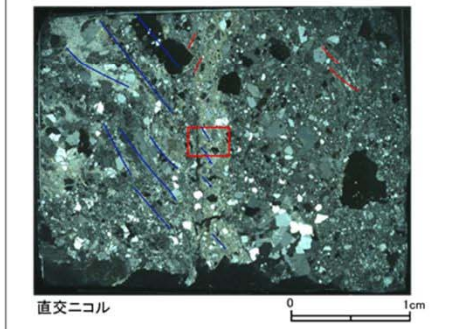
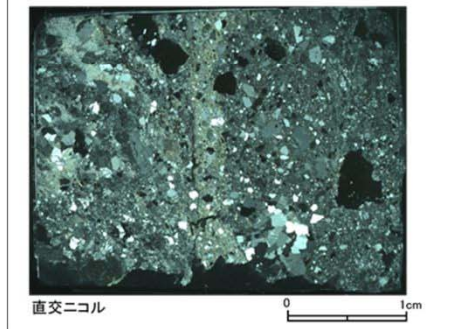
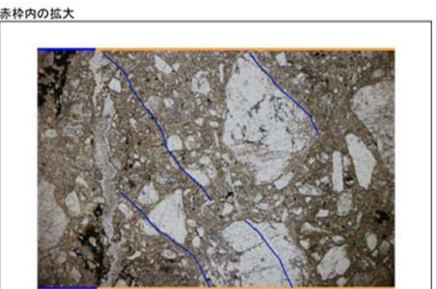
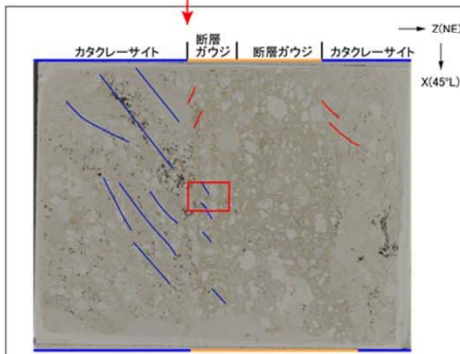
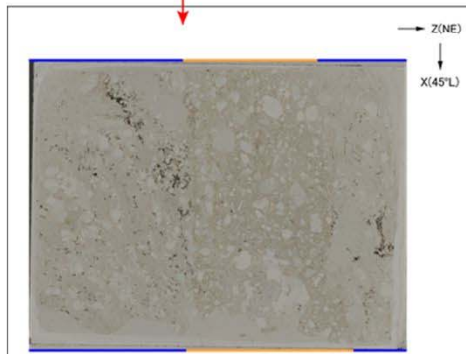
H27-B-1のボーリングコア(深度42.43m)から採取した薄片試料の観察結果によれば最新活動面の変位センスは、右ずれを伴う正断層である。



薄片の作成方向は最新活動面に直交方向かつ条線方向に平行方向



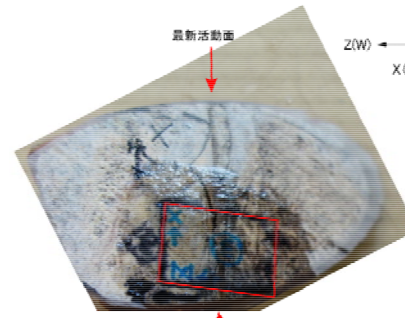
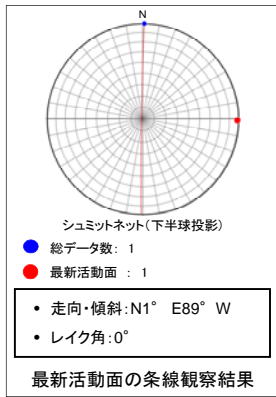
走向・傾斜 N65°W 36°NE
 X: 条線方向(下向きを正とする)
 Z: 断層面の法線方向(上壁側を正とする)



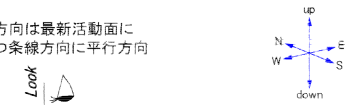
- 凡例
- 断層ガウジ
 - カタクレーサイト
 - R1面
 - P面

非モデル化破碎部 薄片試料観察(H27-B-1 深度44.31m)

H27-B-1のボーリングコア(深度44.31m)から採取した薄片試料の観察結果によれば最新活動面の変位センスは、左ずれ成分が卓越する。



薄片の作成方向は最新活動面に
直交方向かつ条線方向に平行方向



0 5cm

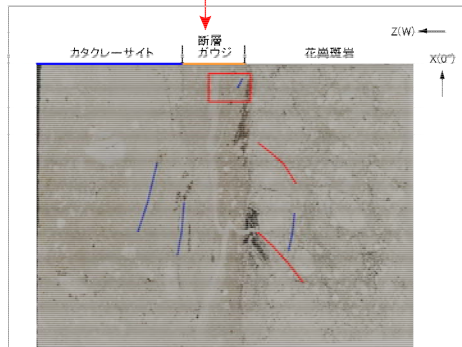
ブロックサンプル

走向・傾斜 N1°E 89°W

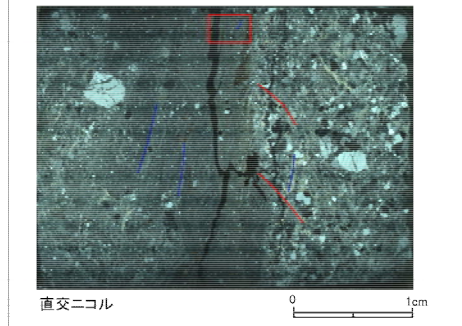
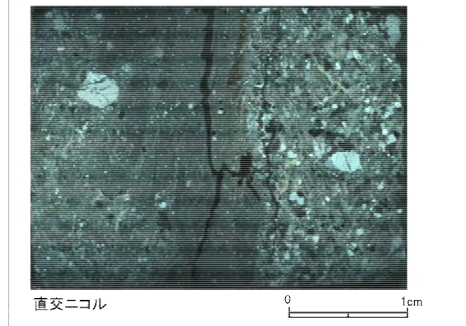
X: 条線方向(北向きを正とする)
Z: 断層面の法線方向(上盤側を正とする)



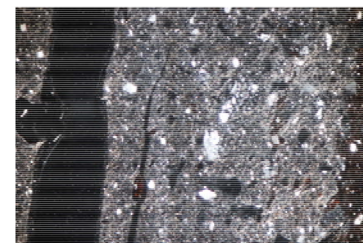
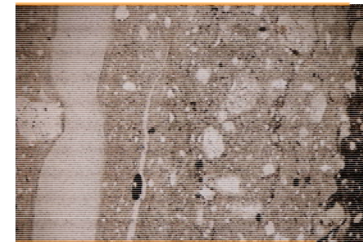
単ニコル



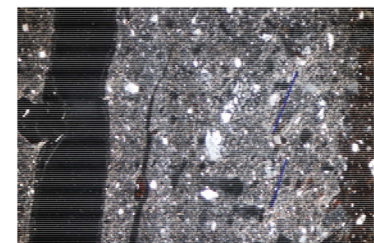
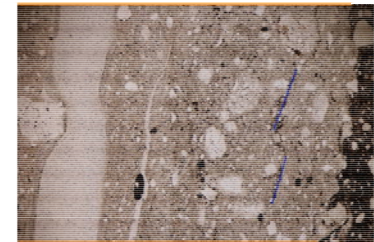
単ニコル



赤枠内の拡大



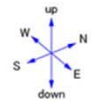
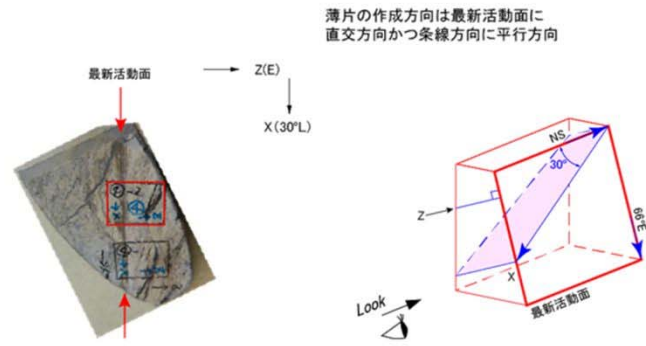
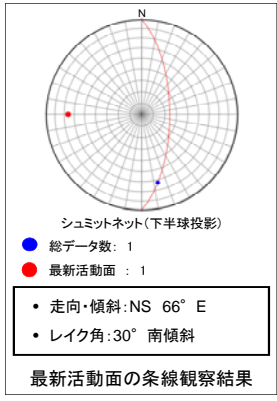
赤枠内の拡大



- 凡例
- 断層ガウジ
 - カタクレーサイト
 - R1面
 - P面

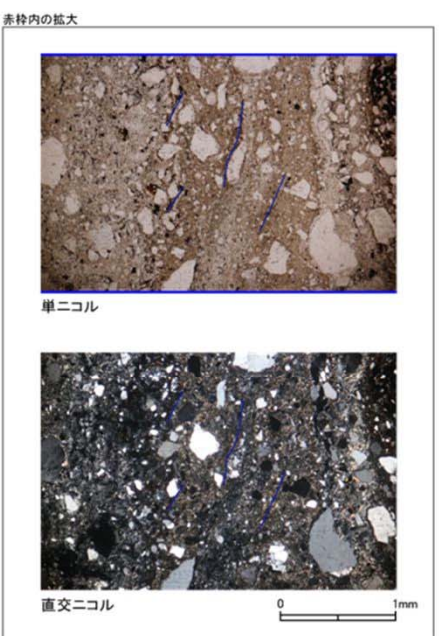
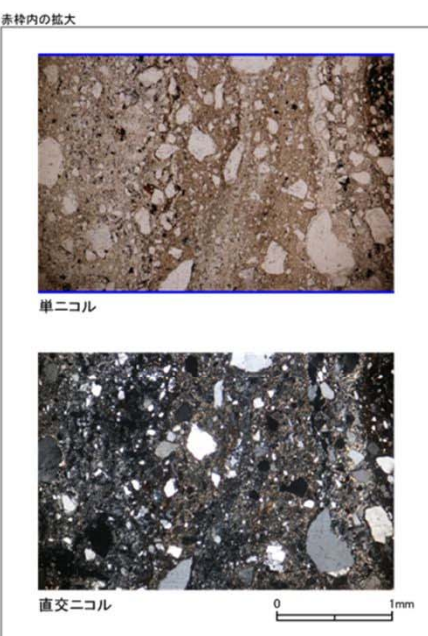
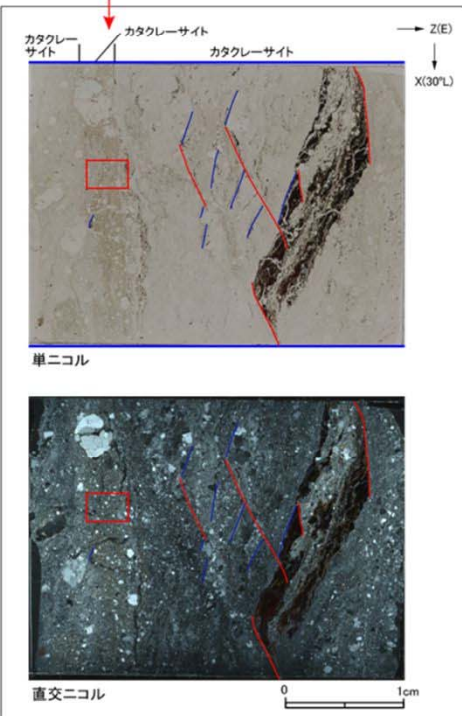
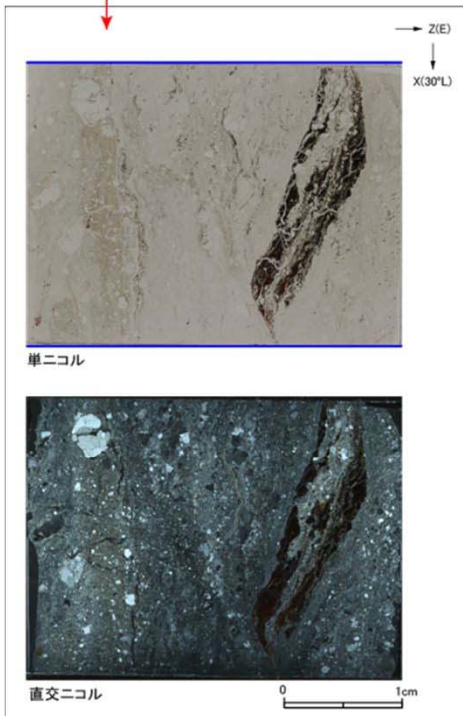
非モデル化破碎部 薄片試料観察(H27-B-1 深度44.66m)

H27-B-1のボーリングコア(深度44.66m)から採取した薄片試料の観察結果によれば最新活動面の変位センスは、左ずれを伴う逆断層である。



0 10cm
ブロックサンプル

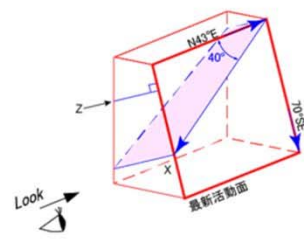
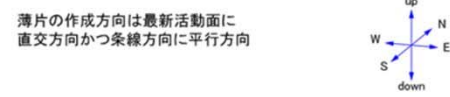
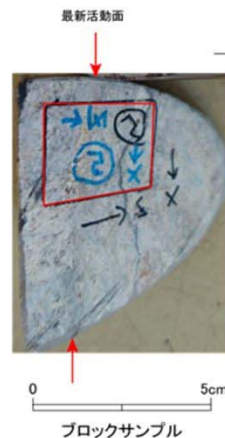
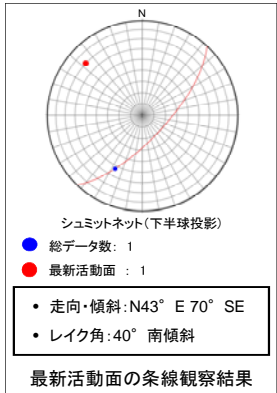
走向・傾斜 NS 66°E
X: 条線方向(下向きを正とする)
Z: 断層面の法線方向(上盤側を正とする)



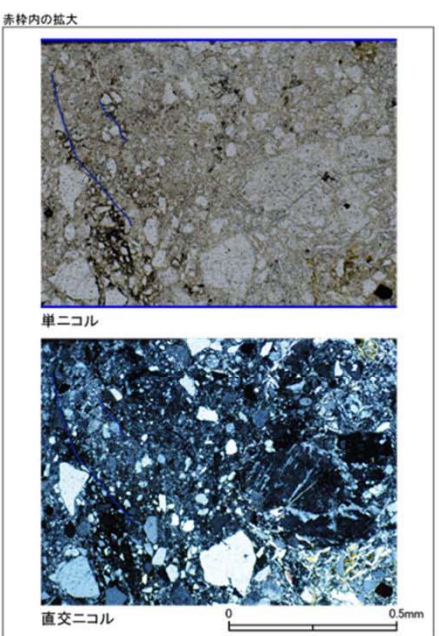
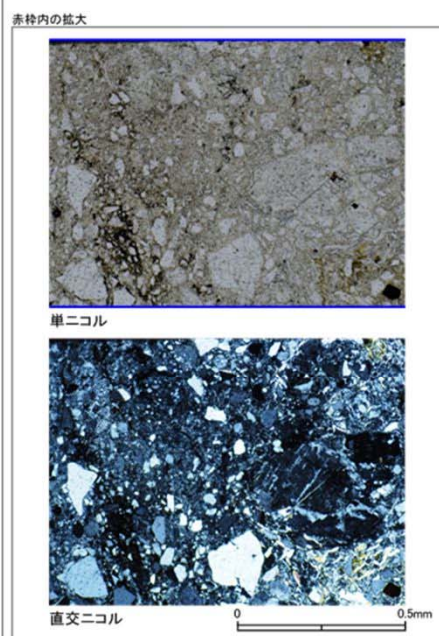
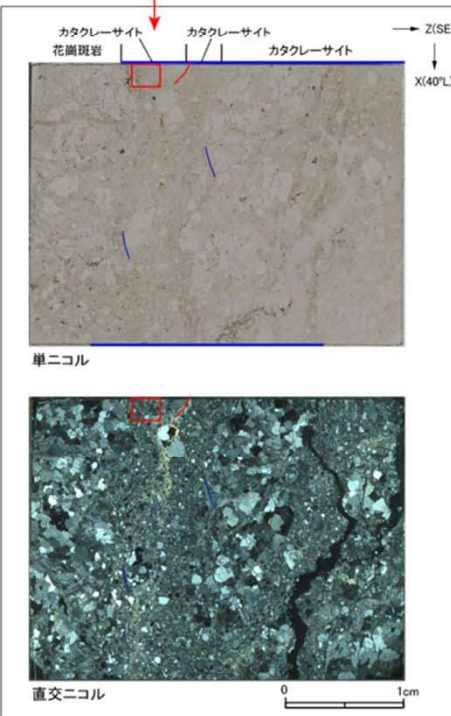
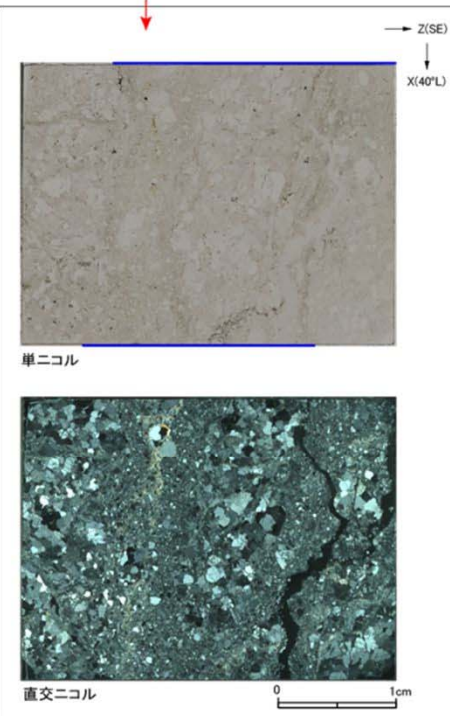
- 凡例
- 断層ガウジ
 - カタクレーサイト
 - R1面
 - P面

非モデル化破碎部 薄片試料観察(H27-B-1 深度45.39m)

H27-B-1のボーリングコア(深度45.39m)から採取した薄片試料の観察結果によれば最新活動面の変位センスは、右ずれを伴う正断層である。



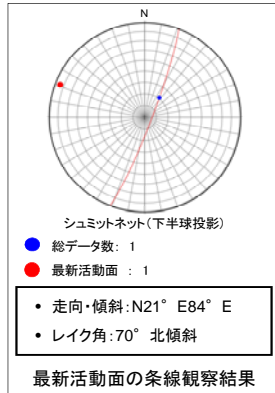
走向・傾斜 N43°E 70°SE
X: 条線方向(下向きを正とする)
Z: 断層面の法線方向(上盤側を正とする)



- 凡例
- 断層ガウジ
 - カタクレーサイト
 - R1面
 - P面

非モデル化破碎部 薄片試料観察(H27-B-1 深度47.40m)

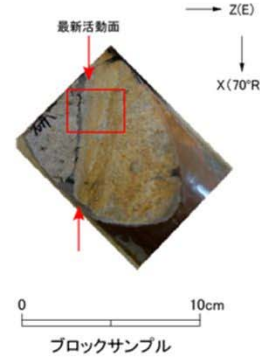
H27-B-1のボーリングコア(深度47.40m)から採取した薄片試料の観察結果によれば最新活動面の変位センスは、正断層成分が卓越する。



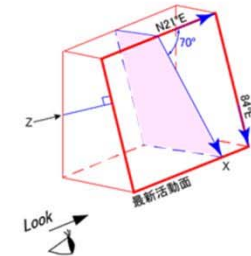
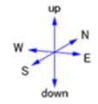
最新活動面

最新活動面の条線観察結果

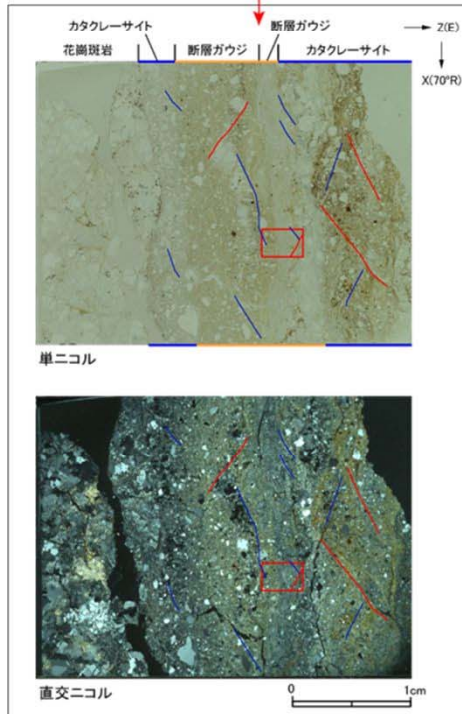
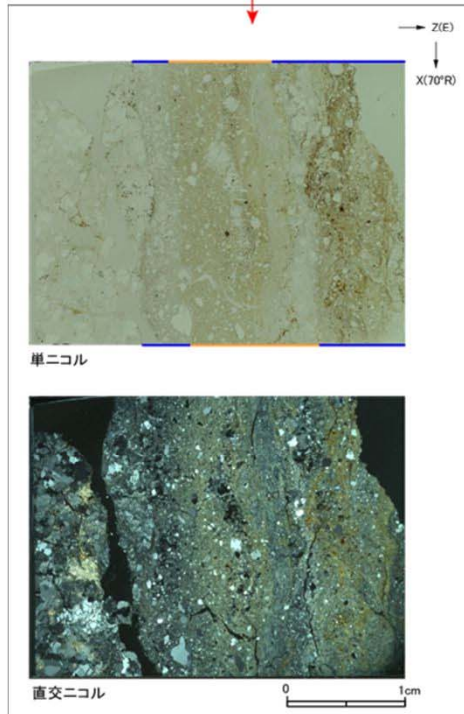
最新活動面



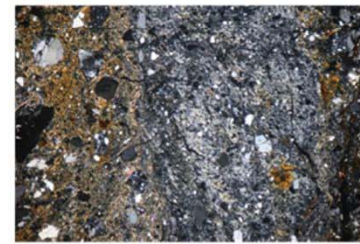
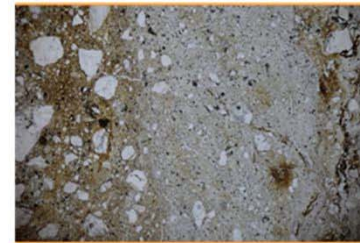
薄片の作成方向は最新活動面に
直交方向かつ条線方向に平行方向



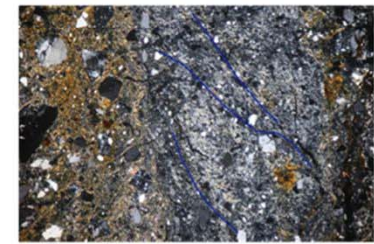
走向・傾斜 N21°E 84°E
X: 条線方向(下向きを正とする)
Z: 断層面の法線方向(上側側を正とする)



赤枠内の拡大



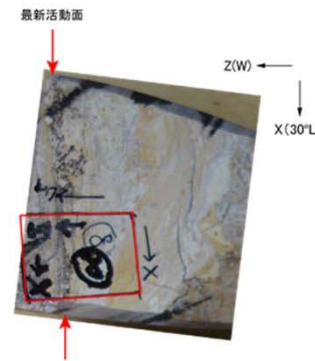
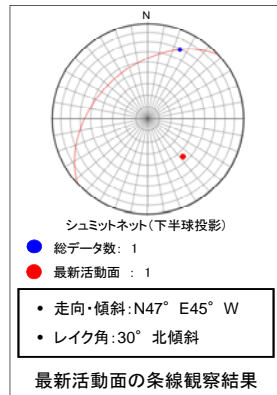
赤枠内の拡大



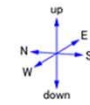
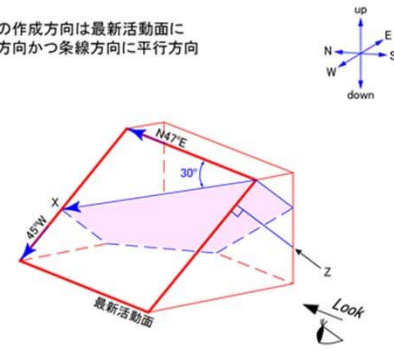
- 凡例
- 断層ガウジ
 - カタクレーサイト
 - R1面
 - P面

非モデル化破碎部 薄片試料観察(H27-B-1 深度49.20m)

H27-B-1のボーリングコア(深度49.20m)から採取した薄片試料の観察結果によれば最新活動面の変位センスは、右ずれを伴う正断層である。



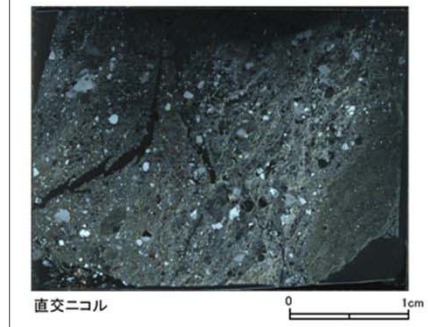
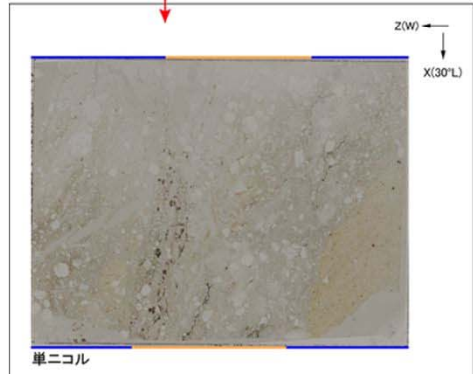
薄片の作成方向は最新活動面に
直交方向かつ条線方向に平行方向



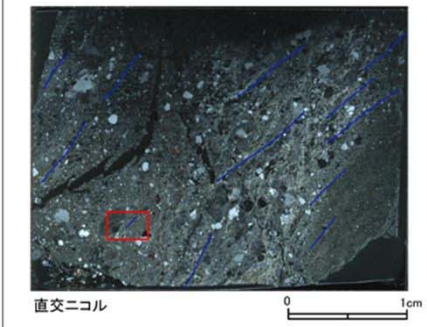
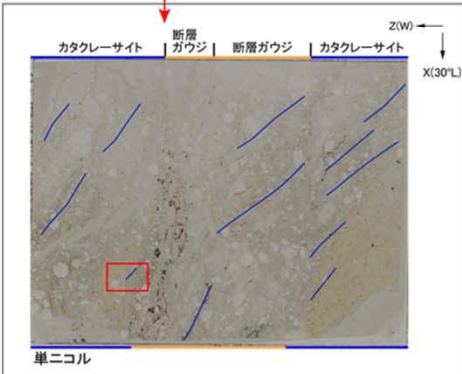
0 5cm
ブロックサンプル

走向・傾斜 N47°E 45°W
 X: 条線方向(下向きを正とする)
 Z: 断層面の法線方向(上登側を正とする)

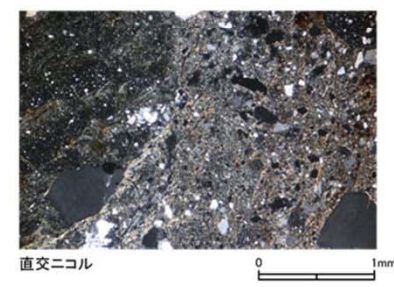
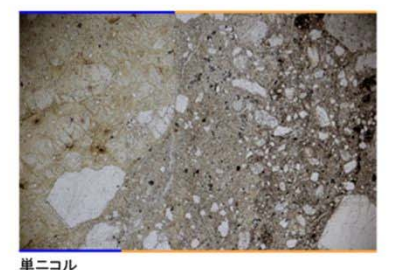
最新活動面



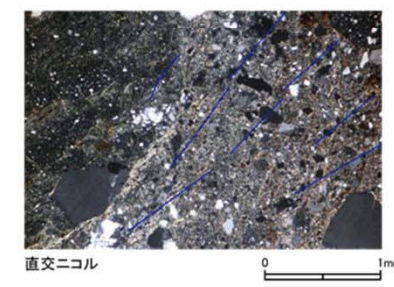
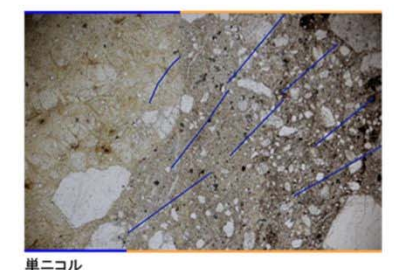
最新活動面



赤枠内の拡大



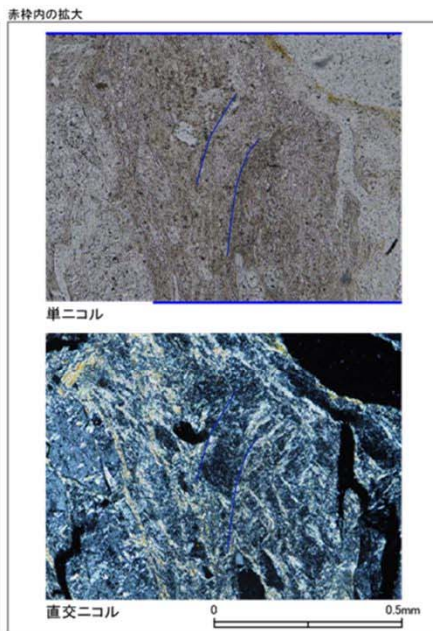
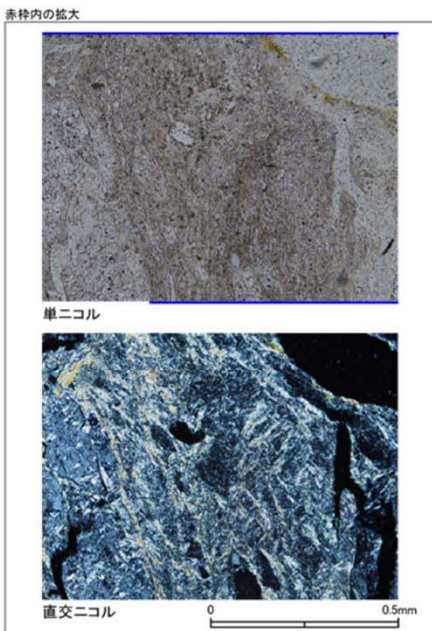
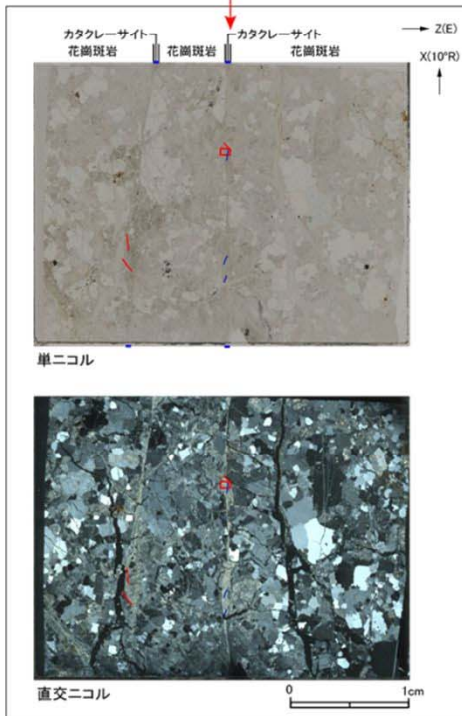
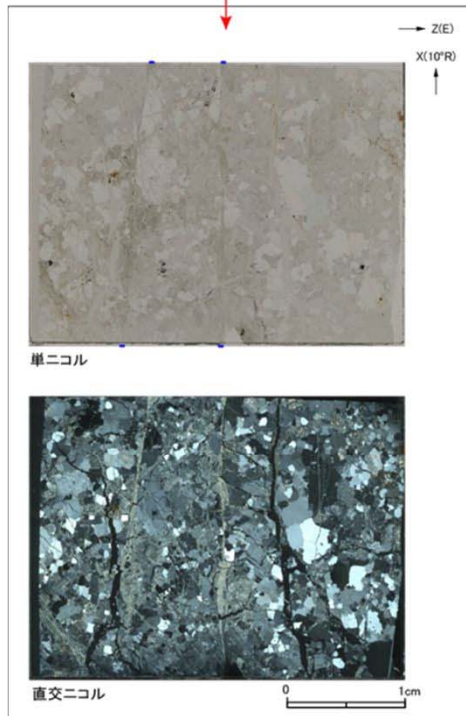
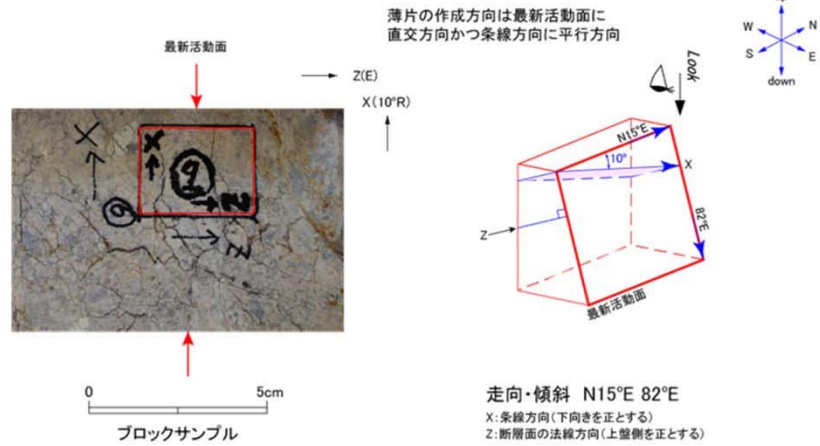
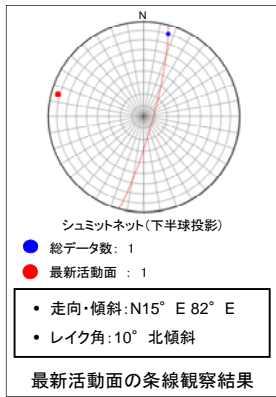
赤枠内の拡大



- 凡例
- 断層ガウジ
 - カタクレーサイト
 - R1面
 - P面

非モデル化破碎部 薄片試料観察(H27-B-1 深度52.81m)

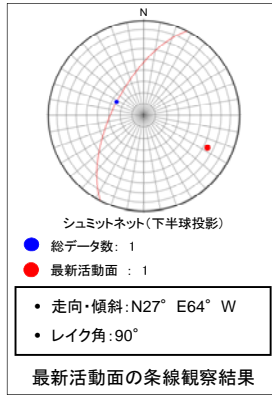
H27-B-1のボーリングコア(深度52.81m)から採取した薄片試料の観察結果によれば最新活動面の変位センスは、左ずれ成分が卓越する。



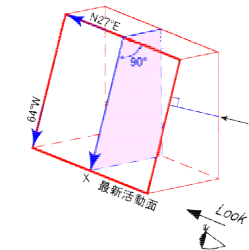
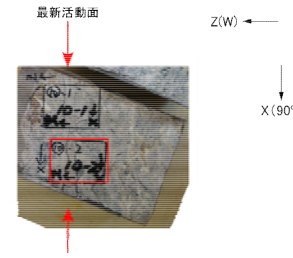
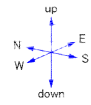
- 凡例
- 断層ガウジ
 - カタクレーサイト
 - R1面
 - P面

非モデル化破碎部 薄片試料観察(H27-B-1 深度53.17m)

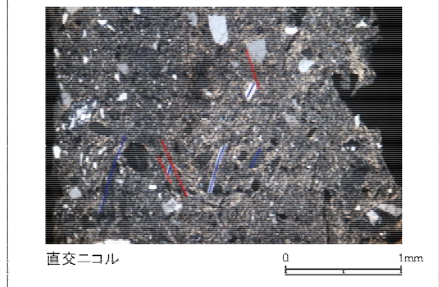
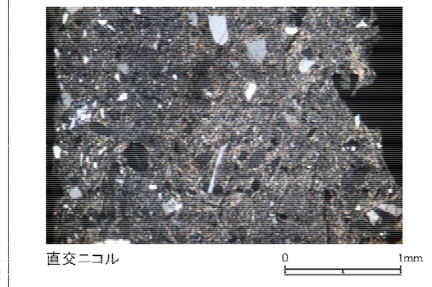
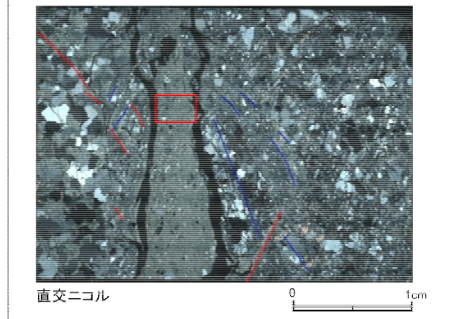
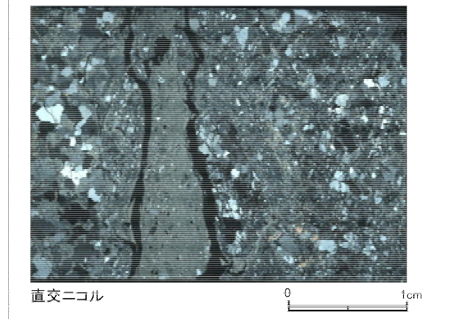
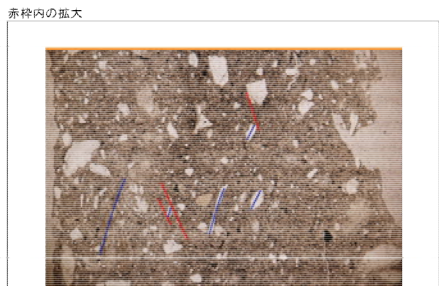
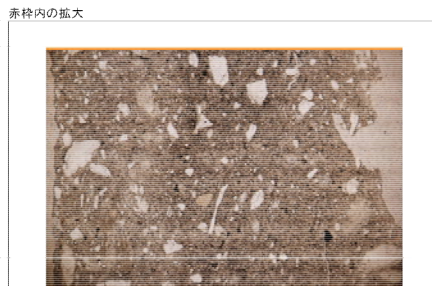
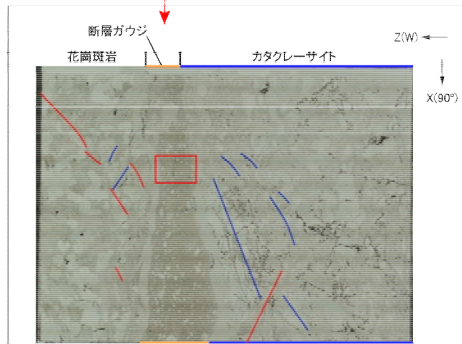
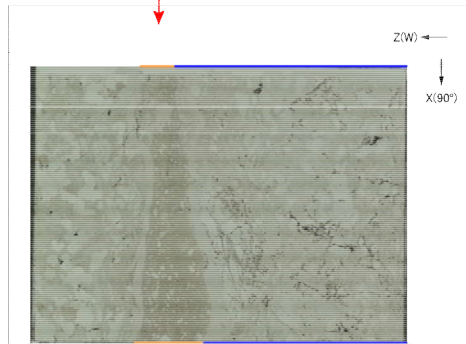
H27-B-1のボーリングコア(深度53.17m)から採取した薄片試料の観察結果によれば最新活動面の変位センスは、正断層成分が卓越する。



薄片の作成方向は最新活動面に
直交方向かつ条線方向に平行方向



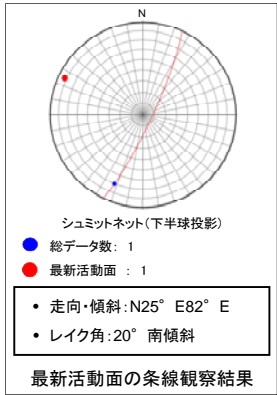
走向・傾斜 N27° E 64° W
X: 条線方向(下向きを正とする)
Z: 断層面の法線方向(上盤側を正とする)



- 凡例
- 断層ガウジ
 - カタクレーサイト
 - R1面
 - P面

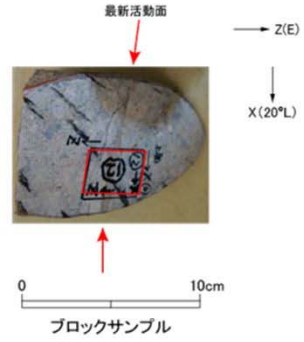
非モデル化破碎部 薄片試料観察(H27-B-1 深度69.70m)

H27-B-1のボーリングコア(深度69.70m)から採取した薄片試料の観察結果によれば最新活動面の変位センスは、右ずれ成分が卓越する。

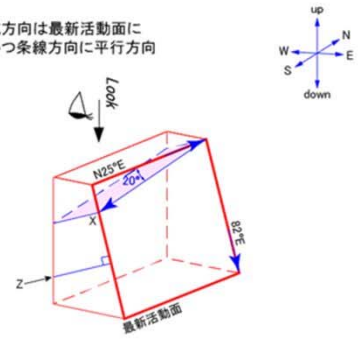


最新活動面

最新活動面

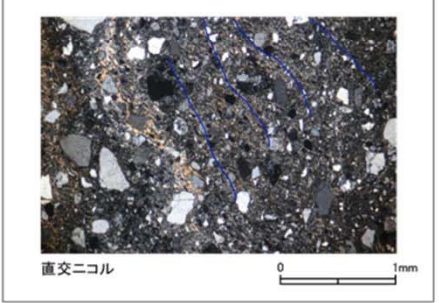
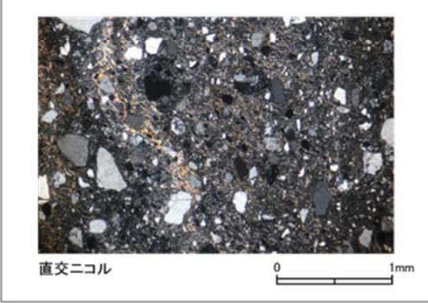
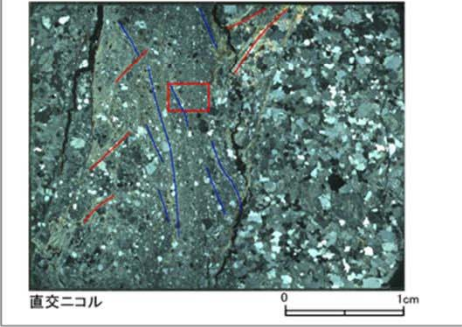
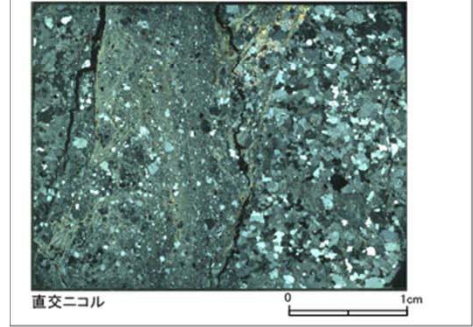
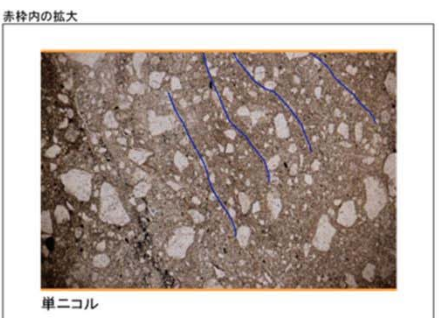
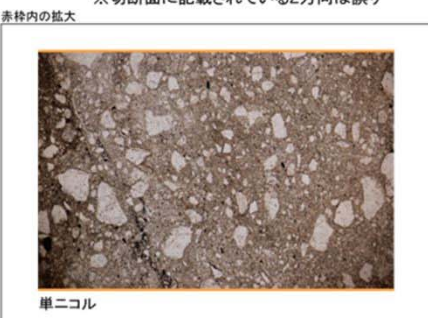
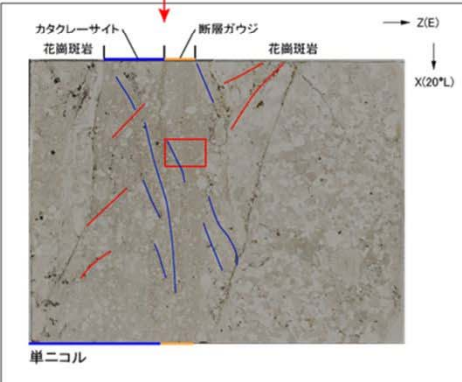
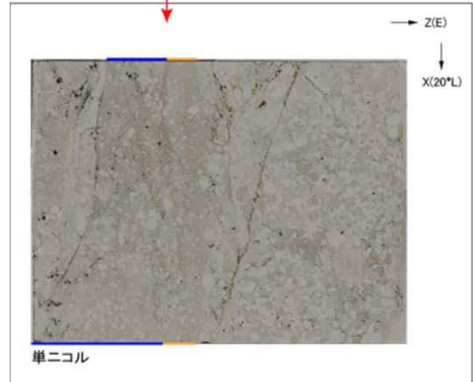


薄片の作成方向は最新活動面に
直交方向かつ条線方向に平行方向



走向・傾斜 N25°E 82°E
X: 条線方向(下向きを正とする)
Z: 断層面の法線方向(上壁側を正とする)

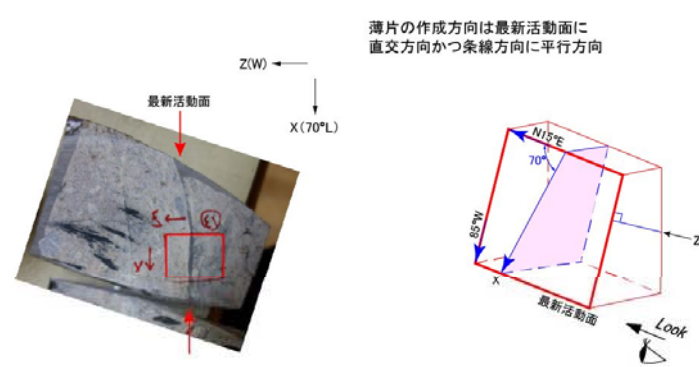
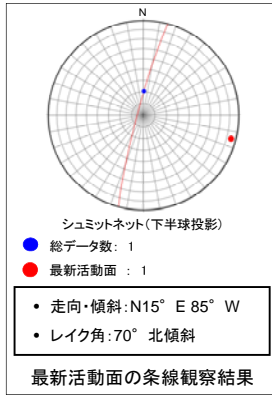
※切断面に記載されているZ方向は誤り



- 凡例
- 断層ガウジ
 - カタクレーサイト
 - R1面
 - P面

非モデル化破碎部 薄片試料観察(H27-B-1 深度74.40m)

H27-B-1のボーリングコア(深度74.40m)から採取した薄片試料の観察結果によれば最新活動面の変位センスは、正断層成分が卓越する。



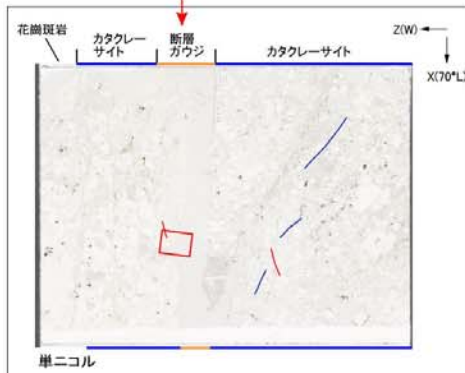
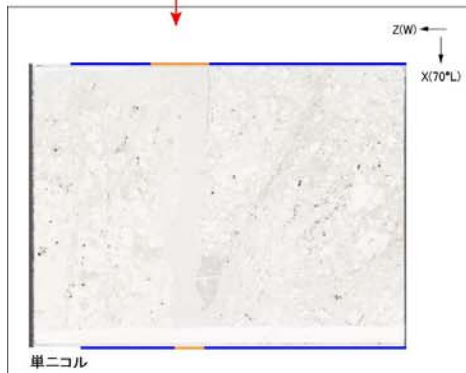
0 10cm

ブロックサンプル

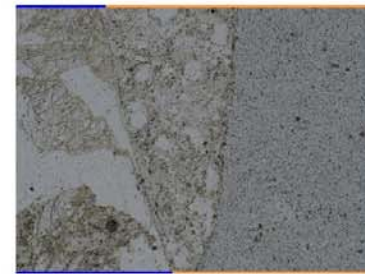
走向・傾斜 N15°E 85°W

X: 条線方向(下向きを正とする)

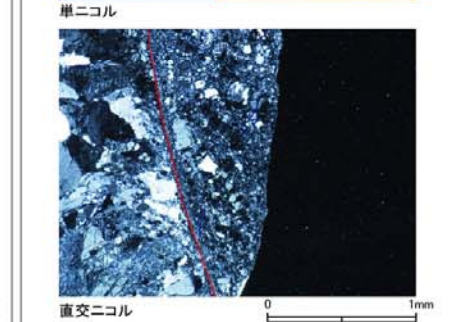
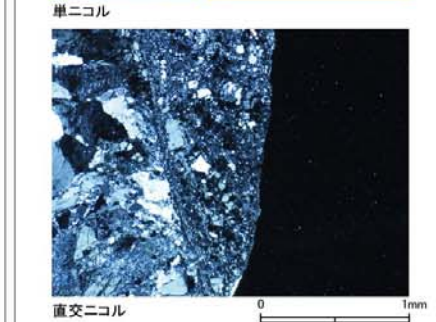
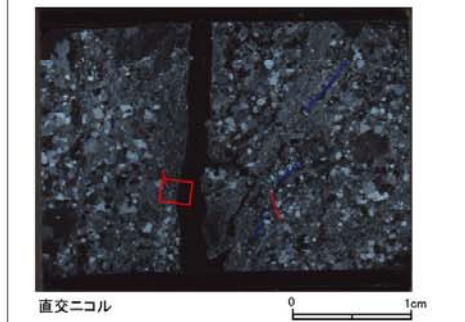
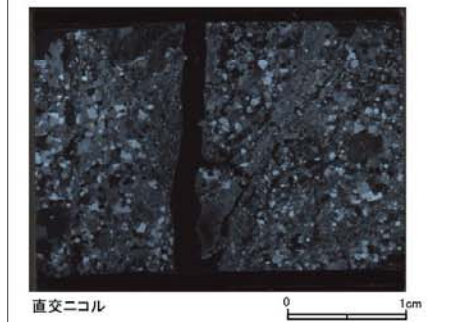
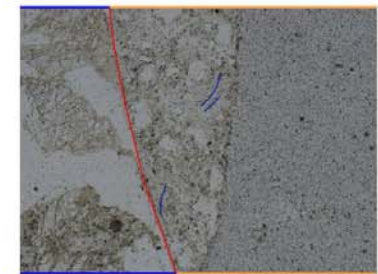
Z: 断層面の法線方向(上側を正とする)



赤枠内の拡大



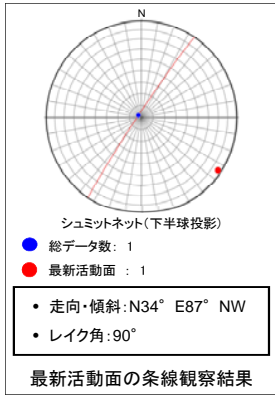
赤枠内の拡大



- 凡例
- 断層ガウジ
 - カタクレーサイト
 - R1面
 - P面

非モデル化破碎部 薄片試料観察(H27-B-1 深度75.73m)

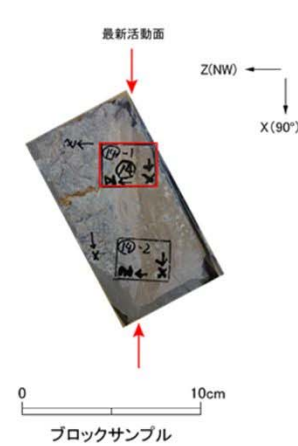
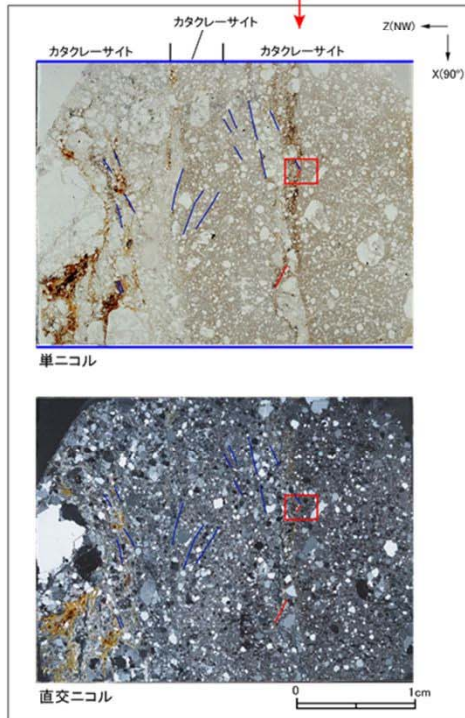
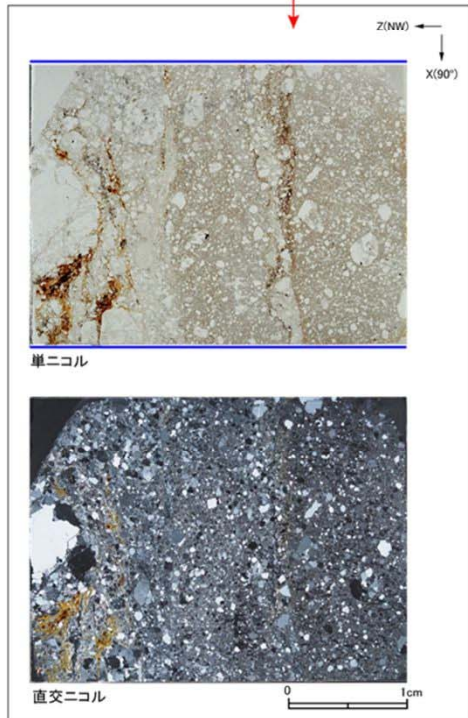
H27-B-1のボーリングコア(深度75.73m)から採取した薄片試料の観察結果によれば最新活動面の変位センスは、逆断層成分が卓越する。



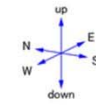
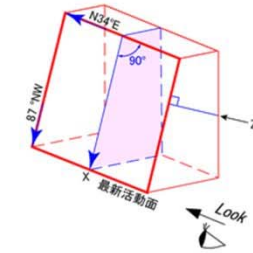
↑ ↓
最新活動面

最新活動面の条線観察結果

↑ ↓
最新活動面



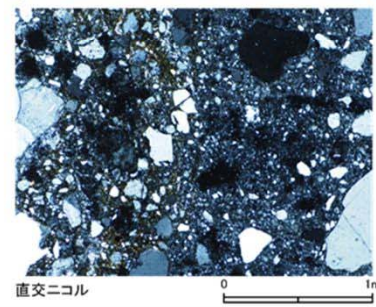
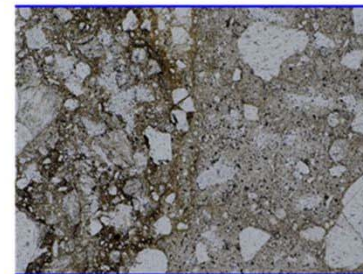
薄片の作成方向は最新活動面に
直交方向かつ条線方向に平行方向



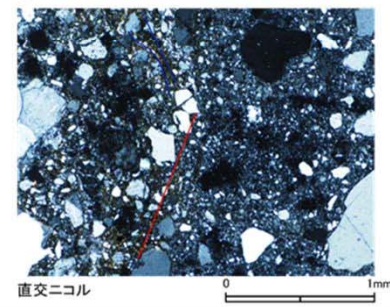
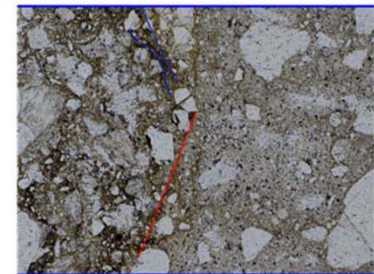
走向・傾斜 N34°E 87°NW

X: 条線方向(下向きを正とする)
Z: 断層面の法線方向(上向きを正とする)

赤枠内の拡大



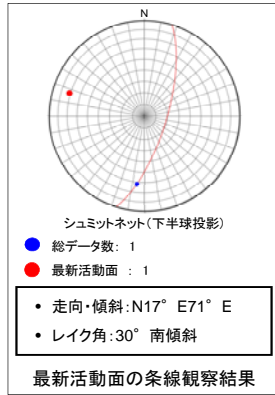
赤枠内の拡大



- 凡例
- 断層ガウジ
 - カタクレーサイト
 - R1面
 - P面

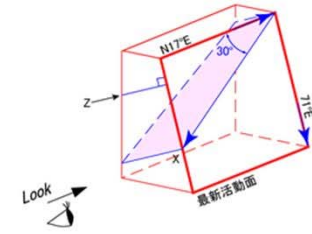
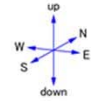
非モデル化破碎部 薄片試料観察(H27-B-1 深度78.87m)

H27-B-1のボーリングコア(深度78.87m)から採取した薄片試料の観察結果によれば最新活動面の変位センスは、右ずれを伴う正断層である。



最新活動面の条線観察結果

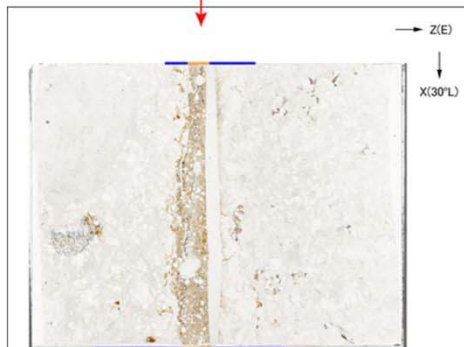
薄片の作成方向は最新活動面に
直交方向かつ条線方向に平行方向



走向・傾斜 N17°E 71°E

X: 条線方向(下向きを正とする)
 Z: 断層面の法線方向(上盤側を正とする)

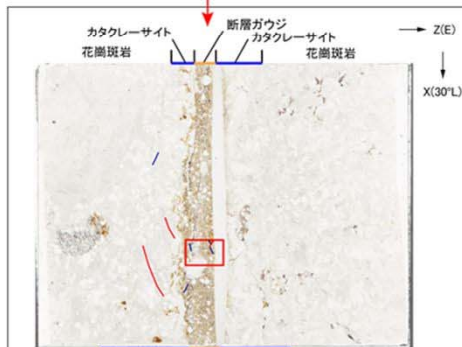
※切断面に記載のX方向は誤り



単ニコル



直交ニコル

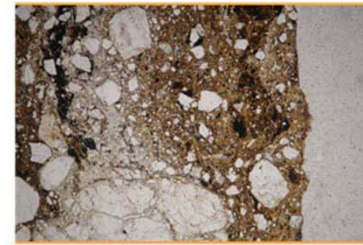


単ニコル

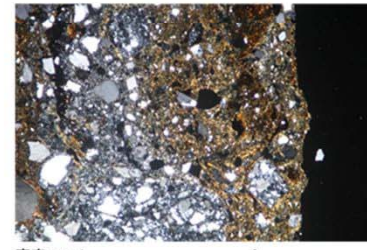


直交ニコル

赤枠内の拡大

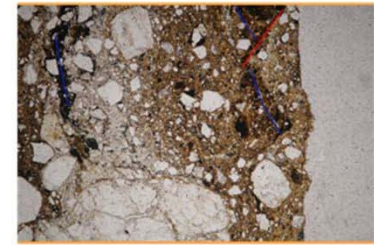


単ニコル

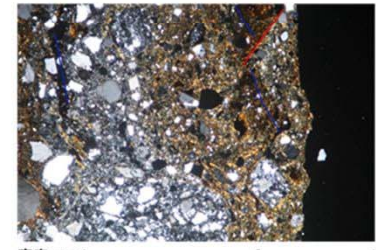


直交ニコル

赤枠内の拡大



単ニコル

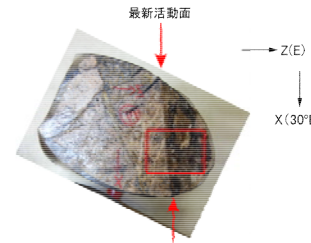
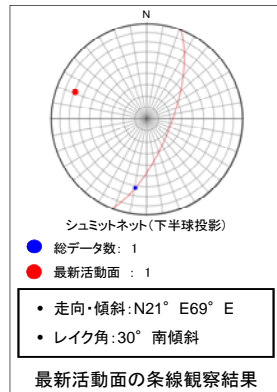


直交ニコル

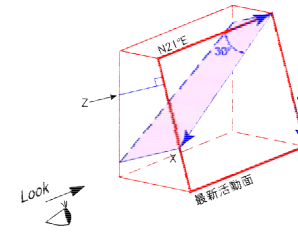
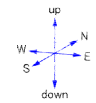
- 凡例
- 断層ガウジ
 - カタクレーサイト
 - R1面
 - P面

非モデル化破碎部 薄片試料観察(H27-B-1 深度113.56m)

H27-B-1のボーリングコア(深度113.56m)から採取した薄片試料の観察結果によれば最新活動面の変位センスは、右ずれを伴う正断層である。

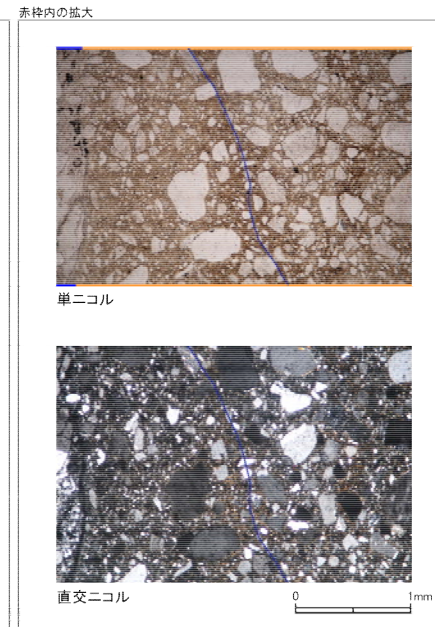
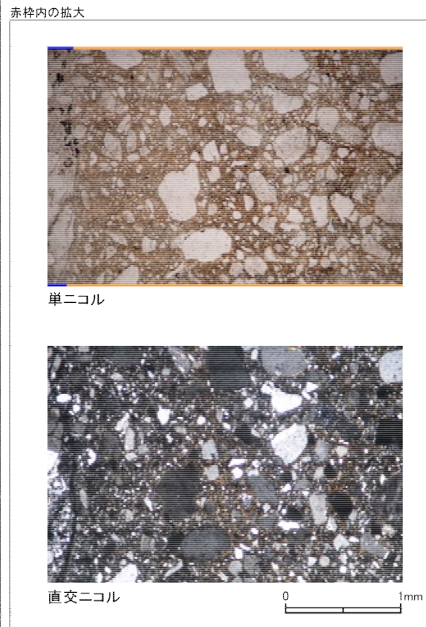
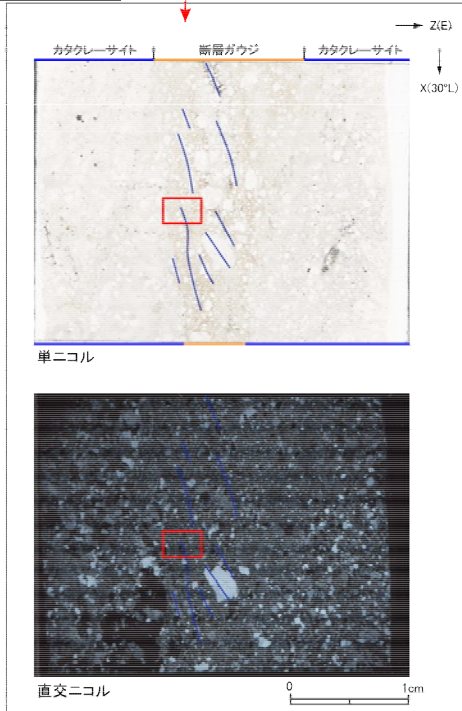
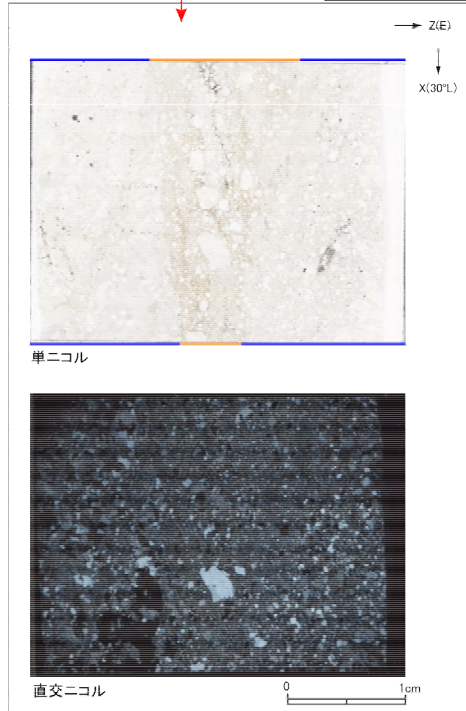


薄片の作成方向は最新活動面に直交方向かつ条線方向に平行方向



0 10cm
ブロックサンプル

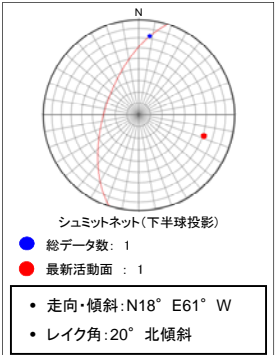
走向・傾斜 N21°E 69°E
X: 条線方向(下向きを正とする)
Z: 断層面の法線方向(上盤側を正とする)



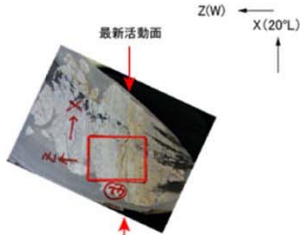
- 凡例
- 断層ガウジ
 - カタクレーサイト
 - R1面
 - P面

非モデル化破砕部 薄片試料観察(H27-B-3 深度26.70m)

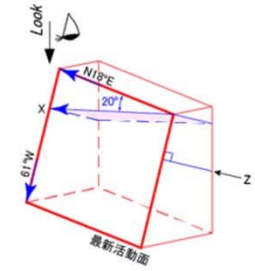
H27-B-3のボーリングコア(深度26.70m)から採取した薄片試料の観察結果によれば最新活動面の変位センスは、左ずれ成分が卓越する。



最新活動面の条線観察結果



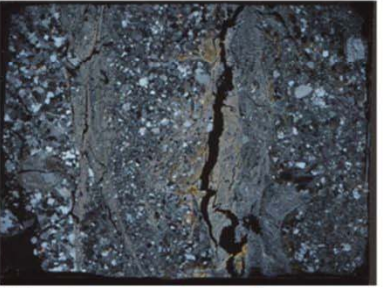
薄片の作成方向は最新活動面に直交方向かつ条線方向に平行方向



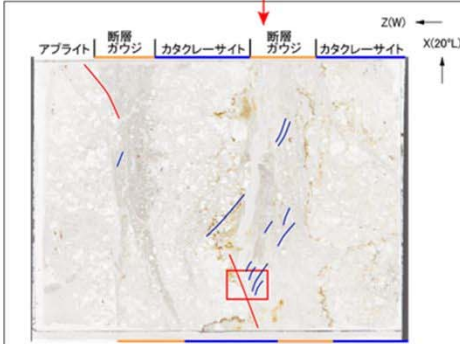
走向・傾斜 N18°E 61°W
X: 条線方向(下向きを正とする)
Z: 断層面の法線方向(上置側を正とする)



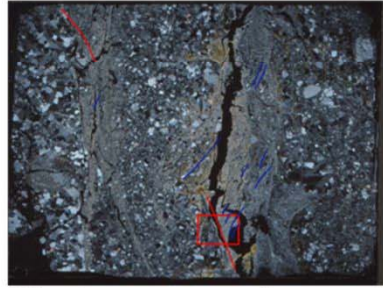
単ニコル



直交ニコル

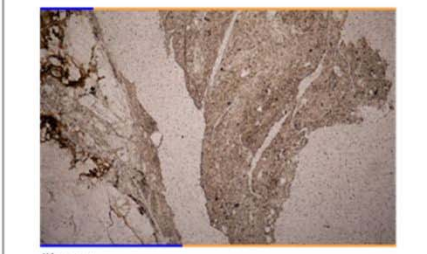


単ニコル

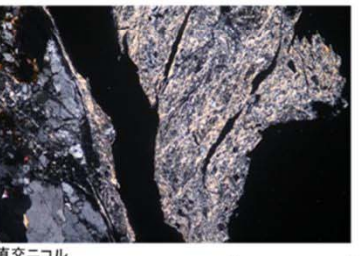


直交ニコル

赤枠内の拡大

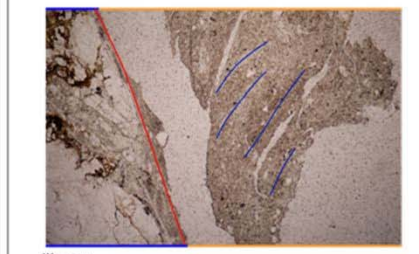


単ニコル

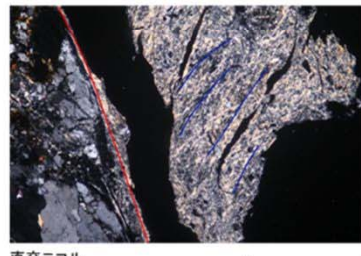


直交ニコル

赤枠内の拡大



単ニコル

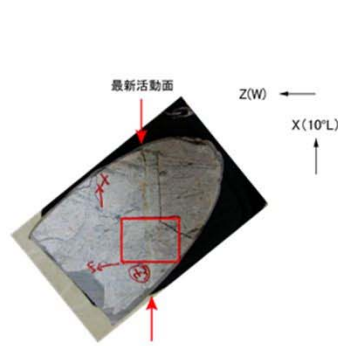
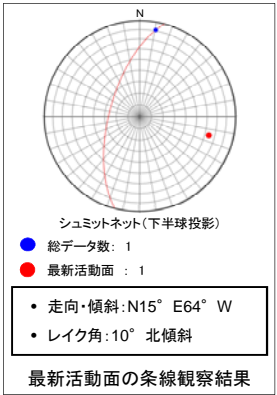


直交ニコル

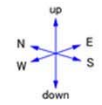
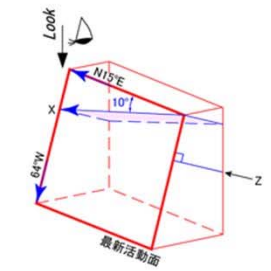
- 凡例
- 断層ガウジ
 - カタクレーサイト
 - R1面
 - P面

非モデル化破碎部 薄片試料観察(H27-B-3 深度28.12m)

H27-B-3のボーリングコア(深度28.12m)から採取した薄片試料の観察結果によれば最新活動面の変位センスは、左ずれ成分が卓越する。

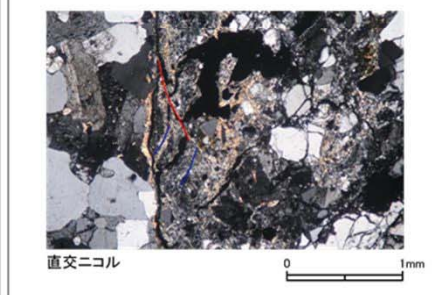
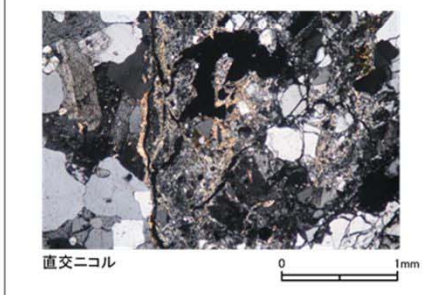
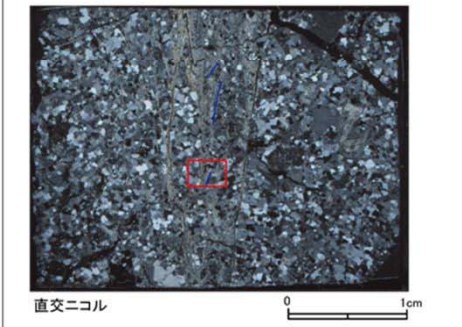
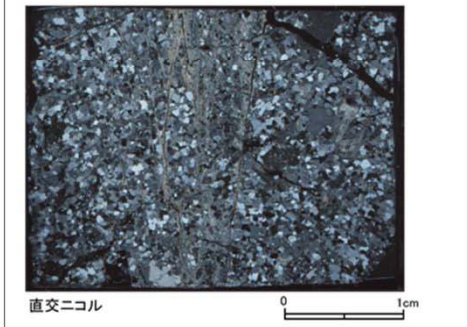
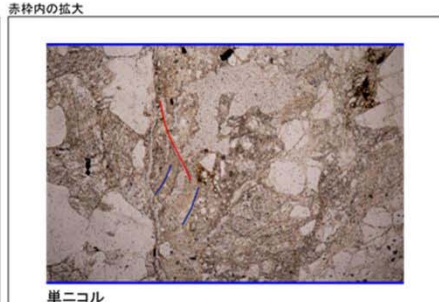
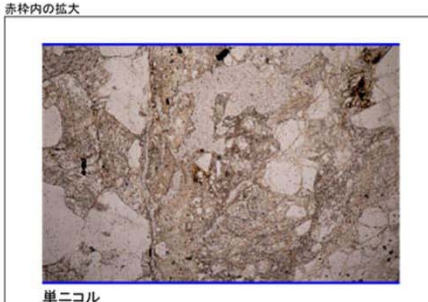
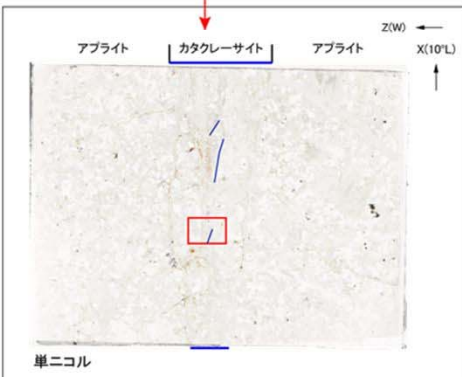
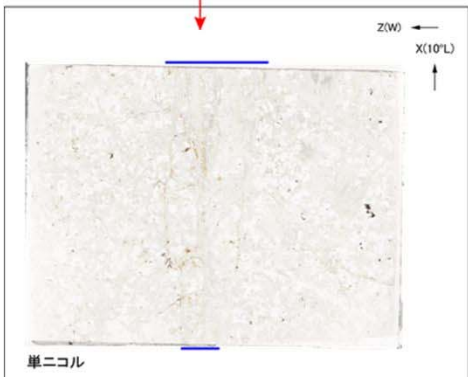


薄片の作成方向は最新活動面に
直交方向かつ条線方向に平行方向



0 10cm
ブロックサンプル

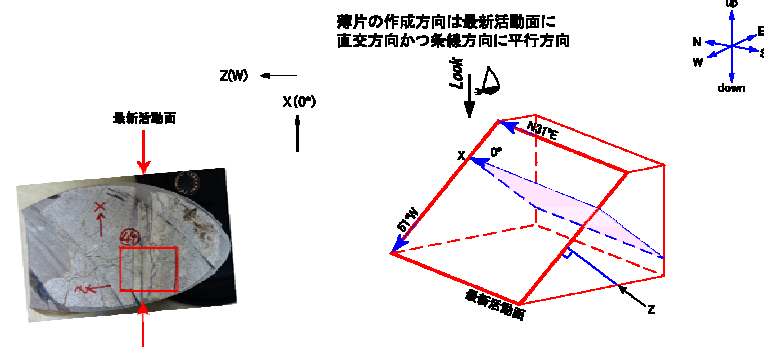
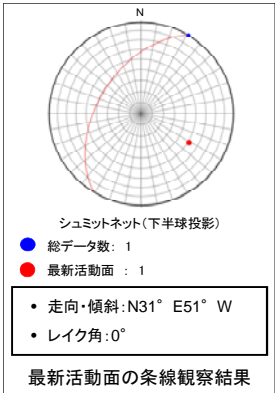
走向・傾斜 N15°E 64°W
X: 条線方向(下向きを正とする)
Z: 断層面の法線方向(上盤側を正とする)



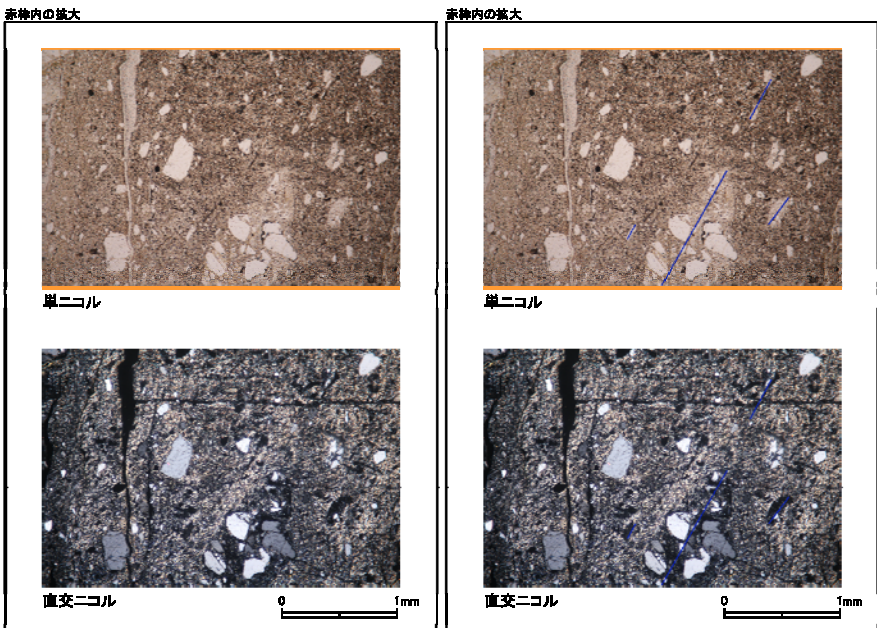
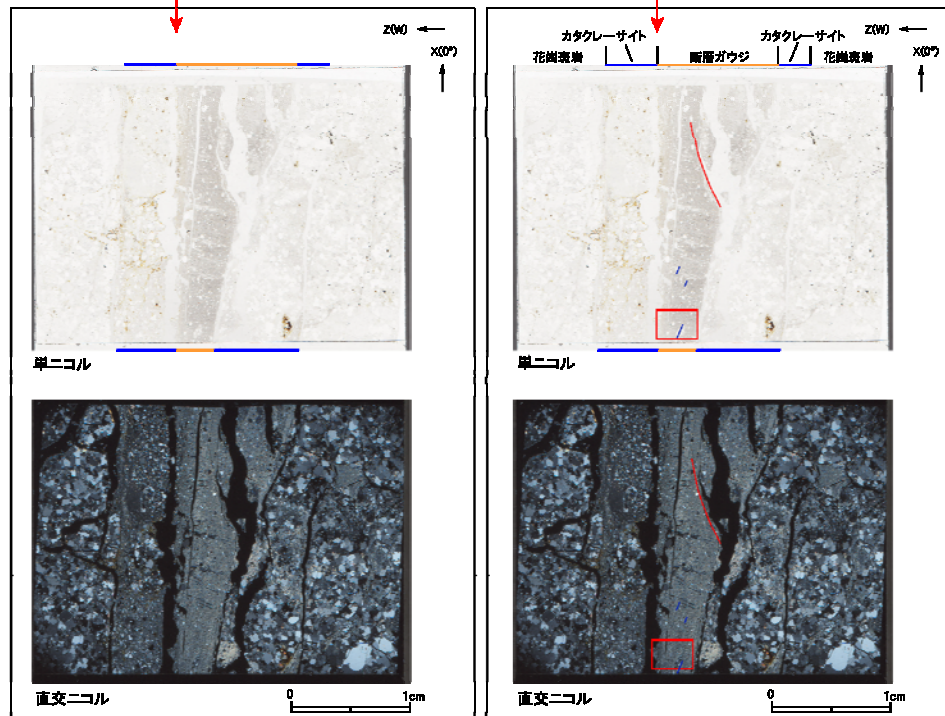
- 凡例
- 断層ガウジ
 - カタクレーサイト
 - R1面
 - P面

非モデル化破碎部 薄片試料観察(H27-B-3 深度29.10m)

H27-B-3のボーリングコア(深度29.10m)から採取した薄片試料の観察結果によれば最新活動面の変位センスは、左ずれ成分が卓越する。



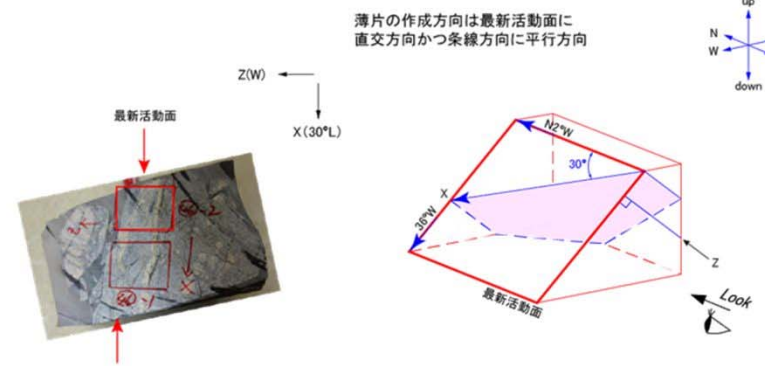
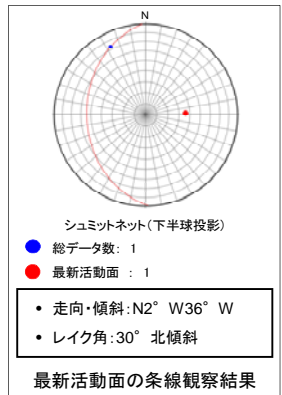
走向・傾斜 N31°E 51°W
 X: 条線方向(北向きを正とする)
 Z: 断層面の法線方向(上向きを正とする)



- 凡例
- 断層ガウジ
 - カタクレーサイト
 - R1面
 - P面

非モデル化破砕部 薄片試料観察(H27-B-3 深度56.72m)

H27-B-3のボーリングコア(深度56.72m)から採取した薄片試料の観察結果によれば最新活動面の変位センスは、右ずれを伴う正断層である。



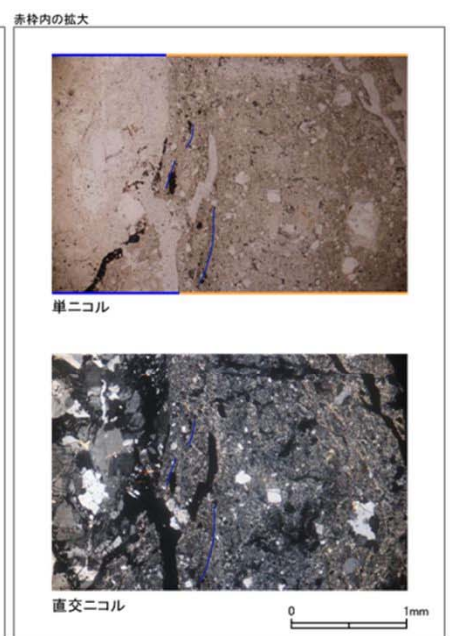
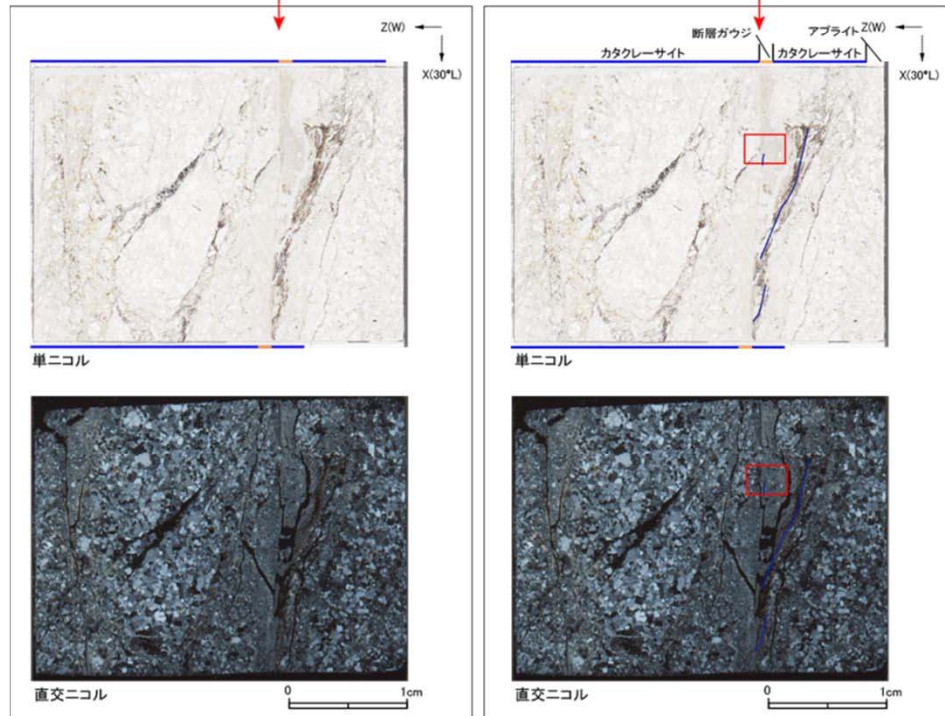
0 10cm

ブロックサンプル

走向・傾斜 N2°W 36°W

X: 条線方向(下向きを正とする)

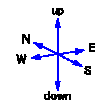
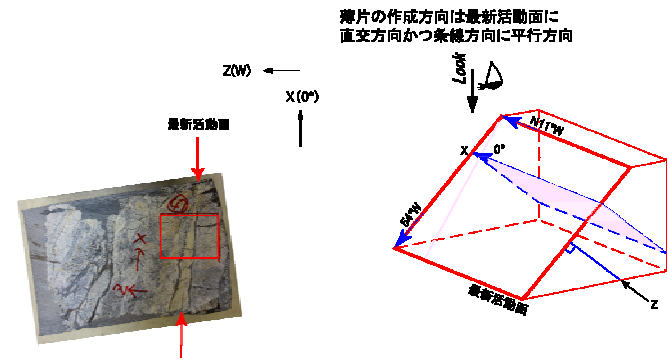
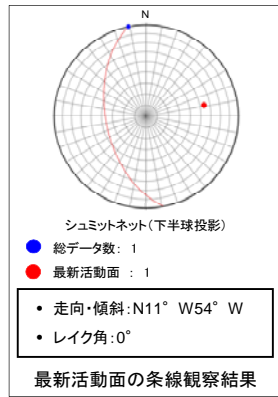
Z: 断層面の法線方向(上盤側を正とする)



- 凡例
- 断層ガウジ
 - カタクレーサイト
 - R1面
 - P面

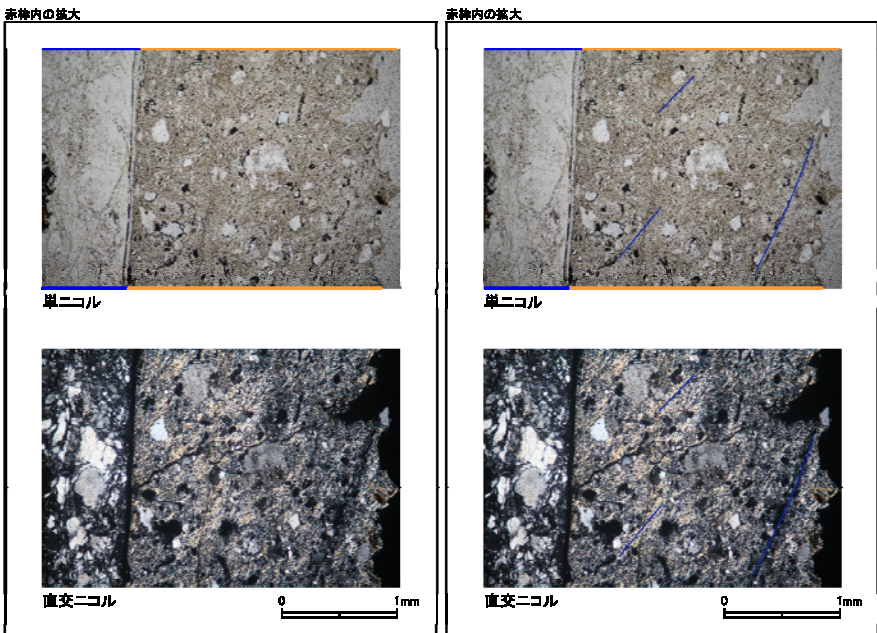
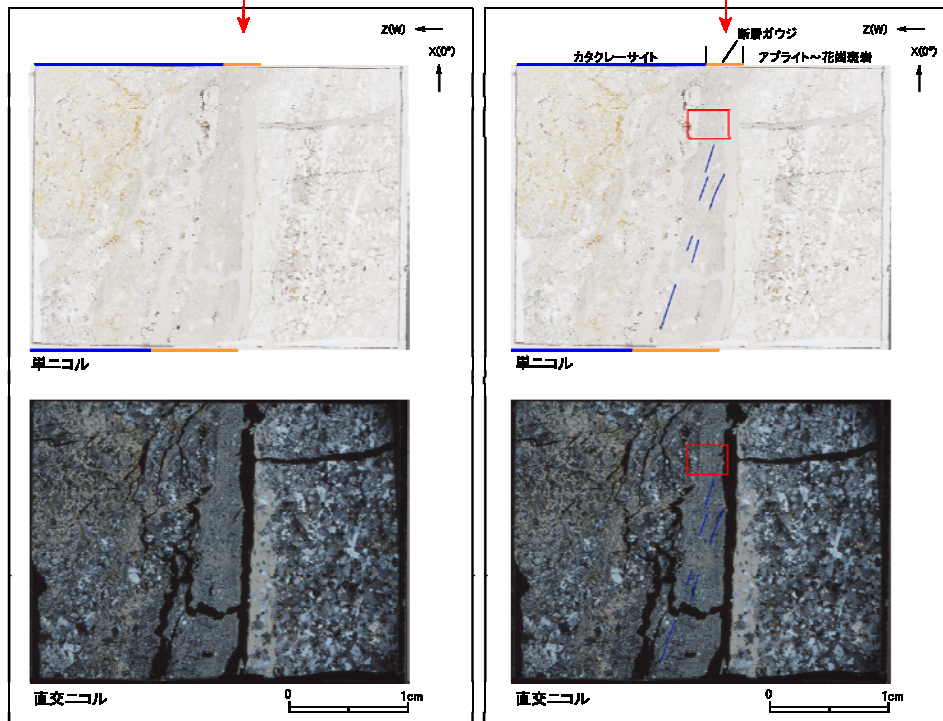
非モデル化破碎部 薄片試料観察(H27-B-3 深度58.98m)

H27-B-3のボーリングコア(深度58.98m)から採取した薄片試料の観察結果によれば最新活動面の変位センスは、左ずれ成分が卓越する。



0 10cm
ブロックサンプル

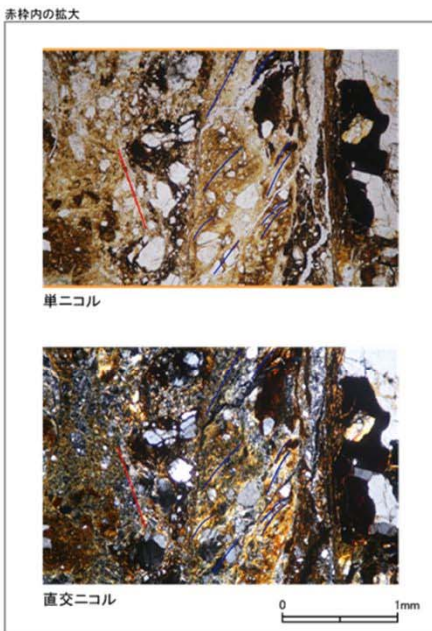
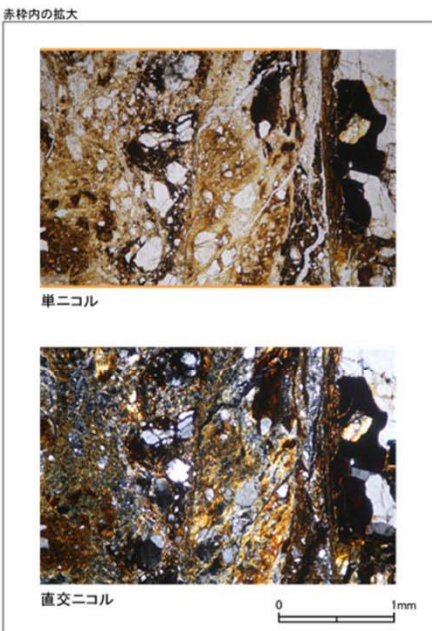
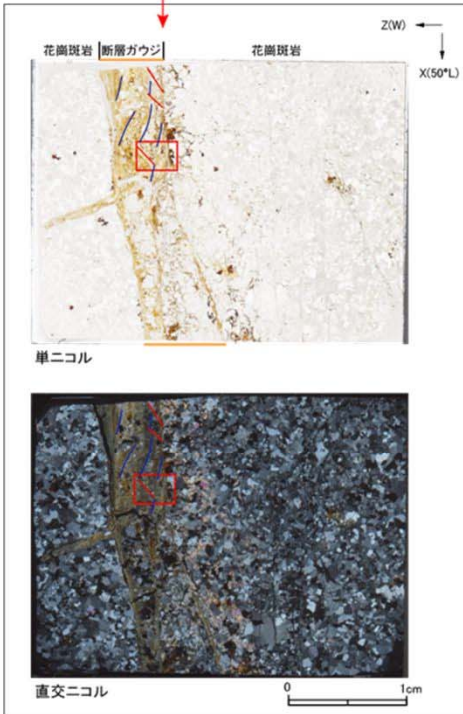
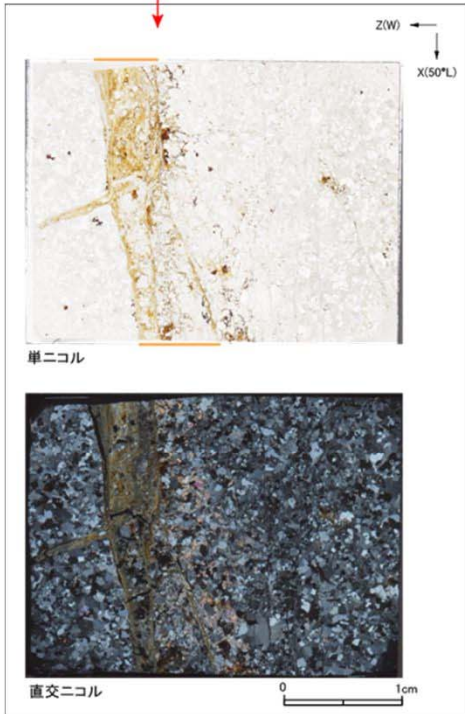
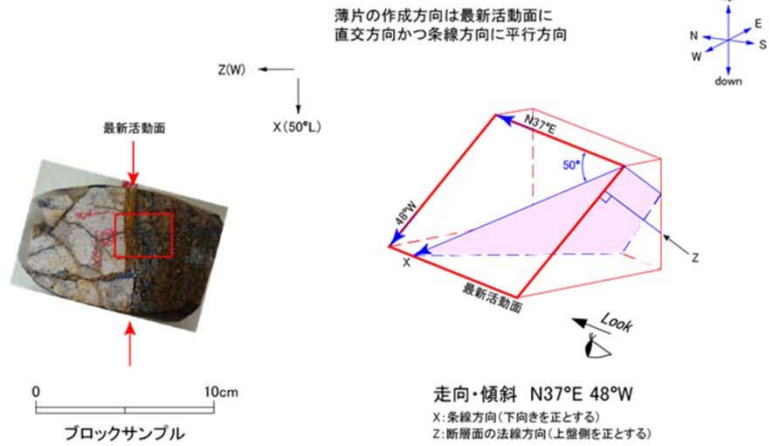
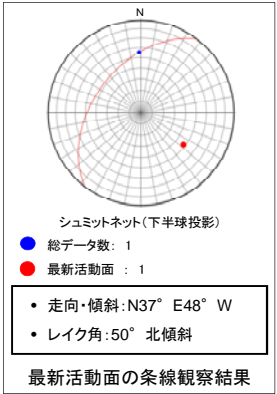
走向・傾斜 N11°W 54°W
X:条線方向(北向きを正とする)
Z:断層面の法線方向(上向きを正とする)



- 凡例
- 断層ガウジ
 - カタクレーサイト
 - R1面
 - P面

非モデル化破砕部 薄片試料観察(H27-B-3 深度59.69m)

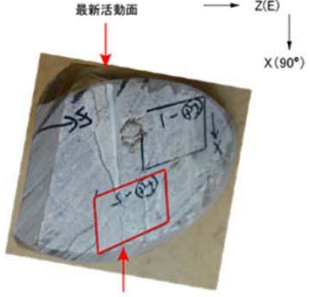
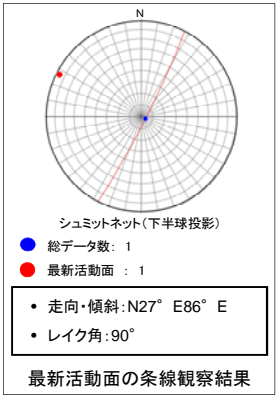
H27-B-3のボーリングコア(深度59.69m)から採取した薄片試料の観察結果によれば最新活動面の変位センスは、右ずれを伴う正断層である。



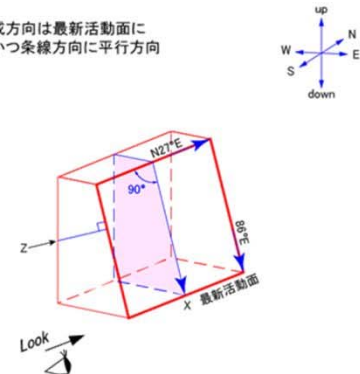
- 凡例
- 断層ガウジ
 - カタクレーサイト
 - R1面
 - P面

非モデル化破砕部 薄片試料観察(H27-B-3 深度129.84m)

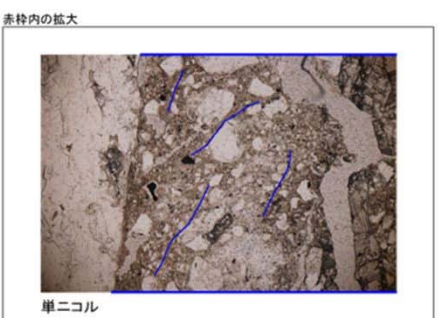
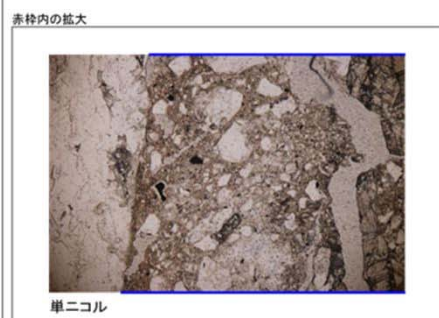
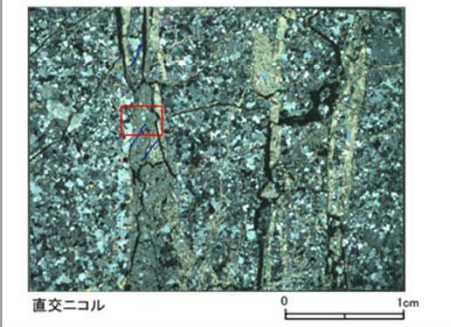
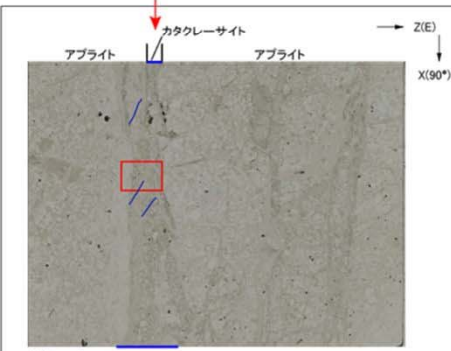
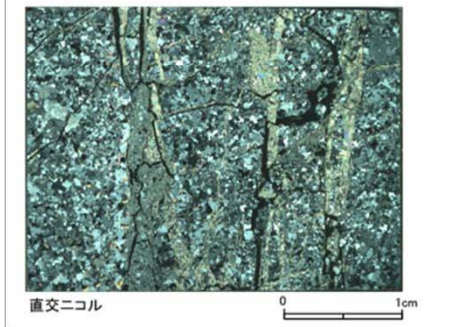
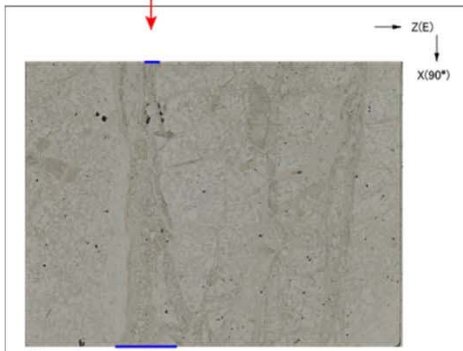
H27-B-3のボーリングコア(深度129.84m)から採取した薄片試料の観察結果によれば最新活動面の変位センスは、逆断層成分が卓越する。



薄片の作成方向は最新活動面に
直交方向かつ条線方向に平行方向



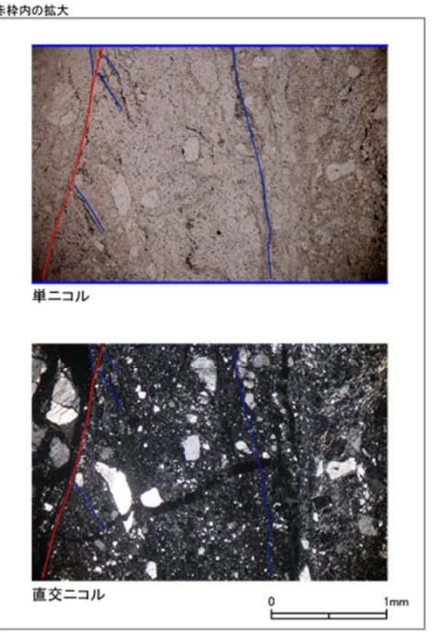
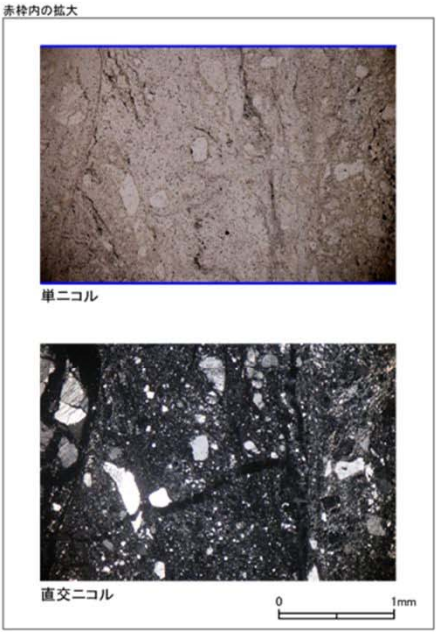
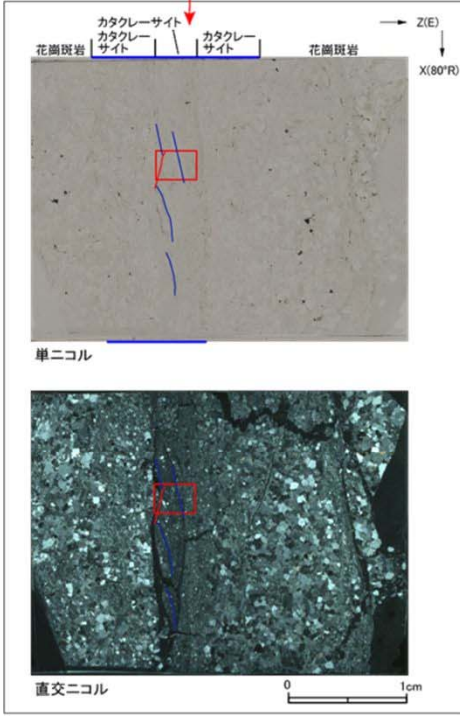
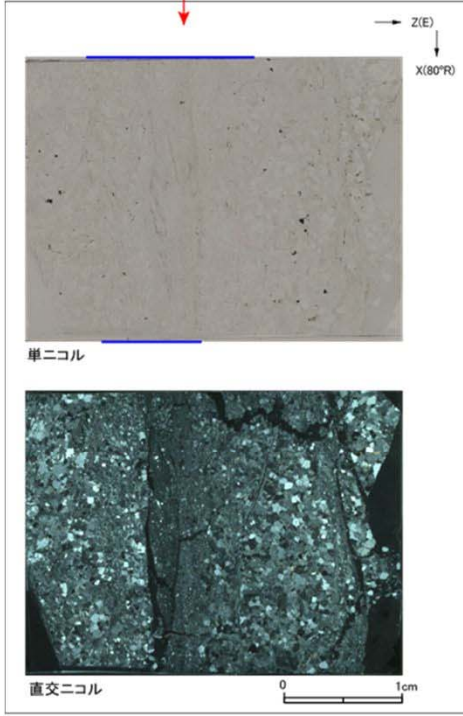
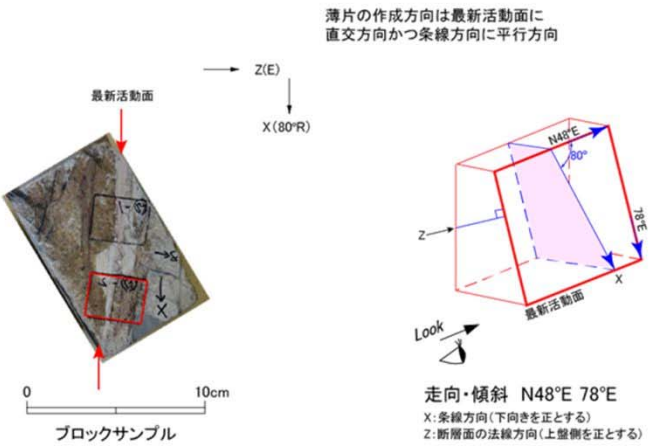
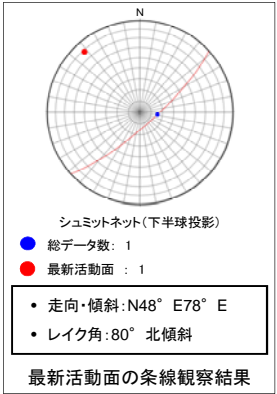
走向・傾斜 N27°E 86°E
X: 条線方向(下向きを正とする)
Z: 断層面の法線方向(上盤側を正とする)



- 凡例
- 断層ガウジ
 - カタクレーサイト
 - R1面
 - P面

非モデル化破碎部 薄片試料観察(H27-B-4 深度48.39m)

H27-B-4のボーリングコア(深度48.39m)から採取した薄片試料の観察結果によれば最新活動面の変位センスは、正断層成分が卓越する。



- 凡例
- 断層ガウジ
 - カタクレーサイト
 - R1面
 - P面

余白